

11-168



ISSN 0002-3078

АЗӘРБАЙЧАН ССР ЕЛМЛӘР АКАДЕМИЯСЫ
АНАДЕМИЯНАУН АЗЕРБАЙДЖАНСКОЙ ССР

МӘРУЗӘЛӘР ДОКЛАДЫ

том XL чилд

7 • 1984

Г-168

ДАН Азерб. ССР публикует краткие сообщения об оригинальных, ингде не печатанных ранее, результатах научных исследований, представленные академиками АН Азерб. ССР, которые тем самым берут на себя ответственность за научные достоинства представляющей статьи.

В «Докладах» не публикуются крупные статьи, механически разделенные на ряд отдельных сообщений, статьи полемического характера, без новых фактических сообщений, статьи полемического характера, без новых фактических данных, статьи с описанием промежуточных опытов, без определенных выводов и обобщений, чисто методические статьи, если предлагаемый метод не является принципиально новым, а также статьи по систематике растений и животных (за исключением описания особо интересных для науки находок).

Будучи органом срочной информации, журнал «ДАН Азерб. ССР» принимает и отбирает к печати статьи, объем которых допускает их публикацию в установленные решением Президиума АН Азерб. ССР сроки.

В связи со всеми перечисленными ограничениями отклонение статьи редакцией «Доклады АН Азерб. ССР» означает только, что она не согласуется с требованиями и возможностями этого журнала и не исключает ее публикации в других изданиях.

ПРАВИЛА ДЛЯ АВТОРОВ

Редакция журнала «Доклады АН Азерб. ССР» просит авторов руководствоваться приведенными правилами и надеется, что авторы ознакомятся с ними прежде, чем пришлют статью в редакцию.

Статьи, присланные без соблюдения этих правил, к рассмотрению не принимаются..

1. Статьи, направляемые в редакцию, должны иметь представление члена АН ССР или академика АН Азерб. ССР, если оно требуется (см. выше).

Статьи с просьбой направить их на представление редакцией не принимаются.

2. Статья публикуется по мере поступления. Единственным поводом для внеочередной публикации является исключительная важность сообщения и соображения приоритета. Для этого необходимо специальное решение редколлегии.

3. Как правило, редакция направляет представленные статьи на рецензию.

4. «Доклады» помещают не более трех статей одного автора в год. Это правило не распространяется на членов АН ССР, академиков Академии наук Азерб. ССР.

5. Авторы должны определить раздел, в который следует поместить статью, а также дать индекс статьи по Универсальной десятичной классификации (УДК). К статье прилагается отпечатанный на машинке реферат в двух экземплярах, предназначенный для передачи в один из реферативных журналов ВИНИТИ.

6. В конце статьи нужно указать полное название учреждения, в котором выполнено исследование, фамилии всех авторов а также полный почтовый адрес и номер телефона (служебный и домашний) каждого соавтора.

Кроме того, авторский коллектив должен указать лицо, с которым редакция будет вести переговоры и переписку.

7. Возвращение рукописи автору на доработку не означает, что статья принята к печати. После получения доработанного текста рукопись вновь рассматривается редколлегией. Доработанный текст автор должен вернуть вместе с первоначальным экземпляром статьи, а также ответом на все замечания. Датой поступления считается день получения редакцией окончательного варианта статьи.

8. В «Докладах» публикуются статьи, занимающие не более $\frac{1}{4}$ авторского листа (6 страниц машинописи). В этот объем входят текст, таблицы, библиография (не больше 15 источников) и рисунки, число которых не должно превышать четырех, включая и обозначений «а», «б» и т. д. в том числе вклейки на мелованной бумаге. Вклейки даются только для микрофотографий большого увеличения. Штриховые рисунки (карты, схемы и т. п.) на вклейках не печатаются, а даются на кальке. Текст и графический материал представляются в двух экземплярах. Повторение одних и тех же данных в тексте, таблицах и графиках недопустимо. Рисунки должны быть выполнены, четко, в формате, обеспечивающем ясность передачи всех деталей. Фотографии представляются на глянцевой бумаге. Подписи к рисункам должны быть напечатаны в 2-х экземплярах через два интервала на отдельной странице. На обороте, рисунков мягkim карандашом указываются фамилии авторов, название статьи и номер рисунка.

(Продолжение на третьей странице обложки)

МЭРҮЗЭЛЭР ДОКЛАДЫ

ТОМ XL ЧИЛД



РЕДАКЦИОННАЯ КОЛЛЕГИЯ:

Э. Ю. Салаев (главный редактор), Г. Б. Абдуллаев, М. Т. Абасов,
 Ал. А. Ализаде, (зам. главного редактора), В. С. Алиев,
 Г. А. Алиев, Дж. А. Алиев, И. Г. Алиев, Дж. Б. Гулиев,
 Н. А. Гулиев, М. З. Джабаров, Ф. Г. Максудов, А. А. Надиров,
 Ю. М. Сенцов (зам. главного редактора), М. А. Усейнов,
 Г. Г. Зейналов (ответств. секретарь).

Я. Э. АЛИЕВ, Г. Ф. АЛИЕВ

О ПРИБЛИЖЕННОМ РЕШЕНИИ КРАЕВЫХ ЗАДАЧ
 ДЛЯ НЕЛИНЕЙНЫХ ДИФФЕРЕНЦИАЛЬНЫХ УРАВНЕНИЙ
 НЕЙТРАЛЬНОГО ТИПА

(Представлено академиком АН Азербайджанской ССР Ф. Г. Максудовым)

Рассматривается следующая краевая задача

$$x''(t) + f[t, x(t), x(t + \tau(t)), x'(t), x''(t + \tau(t))] = 0 \quad (0 \leq t \leq T), \quad (1)$$

$$x(0) = x_0, \quad x(T) = x_T,$$

$$x(t) = \begin{cases} \varphi(t) & \text{на } E_0 = [\inf\{t + \tau(t)\}, 0] \\ \psi(t) & \text{на } E_T = [T, \sup\{t + \tau(t)\}], \end{cases} \quad x''(t) = \begin{cases} \varphi_1(t) & \text{на } E_0, \\ \psi_1(t) & \text{на } E_T, \end{cases} \quad (2)$$

здесь функция $f(t, x, y, z, q)$ определена и непрерывна в $K = [0, T] \times [-r, r] \times [-r, r] \times [-r'', r''] \times [-r'', r'']$; $\tau(t)$ —непрерывная дифференцируемая функция, причем $-1 < \alpha \ll \tau'(t) \ll \beta < 1$. $\varphi(\cdot), \psi(\cdot)$ —непрерывные соответственно на E_0 и E_T функции.

Аппроксимируем задачу (1)–(2) следующим образом:

$$x_{n+1}'(t) + f[t, x_{n+1}(t), x_n(t + \tau(t)), x_{n+1}'(t), x_n(t + \tau(t))] = 0, \quad 0 \leq t \leq T, \quad (3)$$

$$x_{n+1}(0) = x_0, \quad x_{n+1}(T) = x_T, \quad x_n(t) = x_0, \quad 0 \leq t \leq T,$$

$$x_{n+1}(t) = \begin{cases} \varphi(t) & \text{на } E_0, \\ \psi(t) & \text{на } E_T, \end{cases} \quad x_{n+1}'(t) = \begin{cases} \varphi_1(t) & \text{на } E_0, \\ \psi_1(t) & \text{на } E_T, \end{cases} \quad (4)$$

где $x_0(t)$ ($|x_0(t)| \leq r$)—некоторая непрерывная функция. Здесь предполагается, что при любой фиксированной непрерывной функции $\alpha(t)$ ($|\alpha(t)| \leq r$) задача

$$x''(t) + f[t, x(t), \alpha(t + \tau(t)), x'(t), \alpha''(t + \tau(t))] = 0, \quad (0 \leq t \leq T),$$

$$x(0) = x_0, \quad x(T) = x_T,$$

$$x(t) = \begin{cases} \varphi(t) & \text{на } E_0, \\ \psi(t) & \text{на } E_T, \end{cases} \quad \alpha''(t) = \begin{cases} \varphi_\alpha(t) & \text{на } E_0, \\ \psi_\alpha(t) & \text{на } E_T \end{cases}$$

имеет единственное решение $x(t)$ ($|x(t)| \leq r, |x''(t)| \leq r''$) и его можно найти. Имеет место.

Теорема 1. Пусть функция $f(t, x, y, z, q)$ определена непрерывно в K и удовлетворяет условию

$$[f(t, x, y, z, q) - f(t, \bar{x}, \bar{y}, \bar{z}, \bar{q})](x - \bar{x}) \leq L_1(x - \bar{x})^2 + L_2(y - \bar{y})^2 + L_3[(z - \bar{z}) + (q - \bar{q})](x - \bar{x}),$$

где L_1, L_2, L_3 —положительные числа, подчиненные условиям

$$\sqrt{\frac{2L_1 + L_3}{1 + L_3}} T \leq \frac{\pi}{2}, \quad L_3 < \frac{2}{2\tau_0 + \tau_2},$$

$$0 < \alpha = \frac{L_2[2 + (2 - 2\tau_0 - \tau_2)L_3] + L_3(2\tau_0 + \tau_2)L_2\tau_0}{2\sqrt{2}L_1(1+L_3)[2 + (2 - 2\tau_0 - \tau_2)L_3]}.$$

здесь

$$\begin{aligned} \tau_0 &= \sup [1 + \tau'(t)]^{-1}, \quad \tau_1 = \sup ([\tau''(t)] [1 + \tau'(t)])^2, \\ \tau_2 &= \sup [1 + \tau'(t)]^{-2}. \end{aligned}$$

Тогда решение задачи (1)–(2) единствено (если оно существует) и функции $x_n(t)$, определенные из задачи (3)–(4), сходятся к этому решению. Скорость сходимости определяется с помощью следующей формулы:

$$|x^n(t) - x(t)| \leq C^{(0)} \alpha^{\frac{n}{2}}, \quad \|v_0\| = \left[\int_0^T |x(t) - x_0(t)|^2 dt \right]^{\frac{1}{2}}, \quad (5)$$

$$C^{(0)} = \{T \|\tau_0\|^2 [2(L_1 + L_3\tau_1)\alpha + L_2\tau_0] / [2 + (2 - 2\tau_0 - \tau_2)L_3]\}^{\frac{1}{2}}.$$

Доказательство. Докажем справедливость (5). Отсюда будет следовать сходимость $x_n(t)$ к решению задачи (5). Введем обозначения

$$\tau_n(t) = x_n(t) - x(t).$$

Тогда получим

$$\begin{aligned} V_{n+1}'(t)V_{n+1}(t) &\geq -L_1 V_{n+1}^2(t) - L_2 V_n^2(t) + \tau(t) + \\ &+ L_3 [V_{n+1}'(t) + V_n(t + \tau(t))] V_{n+1}(t). \end{aligned}$$

Теперь проинтегрируем это неравенство от 0 до T .

$$\begin{aligned} \int_0^T V_{n+1}^2(t) dt &\leq \frac{2(L_1 + L_3\tau_1)}{2 + (2 - 2\tau_0 - \tau_2)L_3} \int_0^T V_{n+1}^2(t) dt + \\ &+ \frac{2L_2\tau_0}{2T(2 - 2\tau_0 - \tau_2)} \int_0^T V_n^2(t) dt. \end{aligned} \quad (6)$$

Предположим, что $\Phi(t, U)$ непрерывна и обобщенно монотонна по U . Пусть непрерывная функция $V(t)$, определенная на $[0, T]$, удовлетворяет неравенству

$$D_V V + \Phi(t; V) \geq 0, \quad V(0) = U^*, \quad V(T) = U^*(T).$$

Тогда

$$V(t) \leq U^*(t), \quad (0 \leq t \leq T), \quad (7)$$

где $U^*(t)$ – решение уравнения $U''(t) + \Phi(t, U) = 0$.

На следующем этапе, применяя (7) и решая полученную задачу, имеем:

$$\begin{aligned} V_{n+1}^2(t) &\leq \frac{L_2}{\sqrt{2}L_1(1+L_3)} \int_0^T V_n^2(t) dt + \\ &+ \frac{L_3}{V\sqrt{2}L_1(1+L_3)} \left(\frac{2\tau_0 + \tau_2}{2} \int_0^T V_{n+1}^2(t) dt + \frac{\tau_2 + \tau_1}{2} \int_0^T V_{n+1}^2(t) dt \right). \end{aligned}$$

Очевидно, что

$$\int_0^T V_{n+1}^2(t) dt \leq \alpha \int_0^T V_n^2(t) dt \quad (8)$$

Пользуясь оценкой (8) в (6), получим

$$|V_{n+1}(t)| \leq \left\{ \frac{T \|V_0\|^2}{2 + (2 - 2\tau_0 - \tau_2)L_3} [2(L_1 + L_3\tau_1)\alpha + L_2\tau_0] \right\}^{\frac{1}{2}} \alpha^{\frac{n}{2}}.$$

Следовательно (5) имеет место для всех $n = 0, 1, 2, \dots$

Теперь рассмотрим краевую задачу

$$\begin{aligned} x''(t) + f[t, x(t), x(t + \tau(t)), x'(t), x'(t + \tau(t))], \\ x''(t), x''(t + \tau(t))] = 0, \quad (0 \leq t \leq T), \\ x(0) = x_0, \quad x(T) = x_T, \end{aligned} \quad (9)$$

$$\begin{aligned} x(t) &= \begin{cases} \varphi_2(t) & \text{на } E_0, \\ \psi_2(t) & \text{на } E_T, \end{cases} \quad x'(t) = \begin{cases} \varphi_3(t) & \text{на } E_0, \\ \psi_3(t) & \text{на } E_T, \end{cases} \\ x''(t) &= \begin{cases} \varphi_4(t) & \text{на } E_0, \\ \psi_4(t) & \text{на } E_T. \end{cases} \end{aligned} \quad (10)$$

Задача (9)–(10) аппроксимируется следующим образом:

$$\begin{aligned} x_{n+1}'(t) + f[t, x_{n+1}(t), x_n(t + \tau(t)), x_{n+1}'(t), x_n(t + \tau(t)), x_{n+1}(t), \\ x_n(t + \tau(t))] = 0, \quad (0 \leq t \leq T), \end{aligned} \quad (11)$$

$$x_{n+1}(0) = x_0, \quad x_{n+1}(T) = x_T, \quad x_0(t) = x_0, \quad (0 \leq t \leq T), \quad (n = 0, 1, 2, \dots),$$

$$\begin{aligned} x_{n+1}(t) &= \begin{cases} \varphi_2(t) & \text{на } E_0, \\ \psi_2(t) & \text{на } E_T, \end{cases} \quad x_{n+1}(t) = \begin{cases} \varphi_3(t) & \text{на } E_0, \\ \psi_3(t) & \text{на } E_T, \end{cases} \\ x_{n+1}'(t) &= \begin{cases} \varphi_4(t) & \text{на } E_0, \\ \psi_4(t) & \text{на } E_T. \end{cases} \end{aligned} \quad (12)$$

Предполагается, что при любой фиксированной непрерывной функции $\alpha(t)$ ($|\alpha(t)| \leq r$) задача

$$\begin{aligned} x''(t) + f[t, x(t), \alpha(t + \tau(t)), x'(t), x'(t + \tau(t))], \\ x''(t + \tau(t))] = 0, \quad 0 \leq t \leq T, \\ x(0) = x_0, \quad x(T) = x_T \end{aligned}$$

$$x(t) = \begin{cases} \varphi_2(t) & \text{на } E_0, \\ \psi_2(t) & \text{на } E_T, \end{cases} \quad x'(t) = \begin{cases} \varphi_3(t) & \text{на } E_0, \\ \psi_3(t) & \text{на } E_T, \end{cases} \quad x''(t) = \begin{cases} \varphi_4(t) & \text{на } E_0, \\ \psi_4(t) & \text{на } E_T \end{cases}$$

имеет единственное решение $x(t)$ $|x(t)| \leq r$, $|x'(t)| \leq r'$, $|x''(t)| \leq r''$

Имеет место

Теорема 2. Пусть функция $f(t, x, y, z, \eta, \xi, \zeta)$ определена непрерывно в R и удовлетворяет условию

$$\begin{aligned} &[f(t, x, y, z, \eta, \xi, \zeta) - f(t, \bar{x}, \bar{y}, \bar{z}, \bar{\eta}, \bar{\xi}, \bar{\zeta})] (x - \bar{x}) \leq \\ &\leq L_1(x - \bar{x})^2 + L_2(y - \bar{y})^2 - L_3(z - \bar{z})^2 + L_4(\eta - \bar{\eta})^2 + \\ &+ L_5[(\xi - \bar{\xi}) + (\zeta - \bar{\zeta})] (x - \bar{x}), \end{aligned}$$

где L_1, L_2, L_3, L_4, L_5 – положительные числа, подчиненные условиям

$$\sqrt{\frac{2L_1}{1+L_3+2L_4+3L_5}} T < \frac{\pi}{2}, \quad L_3 < \frac{2}{2\tau_0+\tau_2+\tau_1}.$$

$$0 < \beta = \frac{L_2 [2 + (2 - 2\tau_0 - \tau_2) L_3 +]}{2\sqrt{2L_1(1+L_3)} [2 + (2 - 2\tau_0 - \tau_2) L_3] -} \rightarrow$$

$$\rightarrow \frac{+ L_3 (2\tau_0 - \tau_2) L_2 \tau_0 + L_4 (2\tau_0 - \tau_2) + L_5 \tau_0}{- T [L_3 \tau_1 [2 + (2 - 2\tau_0 - \tau_2) L_3] + 2L_3 (2\tau_0 + \tau_2) (L_1 + L_3 \tau_1)] +}$$

$$\rightarrow \frac{- + L_4 (\tau_0 - \tau_2) + L_5 (L_2 + L_3 \tau_1)}{< 1.}$$

Тогда решение задачи (9)–(10) единственno (если оно существует) и функции $x_n(t)$, определенные из задачи (11)–(12), сходятся к этому решению.

Скорость сходимости определяется с помощью формулы:

$$|x_n(t) - x(t)| \leq M\beta^{\frac{n}{2}}, \|V_0\| = \left[\int_0^T |x(t) - x_0(t)|^2 dt \right]^{\frac{1}{2}}. \quad (13)$$

Доказательство. Отметим, что из формул (13) следует утверждение теоремы. Для доказательства (13) введем обозначения

$$V_n(t) = x_n(t) - x(t).$$

Имеем

$$V_{n+1}(t) V_{n+1}(t) \geq - [L_1 V_{n+1}^2(t) + L_2 V_n^2(t + \tau(t)) + L_3 V_{n+1}^2(t) +$$

$$+ L_4 V_n^2(t + \tau(t)) + L_5 (V_{n+1}(t) + V_n(t + \tau(t))) V_{n+1}(t)].$$

Интегрируя это неравенство от 0 до T , получим

$$\int_0^T V_{n+1}^2(t) dt \leq \frac{L_3 (2\tau_0 - \tau_2) L_2 \tau_0}{2 + (2 - 2\tau_0 - \tau_2) L_3} \int_0^T V_{n+1}^2(t) dt +$$

$$+ \frac{2L_4 \tau_0 + L_3}{L_4 (\tau_0 - \tau_2) + L_5 \tau_1} \int_0^T V_n^2(t) dt. \quad (14)$$

Проведя некоторые преобразования для $V_{n+1}(t)$, имеем краевую задачу:

$$(V_{n+1}^2(t))' + \frac{1}{2} (L_1 + L_3) V_{n+1}^2(t) \geq F_n(t),$$

$$V_{n+1}^2(0) = 0, \quad V_{n+1}^2(T) = 0$$

$$V_{n+1}(t) = 0, \text{ на } E_0, E_T,$$

здесь

$$F_n(t) = - \frac{1}{2} L_2 V_n^2(t + \tau(t)) - \frac{1}{2} L_4 V_n^2(t + \tau(t)) -$$

$$- L_5 V_n(t + \tau(t)) V_n(t).$$

Далее, применяя теорему о дифференциальных неравенствах, получим

$$V_{n+1}^2(t) \leq U_n(t), \quad (0 \leq t \leq T),$$

где $U_n(t)$ – решение краевых задач

$$U''(t) + \frac{1}{2} (L_1 + L_3) U(t) = F_n(t), \quad U(0) = U(T) = 0.$$

Решая эту задачу, и учитывая оценку (14), рекуррентным способом нетрудно доказать неравенство (13).

Литература

- Алиев Р. М., Алиев Г. Ф. Изв. АН Азерб. ССР, серия физ.-тех. и матем. наук, № 2, 1979.
- Эльсгольц Л. Э. Норкин С. Б. Введение в теорию дифференциальных уравнений с отклоняющимся аргументом. М.: Наука, 1971.
- Алиев Г. Ф., Мамедов Я. Д. Дифференц. уравнения, 8, № 5, 1972.

Институт математики и механики
АН Азерб. ССР

Поступило 1. II. 1982

Я. Э. Элиев, Г. Ф. Элиев

НЕЙТРАЛ ТИП ГЕЈРИ-ХЭТТИ ДИФЕРЕНСИАЛ ТӘНЛИКЛЭР ҮЧҮН СЭРНЭД МЭСЭЛЭЛЭРИНИН ТӘГРИБИ ҺЭЛЛИ ҺАГГЫНДА

Мэглэдээ мејлли аргументли иккичи тэртиг гејри-хэтти дифференциал тәнликлэр үчүн сэрнэд мэсэлэлэриндэн бэхс олуур. Мэсэлэлэрин тәгриби һэлли үчүн мүэйжин интеграсија процеси эсасланырылыр, процесси јығылмасы ибат олуур вэ сүр'эти гиј-мэтлэндирлир.

Ya. E. Aliev, G. F. Aliev

ON THE APPROXIMATION OF THE SOLUTION OF THE EDGE PROBLEMS FOR NON-LINEAR DIFFERENTIAL EQUATIONS OF NEUTRAL TYPE

In the paper the edge problem for the non-linear differential equations of the second order with the deviating argument is considered. The approximation of these problems is based on some iterative process. The convergence of this process is proved, and the estimation of its convergence velocity is given.

В. И. ФИЛИППОВ

О НЕОДНОРОДНЫХ СИСТЕМАХ УРАВНЕНИЙ СВЕРТКИ В ПРОСТРАНСТВЕ ГОЛОМОРФНЫХ ФУНКЦИЙ

(Представлено академиком АН Азербайджанской ССР И. И. Ибрагимовым)

1. Пусть D —влияющая область в C^n , $H(D)$ —пространство голоморфных в D функций с топологией компактной сходимости, $H^*(D)$ —сопряженное к $H(D)$ пространство с топологией равномерной сходимости на ограниченных множествах из $H(D)$. Через $H^l(D)$ обозначим топологическое произведение l экземпляров $H(D)^*$. Пусть $M = (\mu_{kj})$, $k = 1, \dots, m$; $j = 1, \dots, l$, —матрица, элементы которой есть некоторые комплекснозначные меры с компактными носителями в D . В пространстве $H^l(D)$ рассмотрим неоднородную систему уравнений свертки

$$\sum_{j=1}^m \mu_{kj} * f_j = g_k, \quad k = 1, \dots, m. \quad (1)$$

где $g_k \in H(D + K)$, а компакт K определяется носителями мер μ_{kj} .

Существование решения системы уравнений в частных производных с постоянными коэффициентами, являющейся частным случаем системы (1), впервые доказано Л. Эренпрайсом [1] и Б. Мальгранжем [2].

Отметим, что система вида (1) рассматривалась В. В. Напалковым [3] при $l=1$ в пространстве целых функций конечной степени, меньшей $p = (p_1, \dots, p_n)$, Л. Харальдом [4] в пространстве целых функций экспоненциального типа в C^n . В данной работе система (1) рассматривается в пространстве $H^l(D)$ при условии, что определяющие множества функционалов, задаваемых мерами μ_{kj} , $k = 1, \dots, m$; $j = 1, \dots, l$, есть начало координат (в этом случае $K = \{0\}$) и $g_k \in H(D)$, $k = 1, \dots, m$.

2. Пусть $D_i \subset D$, $i = 1, 2, \dots$ —последовательность ограниченных выпуклых областей, таких, что

$$D_i \subset D_{i+1}, \quad D = \bigcup_{i=1}^{\infty} D_i.$$

Через P_D обозначим множество всех целых функций $\varphi(z)$ экспоненциального типа, для которых справедлива оценка $|\varphi(z)| \leq C \exp H_v(z)$, $z \in C^n$, где $C = C(\varphi)$, $v = v(\varphi)$, $H_v(z)$ —опорная функция D_v . Рассмотрим отображение (см. [5]) $T_D : H^*(D) \rightarrow P_D$, определяемое правилом:

$$T_D(F) = F(\exp(\zeta, z)) = \int_D \exp(\zeta, z) d\eta(\zeta), \quad F \in H^*(D),$$

где η —мера, определяющая функционал F (в дальнейшем для краткости вместо $F(\exp(\zeta, z))$ будем писать $F(\exp)$). На множестве P_D определим топологию так, чтобы отображение T_D было топологическим изоморфизмом. Отметим, что если $G = (G_1, \dots, G_m) \in H^{*m}(D)$, $g = (g_1, \dots, g_m) \in H^m(D)$, то $(G, g) = (G_1, g_1) + \dots + (G_m, g_m)$ (штрих означает, что следует рассматривать вектор-столбец). Введем отображение $T_{m,D}$, которое элементу $G \in H^{*m}(D)$ ставит в соответствие элемент $T_{m,D}(G) = (G_1(\exp), \dots, G_m(\exp)) \in P_D^m$. Так как T_D —топологический изоморфизм, то $T_{m,D}$ устанавливает топологический изоморфизм между $H^{*m}(D)$ и P_D^m .

Матрица M определяет линейный непрерывный оператор $L_M : H^1(D) \rightarrow H^m(D)$. Сопряженный к L_M оператор $L_M^* : H^{*m}(D) \rightarrow H^1(D)$ порождает эквивалентный в топологическом смысле оператор $L_{ZM} : P_D^m \rightarrow P_D^1$, действие которого заключается в умножении элемента из P_D^m на матрицу $ZM = (\tilde{\mu}_{kj}(z))$, $k = 1, \dots, m$; $j = 1, \dots, l$, где через $\tilde{\mu}_{kj}(z)$ обозначены преобразования Лапласа функционалов, задаваемых мерами μ_{kj} .

Заметим, что из тождества

$$(L_M^*(G), f) = (G, L_M(f)), \quad f \in H^1(D), \quad G \in H^{*m}(D),$$

которое верно по определению сопряженного оператора, следует включение $\text{Im } L_M \subset (\text{ker } L_M^*)^\perp$.

Теорема 1. Система (1) разрешима в пространстве $H^1(D)$ для всякого $g \in (\text{ker } L_M^*)^\perp$, тогда и только тогда, когда множество $\text{Im } L_{ZM}$ замкнуто в P_D^1 .

Доказательство опирается на результат Ж. Дьеонне и Л. Шварца ([6], теорема 7) о прямом и сопряженном отображениях в пространствах Фреше и теорему Хана—Банаха.

3. Л. Хёрмандером [7] доказана теорема, в которой приводится необходимое и достаточное условие порождаемости кольца

$A_p(\Omega) = \{f : f \in H(\Omega), \exists C_1(f), C_2(f), |f| \leq C_1 \exp(C_2 p(z)), z \in \Omega\}$ конечным набором элементов $f_1, \dots, f_q \in A_p(\Omega)$. Здесь Ω —открытое множество в C^n , $p(z)$ —плюрисубгармоническая в Ω функция, удовлетворяющая некоторым условиям. Отметим, что пространство $A_p(\Omega)$ представимо как индуктивный предел некоторых банаевых пространств.

Мы будем рассматривать пространство

$E_{[1,0]} = \{f : f \in H(C^n), \forall \epsilon > 0 \exists C(\epsilon, f), |f| \leq C \exp(\epsilon |z|), z \in C^n\}$ всех целых функций первого порядка и минимального типа. В отличие от $A_p(\Omega)$ пространство $E_{[1,0]}$ представимо как проективный предел банаевых пространств.

Теорема 2. Элементы $f_1, \dots, f_q \in E_{[1,0]}$ порождают $E_{[1,0]}$, тогда и только тогда, когда для любого $\epsilon > 0$

$$|f_1(z)| + \dots + |f_q(z)| \geq C(\varepsilon) \exp(-\varepsilon|z|), z \in \mathbb{C}^n.$$

Доказательство по существу основано на лемме 3. 6, 7 из [8].

Отметим, что в случае размерности $n=1$ и двух порождающих функций теорема 2 доказана А. Ю. Тимофеевым [9] интерполяционным методом.

4. Дж. Келлехером и Б. Тейлором [10] обобщен результат Л. Хёрмандера [7] на A_p -модули $M = (A_p(\Omega))^l$.

Подмодуль в модуле P_D^l , порожденный элементами $F_1 = (L_{\mu_{11}}, \dots, L_{\mu_{1l}}), \dots, F_m = (L_{\mu_{m1}}, \dots, L_{\mu_{ml}})$, обозначим через $N(L_{\mu_{kj}})$. Согласно утверждению Дж. Келлехера и Б. Тейлора, $N(L_{\mu_{kj}}) = P_D^l$, тогда и только тогда, когда все возможные определители вида $|L_{\mu_{k_r,j_l}}|^l$, $1 < \kappa_1 < \dots < \kappa_l < m$, порождают P_D ($m > l$). Перенумеруем определители $|L_{\mu_{k_r,j_l}}|^l$ (их число $q = C_m^l$): $\Delta_1(z), \dots, \Delta_q(z)$. В дальнейшем будем считать, что замыкание идеала $I(\Delta_1, \dots, \Delta_q)$ в пространстве P_D совпадает со всем P_D , т. е.

$$\overline{I(\Delta_1, \dots, \Delta_q)} = P_D. \quad (A)$$

Заметим, что для размерности $n=1$ условие (A) всегда выполняется, если функции $\Delta_1(z), \dots, \Delta_q(z)$ не имеют общих корней.

С учетом теорем 1 и 2, справедливо следующее утверждение.

Теорема 3. Система (I) при выполнении условия (A) и $m > l$ разрешима в пространстве $H^l(D)$ для всякого $g \in (\ker L_M^*)^\perp$, если для любого $\varepsilon > 0$

$|\Delta_1(z)| + \dots + |\Delta_q(z)| \geq C(\varepsilon) \exp(-\varepsilon|z|), z \in \mathbb{C}^n$,
где $\Delta_1, \dots, \Delta_q$ —все возможные различные определители вида

$$|L_{\mu_{k_r,j_l}}|^l, 1 < \kappa_1 < \dots < \kappa_l < m.$$

Литература

1. Ehrenpreis L. Amer. J. Math., vol. 76, № 4, 883–903, 1954.
2. Malgrange B. Ann. Inst. Fourier, vol. 6, 271–355.
3. Напалков В. В. Матем. заметки, т. 26, № 2, 217–226, 1979.
4. Hörmander L. Rep. Dep. Math. Univ. Stockholm, Oct. 1–7, 1980.
5. Напалков В. В. Сиб. матем. ж., т. 14, № 2, 427–436, 1973.
6. Дьеонне Ж., Шварц Л. Математика, т. 2, № 2, 77–107, 1958.
7. Höglund L. Bull. Amer. Math. Soc., vol. 73, № 6, 943–949, 1967.
8. Ронкин Л. И. Введение в теорию целых функций многих переменных. М.: Наука, 1971.
9. Тимофеев А. Ю. ДАН СССР, т. 260, № 1, 43–46, 1981.
10. Kelleher J. J., Taylor B. A. Math. Ann., vol. 193, № 3, 225–237, 1971.

Отдел физики и математики с ВЦ
Башкирского филиала АН СССР

Поступило 26. IV 1982

В. Н. Филиппов

ҺОЛОМОРФ ФУНКСИЯЛАР ФӘЗАСЫНДА БИРЧИНСЛИ ОЛМАЈАН БҮРҮНМӘ ТӘНЛИКЛӘРИ СИСТЕМИ ҺАГГЫНДА

Мәгаләдә һоломорф функциялар фәзасында бирчинсли олмајан бүрүнмә тәнликләри системиниң һәлли үчүн зәрури вә кафи шартләр тапталышының.

V. N. Philippov

ON NONHOMOGENEOUS SYSTEMS OF EQUATIONS OF CONVOLUTION IN SPACE OF HOLOMORPHIC FUNCTIONS

In the paper the necessary and sufficient condition of solvability of the nonhomogeneous system of equations of convolutions in the space of holomorphic functions of several complex variables is established.

И. Р. САДЫХОВ

**ОБ ОДНОМ МЕТОДЕ РАСЧЕТА ГИБКИХ ПОЛОГИХ ОБОЛОЧЕК
ПЕРЕМЕННОЙ ТОЛЩИНЫ ИЗ НЕЛИНЕЙНО-УПРУГОГО
МАТЕРИАЛА НА ЭВМ С УЧЕТОМ НЕЛИНЕЙНОЙ
ДЕФОРМИРУЕМОСТИ КОНТУРНЫХ ЭЛЕМЕНТОВ**

(Представлено академиком АН Азербайджанской ССР Ф. Г. Максудовым)

С учетом деформированного состояния рассматривается работа прямоугольных в плане со сторонами a и b пологих оболочек переменной толщины и кривизны, окаймленных по контуру ребрами, которые выполнены, как и сама оболочка, из нелинейно-деформируемого материала. Исходная система дифференциальных уравнений в функциях напряжений Φ и прогиба w при коэффициенте Пуассона $\mu=0,5$ (случай несжимаемого материала), с помощью энергетических принципов строительной механики получена в виде:

$$\begin{aligned} \nabla^2(D\nabla^3 w) - 0,5 L(D, w) - \nabla^2 \Phi &= q; \\ \nabla^3(H\nabla^2 \Phi) - 1,5 L(H, \Phi) + \nabla^2 w &= 0,5 L(w, w), \end{aligned}$$

где

$$D = \frac{E'h}{9}; \quad H = \frac{1}{E'h};$$

h —толщина оболочки; $E' = \sigma/e$ —переменный модуль деформации материала оболочки; q —интенсивность нагрузки; $\sigma(e)$ —интенсивность напряжений, являющаяся нелинейной функцией интенсивности деформаций e , аппроксимирующей диаграмму растяжения—сжатия; дифференциальные операторы ∇^3 , $L(D, w)$ и $L(w, w)$ имеют такой же вид, как и в работе [1].

Контурные условия для краев $y=0$ ($i=1$) и $y=b$ ($i=2$) имеют вид:

$$\begin{aligned} \frac{\partial}{\partial x} \left(C_{ix} \frac{\partial^2 w}{\partial x \partial y} \right) &= \pm D \left(\frac{\partial^2 w}{\partial y^3} + 0,5 \frac{\partial^2 w}{\partial x^2} \right); \quad \frac{\partial^2}{\partial x^2} \left(b_{ix}^b \frac{\partial^2 w}{\partial x^2} \right) = \\ &= \pm D \left(\frac{\partial^3 w}{\partial y^3} + 1,5 \frac{\partial^3 w}{\partial x^2 \partial y} \right) \pm \frac{\partial D}{\partial y} \left(\frac{\partial^2 w}{\partial y^2} - 0,5 \frac{\partial^2 w}{\partial x^2} \right) \pm \frac{\partial D}{\partial x} \frac{\partial^2 w}{\partial x \partial y} \pm \\ &\quad \pm \frac{\partial^2 \Phi}{\partial x^2} \frac{\partial w}{\partial y} \pm \frac{\partial^2 \Phi}{\partial x \partial y} \frac{\partial w}{\partial x}; \end{aligned}$$

$$\pm \frac{1}{H_{ix}} \frac{\partial \Phi}{\partial y} = H \left(\frac{\partial^2 \Phi}{\partial y^3} - 0,5 \frac{\partial^2 \Phi}{\partial x^2} \right) + \kappa_1 w - 0,5 \left(\frac{\partial w}{\partial x} \right)^2 - \frac{\partial^2 w}{\partial x^2} w;$$

$$\pm \frac{\Phi}{B_{ix}^b} = H \left(\frac{\partial^3 \Phi}{\partial y^3} + 2,5 \frac{\partial^2 \Phi}{\partial x^2 \partial y} \right) + \frac{\partial H}{\partial y} \left(\frac{\partial \Phi}{\partial y^2} - 0,5 \frac{\partial^2 \Phi}{\partial x^2} \right) +$$

$$+ 3 \frac{\partial H}{\partial x} \frac{\partial^2 \Phi}{\partial x \partial y} + \kappa_1 \frac{\partial w}{\partial y} - 2 \kappa_{12} \frac{\partial w}{\partial x} - \frac{\partial \kappa_{12}}{\partial x} w + 2 \frac{\partial^2 w}{\partial x \partial y} \frac{\partial w}{\partial y} + \frac{\partial^2 w}{\partial x^2 \partial y} w,$$

где C_{ix} , B_{ix}^b , B_{ix}^r —крутильные и изгибающие жесткости ребер в вертикальных и горизонтальных плоскостях, а H_{ix} —жесткости на растяжение—сжатие, которые также являются нелинейными функциями деформаций.

Для решения системы нелинейных уравнений (1) и (2) применим шаговый метод, который позволяет на каждом шаге нагружения произвести геометрическую линеаризацию и тем самым получить систему нелинейных уравнений, отражающих лишь физическую нелинейность материала. Разложив эти уравнения в ряд Тейлора по степеням приращения жесткостей оболочки, функций прогиба, напряжения и кривизны на j -ом шаге нагружения и отбросив члены второго и выше порядка малости, получим систему линейных дифференциальных уравнений с переменными коэффициентами.

Для решения этих уравнений используем метод малого параметра, в качестве которых принимаем:

$$\begin{aligned} v_{j-1} &= h_{cp} \cdot H_{cp(j-1)} = \frac{1}{ab} \int_0^a \int_0^b h dx dy \cdot \frac{1}{ab} \int_0^a \int_0^b H_{j-1} dx dy; \\ \zeta_j &= K_{ij}^{cp} = \frac{1}{ab} \int_0^a \int_0^b \kappa_{ij} dx dy; \end{aligned}$$

Искомые функции прогиба w_j и напряжений Φ_j представляем в виде разложений по степеням этих параметров

$$\begin{aligned} w_j &= \sum_{p=0}^{\infty} \sum_{l=0}^{\infty} v_{j-1} \eta_j^l (W_{(j)p,l} + W_{(j)p,l}^*); \\ \Phi_j &= \sum_{p=0}^{\infty} \sum_{l=0}^{\infty} v_{j-1} \zeta_j^l (\varphi_{(j)p,l} + \varphi_{(j)p,l}^*). \end{aligned}$$

где

$$\begin{aligned} W_{(j)p,l} &= \sum_m \sum_n B_{mn}^{(p,l)} \sin \frac{m\pi x}{a} \cdot \sin \frac{n\pi y}{b}; \quad \varphi_{(j)p,l} = \\ &= \sum_m \sum_n A_{mn}^{(p,l)} \sin \frac{m\pi x}{a} \cdot \sin \frac{n\pi y}{b}; \end{aligned}$$

$W_{(j)p,l}^*$, $\varphi_{(j)p,l}^*$ —функции, соответствующие центральному нелинейно-упругому защемлению оболочки по контуру, вызывающему распределенные изгибающие моменты, нормальные силы, относительные удлинения опорных элементов, а также прогибы опорных сечений. Выражения этих функций подбираются в зависимости от вида контурных закреплений.

С учетом разложений (5) будем иметь следующую бесконечную последовательность систем линейных дифференциальных уравнений с постоянными коэффициентами

$$\begin{aligned} D_{cp(j-1)} \nabla^2 \nabla^2 w_{(j)p,l} - \nabla_{x(j)}^2 \Phi_{(j)p,l} &= \zeta_{(j)p,l}^{(1)}; \quad H_{cp(j-1)} \nabla^2 \nabla^2 \Phi_{(j)p,l} + \\ &+ \nabla_{x(j)}^2 w_{(j)p,l} = \zeta_{(j)p,l}^{(2)}; \end{aligned}$$

$$C_{1x(j-1)} \frac{\partial^3}{\partial x^3} w_{(j)p,l} = \pm D_{cp(j-1)} \left(\frac{\partial^3}{\partial y^3} + 0,5 \frac{\partial^3}{\partial x^2 \partial y} \right) w_{(j)p,l} + R_{p,l}^{(1)};$$

$$B_{1i(j-1)}^b \frac{\partial^4 \Phi_{(j)p,l}}{\partial y^4} = \pm D_{cp(j-1)} \left(\frac{\partial^3}{\partial y^3} + 1,5 \frac{\partial^3}{\partial x^2 \partial y} \right) W_{(j)p,l} + K_{p,l}^{(2)};$$

$$\pm \frac{1}{H_{1x(j-1)}} \frac{\partial \Phi_{(j)p,l}}{\partial y} = H_{cp(j-1)} \left(\frac{\partial^3}{\partial y^3} - 0,5 \frac{\partial^3}{\partial x^2} \right) \Phi_{(j)p,l} + K_{1j}^{cp} w_{(j)p,l} + R_{p,l}^{(3)};$$

$$\pm \frac{\Phi_{(j)p,l}}{B_{1i(j-1)}^r} = H_{cp(j-1)} \left(\frac{\partial^3}{\partial y^3} + 2,5 \frac{\partial^3}{\partial x^2 \partial y} \right) \Phi_{(j)p,l} + K_{1j}^{cp} \frac{\partial w_{(j)p,l}}{\partial y} + K_{p,l}^{(4)},$$

где $\zeta_{p,l}^{(1)}, Q_{p,l}^{(2)}, R_{p,l}^{(1)}, \lambda_{p,l}^{(2)}, K_{p,l}^{(3)}, K_{p,l}^{(4)}$ — известные функции;

$$p = 1, 2, 3, \dots, \infty; l = 1, 2, 3, \dots, \infty.$$

Условия сопряжения оболочки с контурными ребрами по краям $x=0$ ($i=1$) и $x=a$ ($i=2$) получим из (8), заменив x на y и наоборот.

Решив уравнения (7) и (8), определим напряженно-деформированное состояние оболочки при любом значении нагрузки, меньшем предельного. По достижении максимального значения нагрузки и превышении его, перемещения начнут интенсивно возрастать и разложения (5) будут расходиться. Этот принцип используется для определения предельной нагрузки на оболочку.

Полученные системы уравнений (7) и (8) обладают достаточной общностью, что позволяет решать задачи применительно как к отдельно стоящим оболочкам, так и к оболочкам в многоволновом исполнении.

На основании приведенного алгоритма составлена программа на языке «Фортран», с помощью которой исследовано влияние жесткости контурных ребер на растяжение на напряженно-деформированное состояние двояко-выпуклых прямоугольных в плане пологих оболочек в виде эллиптического параболоида переменной толщины и кривизны, срединная поверхность которых описывается уравнением:

$$Z = f \left[\frac{(2x-a)^2}{2a^2} + \frac{(2y-b)^2}{2b^2} - 1 \right],$$

где f — стрела подъема; a, b — размеры контура.

Уравнения, выражающие физическую нелинейность материала оболочки и контурных ребер, принимались в виде:

$$\sigma = Ee - Be^3; \quad \sigma_{ix} = E_{ix} e_{ix} - B_{ix} e_{ix}^3;$$

$$\sigma_{iy} = E_{iy} e_{iy} - B_{iy} e_{iy}^3,$$

где E, E_{ix}, E_{iy} — начальные модули деформации; $\sigma_{ia}, \sigma_{iipr}$ — пределы прочности материала оболочки и ребер.

Константы B_{ix}, B_{iy}, B определялись по формулам [1]:

$$B_{ix} = \frac{4}{27} \frac{E_{ix}^3}{\sigma_{iipr}^2}; \quad B_{iy} = \frac{4}{27} \frac{E_{iy}^3}{\sigma_{iipr}^2}; \quad B = \frac{4}{27} \frac{E^3}{\sigma_{iipr}^2}.$$

Приняты следующие исходные данные для расчета оболочки:

$$\sigma_{iipr} = \sigma_{iipr} = 350 \text{ МПа}; \quad E = E_{ix} = E_{iy} = 2 \cdot 10^5 \text{ МПа}.$$

Толщина оболочки уменьшалась от контура ее к центру по за-

$$h = h_0 \left(1 - \lambda \sin \frac{\pi x}{a} \sin \frac{\pi y}{b} \right).$$

Соотношения геометрических размеров: $\gamma = b/a = 1; a/h_0 = 100; 91, 984; 108, 106; a_1/h_0 = 10; 9; 19; 10, 81; b_1/h_0 = 8; 7, 35; 8, 65$; соответственно для случаев $\lambda = 0; 0, 2; -0, 2$.

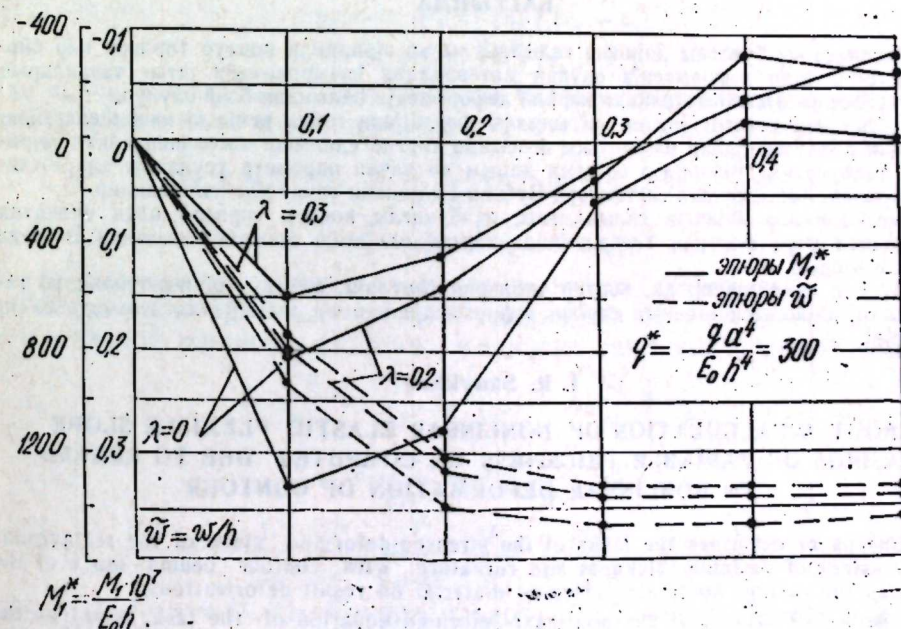
Начальные значения жесткости контурных балок со сторонами сечения a_1 и b_1 были приняты $H_{1x0}^* = H_{1y0}^* = 2513, 645; 625 \cdot 10^4; 360025, 84$.

Системы дифференциальных уравнений решались вариационным методом Бубнова—Галеркина. Выражения для $W_{(j)p,l}^*$ и $\Phi_{(j)p,l}^*$ в этом случае имели вид:

$$W_{(j)p,l}^* = 0; \quad \Phi_{(j)p,l}^* = -\frac{b^2}{2} \left(\frac{y}{b} - \frac{y^3}{b^2} \right) \sum_m \theta_{m(j)}^{(p,l)} \sin \frac{\pi mx}{a} - \frac{a^2}{2} \left(\frac{x}{a} - \frac{x^3}{a^2} \right) \sum_n \theta_{n(j)}^{(p,l)} \sin \frac{\pi ny}{b}.$$

Расчеты проводились по разработанной программе с учетом как физической, так и геометрической нелинейностей.

На рисунке показаны эпюры прогибов и изгибающих моментов при различных значениях параметра изменения толщины λ , из которых следует, что изменение толщины оболочки при условии сохранения объема



приводит к значительному уменьшению прогибов и максимальных изгибающих моментов. Наибольшее значение изгибающего момента M_1^* для случая $\lambda=0,3$ уменьшилось более, чем в два раза. Однако в средней части их значения увеличились более трех раз. Перераспределение материала оболочки от центра к краям способствует увеличению ее несущей способности. Величина предельной нагрузки при $\lambda=0,3$ оказалась на 8% больше предельной нагрузки оболочки постоянной толщины.

Учет обоих видов нелинейностей приводит к увеличению мембранных усилий. Уменьшение жесткости контурных балок вызывает увеличение изгибных деформаций и усилий. Из мембранных усилий нормальная сила изменяется незначительно, а максимальные значения сдвигающих сил уменьшаются так, что приводят к качественному изменению картины их распределения. С увеличением жесткости контурных балок на расстояние предельные нагрузки увеличиваются, причем максимальные их значения при учете физической и геометрической нелинейностей будут иметь место при опирании оболочки на идеальные диафрагмы. Это указывает на необходимость учета действительной жесткости и прочности контурных балок пологих оболочек, изменения их толщины, а также физической и геометрической нелинейности.

Литература

Лукаш П. А. Основы нелинейной строительной механики. М.: Стройиздат, 1978, с. 204.

АэПИ им. Ч. Ильдрыма

Поступило 1. II 1983

И. Р. Садыгов

ДӘЖИШӘН ГАЛЫНЛЫГЫ ГЕЈРИ-ХӘТТИ ЕЛАСТИК МАТЕРИАЛДАН НАЗЫРЛАНМЫШ ЧЕВИҚ ЖАТЫГ ТАВАНЛАРЫН КОНТУРУНУН ГЕЈРИ-ХӘТТИ ДЕФОРМАСИЯСЫНЫ НӘЗӘРӘ АЛМАГЛА ЕҮМ-ДӘ ҢЕСАБЛАНМА ҮСУЛУ ҺАГГЫНДА

Мәгәләдә дүзбучаглы дәжишән галынлыгы вә әррикли контур тирләри илә бирликтә гејри-хәтти деформасия олунан материалдан назырламыш жатыг таванларын сону деформасијалар дахилицә кәркин деформасия налыдан бәйс олууну.

Гејри-хәтти еластик чисим нағындағы фәрзийәни габул етмәклә кичик еластик-пластик деформасијалар иәзәријәсінән деформасија тәртиб едилмиш месаләнин илкни гејри-хәтти диференциал тәнликтәр системи адым вә кичик параметр үсуулары илә хәтти-ләздірилір. Хәтти тәнликтәр Бубнов-Галјоркин үсуулу илә һәлл едилір.

Ңесабламалар дәжишән галынлыгы, дүзбучаглы контур тирләри олан еллиптик параболонд үчүн форктран алгоритминдә тәртиб едилмиш програм әсасында ElM-дә апарылышынан.

Мұғажән едилмишдер ки, контур типләрин сәртлиji, физики гејри-хәттилік вә галынлыгын дәжишмәсін таванын кәркин деформасия һаляна әнәмијәтті дәрәчәдә тә'сир көстәрір.

I. R. Sadykov

ABOUT A CALCULATION OF NONLINEAR ELASTIC FLEXIBLE SLOPE CASINGS OF VARIABLE THICKNESS ON COMPUTER DUE TO REGARD TO NONLINEAR DEFORMATION OF CONTOUR

The paper examines the tasks of the stressed-deformed state of the rectangular slope casings of variable thickness and curvature with contour beams made of the same, as the casing, nonlinear-deformed material on result deformations.

The initial system of the nonlinear-deformed equation of the task, based on the theory of the small elastic-plastic deformations attracting the hypothesis of the non-linear-elastic body, is linearized with the help of pedometer method and small parameter method. The linear equations system is calculated by using the Bubnov-Galerkin method.

Calculations are carried out on computer by the program of Fortran tongue for the elliptic paraboloid of variable thickness contour beam of rectangular section. The stressed-deformed state of the casing is under the influence of the rigidity of the contour beams, physical nonlinearization and variableness of thickness essentially.

АЗЭРБАЙЧАН ССР ЕЛМЛӘР АКАДЕМИЯСЫНЫН МӘРУЗӘЛӘРИ

ДОКЛАДЫ АКАДЕМИИ НАУК АЗЕРБАЙДЖАНСКОЙ ССР

ТОМ XL ЧИЛД

№ 7

1984

УДК 539.374

МЕХАНИКА

М. Х. ИЛЬЯСОВ, Т. А. НАСИБОВ, Б. Р. НУРИЕВ

РАСПРОСТРАНЕНИЕ ПРОДОЛЬНЫХ ВОЛН ПО НЕЛИНЕЙНО-УПРУГОЙ ОБОЛОЧКЕ, ЗАПОЛНЕННОЙ ЖИДКОСТЬЮ

(Представлено академиком АН Азербайджанской ССР Ф. Г. Максудовым)

Рассмотрим задачу продольного удара по цилиндрической безмолекулярной оболочке с идеальной жидкостью. Примем, что жидкость линейно сжимаем ($\frac{dp}{dp_{жк}} = a_{жк}^2 = \text{const}$), а материал оболочки подчиняется нелинейно-упругому закону деформирования [3]:

$$\begin{aligned}\sigma_x &= \sigma_0 + 2\mu\tau(\psi_0^2)(\epsilon_x - \epsilon_0) \\ \sigma_\theta &= \sigma_0 + 2\mu\tau(\psi_0^2)(\epsilon_\theta - \epsilon_0) \\ \sigma_r &= \sigma_0 + 2\mu\tau(\psi_0^2)(\epsilon_r - \epsilon_0),\end{aligned}\quad (1)$$

где σ_x , σ_θ , σ_r и ϵ_x , ϵ_θ , ϵ_r — компоненты тензора напряжений и деформаций в оболочке в цилиндрической системе координат (r, θ, x) .

$$\sigma_0 = \frac{1}{3}(\sigma_x + \sigma_\theta + \sigma_r), \quad \epsilon_0 = \frac{1}{3}(\epsilon_x + \epsilon_\theta + \epsilon_r), \quad \psi_0 = \frac{8}{9}(\epsilon_x^2 + \epsilon_\theta^2 + \epsilon_r^2 - \epsilon_x\epsilon_r - \epsilon_x\epsilon_\theta - \epsilon_\theta\epsilon_r),$$

а $\tau(\psi_0)$ — некоторая известная функция своего аргумента.

Уравнения осесимметричного движения безмоментной оболочки и идеальной жидкости (течение жидкости одномерно) имеют вид:

$$\begin{aligned}p_0 \frac{\partial^2 u}{\partial t^2} + \frac{\partial \sigma_x}{\partial x}, p_0 \frac{\partial^2 w}{\partial t^2} &= -\frac{\sigma_0}{R} + \frac{P}{h}, \\ \epsilon_x = \frac{\partial u}{\partial x}, \quad \epsilon_0 &= \frac{w}{R} - 1,\end{aligned}\quad (2)$$

$$\frac{\partial v}{\partial t} = -\frac{1}{p_{жк}} \frac{\partial P}{\partial x}, \quad \frac{1}{p_{жк} a_{жк}^2} \frac{\partial P}{\partial t} + \frac{\partial v}{\partial x} - \frac{2}{\kappa} \frac{\partial w}{\partial t} = 0,$$

где $u(x, t)$ и $w(x, t) — R$ — продольное и поперечное смещение частиц оболочки, p_0 и $p_{жк}$ — начальная плотность материала оболочки и жидкости, R — начальный радиус оболочки, $v(x, t)$ и $P(x, t)$ — скорость точек жидкости и давление в ней, x — лагранжева координата.

Начальные и граничные условия следующие:

$$u(x, 0) = w(x, 0) = R = \epsilon_x(x, 0) = P(x, 0) = \tau(x, 0) = 0$$

$$\frac{\partial u(0, t)}{\partial t} = v(0, t) = v_0 = \text{const.} \quad (3)$$

Применяя метод характеристик [2] к системе (1)–(2), находим, что по системе оболочки–жидкость распространяются волны, имеющие скорости $C_1 = \sqrt{\frac{1}{\rho_0} \frac{\partial \sigma_x}{\partial \epsilon_x}}$ и $a_{\text{ж}}$. Очевидно, на первой волне каждая тройка компонентов деформации $(\epsilon_x, \epsilon_0, \epsilon_r)$ имеет свою скорость.

Будем считать, что материал оболочки несжимаем, откуда имеем:

$$\epsilon_r = -(\epsilon_x + \epsilon_0) \quad (4)$$

В силу тонкости оболочки принимается, что $\sigma_r = 0$, учитывая которую совместно с (4) в (1), получим:

$$\sigma_x = 2\mu\gamma(\psi_0^2)(2\epsilon_x + \epsilon_0), \quad \sigma_0 = 2\mu\gamma(\psi_0^2)(\epsilon_x + 2\epsilon_0) \quad (5)$$

Пренебрегая инерционным членом в поперечном направлении $\left(\frac{\partial^2 w}{\partial t^2} = 0\right)$ из второго уравнения системы (2) находим:

$$\sigma_0 = \frac{R}{h} P \quad (6)$$

После этого, как легко доказать, задача становится автомодельной, т. е. безразмерные функции $W_0 = \frac{w}{R}$, $U_0 = \frac{u}{v_0 t}$, $V_0 = \frac{v}{v_0}$, ϵ_r , ϵ_0 , ϵ_x , $P_0 = \frac{P}{\rho_{ж0} v_0^2}$, $\sigma_x^0 = \frac{\sigma_x}{\rho_0 v_0^2}$, $\sigma_0^0 = \frac{\sigma_0}{\rho_0 v_0^2}$ могут зависеть лишь от автомо-

дельной переменной $z = \frac{x}{v_0 t}$. Следовательно, в новых переменных исходные уравнения примут вид:

$$z^2 \frac{d^2 U_0}{dz^2} = \frac{d \sigma_r^0}{dz} \quad (7)$$

$$z \frac{d V_0}{dz} = \frac{d P_0}{dz} \quad (8)$$

$$\frac{d V_0}{dz} - \frac{v_0^2}{a_{\text{ж}}^2} z \frac{d P_0}{dz} + 2z \frac{d W_0}{dz} = 0 \quad (9)$$

$$\epsilon_x = \frac{d U_0}{dz}, \quad \epsilon_0 = W_0 - 1 \quad (10)$$

Учитывая (5) в (7), а соотношение $\sigma_0^0 = \alpha P_0 \left(z = \frac{R}{h} \cdot \frac{\rho_{ж0}}{\rho_0}\right)$ и уравнение (8) в (9), после некоторых операций получим:

$$\left(z^2 - \frac{\partial \sigma_x^0}{\partial \epsilon_x}\right) \frac{d^2 U_0}{dz^2} - \frac{\partial \sigma_x^0}{\partial \epsilon_0} \frac{d W_0}{dz} = 0 \quad (11)$$

$$\left[\left(1 - \frac{v_0^2}{a_{\text{ж}}^2} z^2\right) \frac{1}{a} \frac{\partial \sigma_0^0}{\partial \epsilon_x}\right] \frac{d^2 U_0}{dz^2} + \left[2z^2 - \frac{1}{a} \frac{\partial \sigma_0^0}{\partial \epsilon_0} \left(1 - \frac{v_0^2}{a_{\text{ж}}^2} z^2\right)\right] \frac{d W_0}{dz} = 0$$

Решение $u_0 = 0$ и $W_0 = 0$ этой системы показывает наличие области постоянных параметров. Однако нетрудно доказать, что это

решение не может охватить всю возмущенную область для произвольной зависимости $\gamma(\psi_0^2)$.

Условие существования нетривиального решения системы (11) даёт:

$$\frac{\partial \sigma_x^0}{\partial \epsilon_0} \cdot \left(1 - \frac{v_0^2}{a_{\text{ж}}^2} z^2\right) \cdot \frac{1}{a} \frac{\partial \sigma_0^0}{\partial \epsilon_x} + \left(z^2 - \frac{\partial \sigma_x^0}{\partial \epsilon_x}\right) \left[2z^2 - \frac{1}{a} \frac{\partial \sigma_0^0}{\partial \epsilon_0} \left(1 - \frac{v_0^2}{a_{\text{ж}}^2} z^2\right)\right] = 0 \quad (12)$$

Присоединяя к этому условию одно из уравнений (11) и при этом учитывая соотношения (5), получим систему двух нелинейных уравнений относительно $\epsilon_x(z)$ и $\epsilon_0(z)$. Пока предположим, что полученная система совместна. Решая уравнение (12) относительно z^2 , будем иметь:

$$z^2 = \varphi_1(\epsilon_x, \epsilon_0), \quad (13)$$

где

$$2\varphi_1(\epsilon_x, \epsilon_0) \cdot \left(2 + \frac{1}{a} \frac{\partial \sigma_0^0}{\partial \epsilon_0} + \frac{v_0^2}{a_{\text{ж}}^2}\right) = \frac{1}{a} \frac{\partial \sigma_0^0}{\partial \epsilon_0} + \frac{\partial \sigma_0^0}{\partial \epsilon_x} \left(2 + \frac{1}{a} \frac{\partial \sigma_0^0}{\partial \epsilon_0}\right) \frac{v_0^2}{a_{\text{ж}}^2} + \\ + \left[\left(\frac{1}{a} \frac{\partial \sigma_0^0}{\partial \epsilon_0} + \frac{\partial \sigma_0^0}{\partial \epsilon_x} \left(2 + \frac{1}{a} \frac{\partial \sigma_0^0}{\partial \epsilon_0}\right) \frac{v_0^2}{a_{\text{ж}}^2}\right)^2 - 4 \left(2 + \frac{1}{a} \frac{\partial \sigma_0^0}{\partial \epsilon_0}\right) \frac{v_0^2}{a_{\text{ж}}^2} \left(\frac{\partial \sigma_0^0}{\partial \epsilon_x} + \frac{1}{a} \frac{\partial \sigma_0^0}{\partial \epsilon_0} \frac{\partial \sigma_0^0}{\partial \epsilon_x}\right)\right]^{\frac{1}{2}}$$

Учитывая (13) в первом уравнении системы (11), получим:

$$\left[\varphi_1(\epsilon_x, \epsilon_0) - \frac{\partial \sigma_x^0}{\partial \epsilon_x}\right] \frac{d \epsilon_x}{dz} - \frac{\partial \sigma_x^0}{\partial \epsilon_0} \frac{d \epsilon_0}{dz} = 0,$$

откуда имеем:

$$\frac{d \epsilon_x}{d \epsilon_0} = \varphi_2(\epsilon_x, \epsilon_0), \quad (14)$$

где

$$\varphi_2(\epsilon_x, \epsilon_0) = \frac{\partial \sigma_x^0}{\partial \epsilon_x} \left|\left[\varphi_1(\epsilon_x, \epsilon_0) = \frac{\partial \sigma_0^0}{\partial \epsilon_x}\right]\right|$$

Интегрируя уравнения (14) для заданной зависимости $\gamma(\psi_0^2)$, находим:

$$F(\epsilon_x, \epsilon_0, c) = 0 \quad (15)$$

После этого $\epsilon_x(z)$ и $\epsilon_0(z)$ находятся из (13) и (15) без квадратуры, σ_x^0 , σ_0^0 , P_0 и ϵ_r определяются по формулам (5), (6) и (4) непосредственно, а $V_0(z)$ находится простым интегрированием $\frac{1}{z} \frac{d P_0}{dz} dz$.

Следует отметить, что условие несжимаемости материала оболочки не является существенным. В самом деле, это предположение послужило лишь для того, чтобы выразить ϵ_r через ϵ_x и ϵ_0 в виде простой формулы (4). Однако это можно было сделать, используя третье уравнение системы (1). При этом вместо формулы (4) получилась бы более громоздкая нелинейная формула, от чего, очевидно

бы, не изменился дальнейший ход рассуждений. Далее будем считать, что материал оболочки сжимаем.

В зависимости от скорости удара, задний фронт нелинейных волн, за которым располагается область постоянных параметров, может находиться как за волной $x = a_{jk}t$, так и впереди нее. Рассмотрим случай, когда задний фронт нелинейных волн предшествует волне $x = a_{jk}t$.

Для простоты, в области распространения нелинейных волн, где жидкость еще находится в своем начальном положении, изменение давления P , вызванного наличием ϵ_0 не учитываем. Тогда в этой области, согласно (6), будем иметь $\sigma_0 = 0$. С учетом этого, преобразуя формулы (1) [3], будем иметь:

$$\epsilon_x = \frac{1}{9K} \sigma_x + \frac{1}{3\mu} g(t_0^2) \sigma_x \quad (16)$$

$$\epsilon_0 = \frac{1}{9K} \sigma_x - \frac{1}{6\mu} g(t_0^2) \sigma_x$$

$$\epsilon_r = \frac{1}{9K} \sigma_x - \frac{1}{6\mu} g(t_0^2) \sigma_x,$$

где t_0 — интенсивность касательных напряжений, в данном случае принимает вид: $t_0^2 = \frac{2\sigma_x^2}{9\mu}$. Из первого уравнения (16), определяя

$$\epsilon_x = \frac{\sigma_x}{9K} + \frac{1}{3\mu} g\left(\frac{2\sigma_x^2}{9\mu}\right) \sigma_x \quad (17)$$

и подставляя ее в (7), получим:

$$\left[z^2 \left(\frac{1}{9K} + \frac{4}{27\mu^2} \frac{dg(t_0^2)}{d(t_0^2)} \sigma_x^2 + \frac{1}{3\mu} g(t_0^2) \right) - \frac{1}{\rho_0 v_0^2} \right] \frac{d\sigma_x}{dz} = 0 \quad (18)$$

В области распространения нелинейных волн уравнение (18) имеет решение

$$z^2 \left[\frac{1}{9K} + \frac{4}{27\mu^2} \frac{dg(t_0^2)}{d(t_0^2)} \sigma_x^2 + \frac{1}{3\mu} g(t_0^2) \right] = \frac{1}{\rho_0 v_0^2}, \quad (19)$$

откуда для заданной зависимости $g(t_0^2)$ без квадратуры определяется σ_x как функция от z^2 : $\sigma_x = f(z^2)$. После этого ϵ_x определяется из (17), а ϵ_0 и ϵ_r — из двух последних уравнений системы (16).

Таким образом, в рассматриваемом случае по оболочке распространяются непрерывные волны Римана, описываемые формулой (19). За волной Римана располагается область постоянных параметров, а на эту область наступает волна $x = a_{jk}t$, за которой располагается область постоянных деформаций. Волна $x = a_{jk}t$ является волной сильного разрыва как для v и P , так для σ_0 , ϵ_0 , σ_x и ϵ_r .

Согласно граничным условиям, за волной $x = a_{jk}t$ имеем:

$$\frac{du(x, t)}{dt} = v_0, \quad v(x, t) = v_0 \quad (20)$$

Условия сохранения количества движения, массы частиц оболочки и жидкости дают:

$$\rho_0 \left(a_{jk} - \frac{du_2}{dt} \right) \left(\frac{du_2}{dt} - v_0 \right) = (\sigma_{x2} - \sigma_{x1})(1 + \epsilon_{x2}) \quad (21)$$

$$\left(a_{jk} - \frac{du_2}{dt} \right) (1 + \epsilon_{x1}) = (a_{jk} - v_0)(1 + \epsilon_{x2}) \quad (22)$$

$$P = \rho_{jk0} a_{jk}^2 \left(\frac{v_0}{a_{jk}} - 2\epsilon_0 - \epsilon_0^2 \right), \quad (23)$$

где индексами 1 и 2 обозначены соответствующие величины за и впереди волны $x = a_{jk}t$, и учтено, что $\frac{du_1(x, t)}{dt} = v_0$.

Из уравнений (5), (6) и (23) без квадратуры определяются P и ϵ_0 в области $0 < x < a_{jk}t$.

К уравнениям (21)–(22) присоединяем условие на волне Римана

$$\frac{du_2}{dt} = - \int_0^{x_2} \sqrt{\frac{1}{\rho_0} \frac{\partial \sigma_x}{\partial \epsilon_x}} d\epsilon_x \quad (24)$$

и соотношения напряжение—деформация, получим замкнутую систему конечных уравнений, откуда находятся ϵ_{x1} , ϵ_{x2} , $\frac{du_2}{dt}$, σ_{x1} и σ_{x2} .

Теперь вернемся к предположению о том, что уравнение (12) или (13) не противоречит уравнениям (11). Однако если $\frac{\partial \varphi_1}{\partial \epsilon_x} > 0$ и $\frac{\partial \varphi_1}{\partial \epsilon_0} > 0$,

то согласно (13), получим, что большим значениям ϵ_x и ϵ_0 соответствует большое значение z , т. е. ϵ_x и ϵ_0 являются возрастающей однородной функцией от z^2 : $\epsilon_x = \epsilon_x(z^2)$ и $\epsilon_0 = \epsilon_0(z^2)$, откуда имеем $\epsilon_x(0) = \epsilon_0(0) = 0$, чего не может быть. Поэтому в случае $\frac{\partial \varphi_1}{\partial \epsilon_x} > 0$, $\frac{\partial \varphi_1}{\partial \epsilon_0} > 0$

уравнение (13) несовместимо с уравнениями (11). Следовательно, в этом случае система уравнений (11) не имеет решений, отличных от $\epsilon_x = \text{const}$ и $\epsilon_0 = \text{const}$, а по оболочке вместо непрерывной волны Римана распространяется ударная волна, скорость которой определяется из условий на волнах сильного разрыва. Уравнение сохранения количества движения и массы частиц оболочек на этой волне дает:

$$\rho_0 G \frac{du_2}{dt} = - \sigma_{x2} G (1 + \epsilon_{x2}) = G - \frac{du_2}{dt}, \quad (25)$$

где σ_{x2} и ϵ_{x2} связаны соотношением $\sigma_{x2} = 4\mu_1 \left(\frac{8}{3} \epsilon_{x2}^2 \right) \epsilon_{x2}$.

Таким образом, в случае распространения ударных волн имеем замкнутую систему уравнений (21), (22) и (25), откуда без квадратуры определяются ϵ_{x2} , ϵ_{x1} , $\frac{du_2}{dt}$ и G .

В заключение отметим, что при линейно-упругих деформациях помимо волны $x = a_{jk}t$ по оболочке распространяется и упругая ударная волна, а при жестко-идеально пластических деформациях лишь волна $x = a_{jk}t$.

Литература

1. Жуковский Н. Е. О гидравлическом ударе в водопроводных трубах. М., 1949.
2. Курант Г., Фридрих К. Сверхзвуковое течение и ударные волны. ИЛ,

1950. 3. Каудерер Г. Нелинейная механика. ИЛ., 1961. 4. Рахматулии Х. А., Дем'янов Ю. А. Прочность при интенсивных кратковременных нагрузках. М., 1961.

Институт математики
и механики АН Азерб. ССР

Поступило 13. IV 1982

М. Х. Илласов, Т. А. Насибов, Б. Р. Нуриев

МАЈЕ ИЛЭ ДОЛДУРУЛМУШ ГЕЈРИ-ХЭТТИ ЕЛАСТИК ӨРТҮКДЭ УЗУНУНА
ДАЛГАЛАРЫН ЏАЙЫЛМАСЫ

Мэгэлэдэ идеал сыхылан маје илэ долдурулмуш цилиндрик өртүж узунуна зэрбэ мэсэлэснэдэн бэхс олунур. Фэрз олунур ки, өртүк моментсиз, мајсний ахьны исэ бир-влчулдур.

Өртүж материалы гејри-хэтти еластик гэбүл олнимушдур:

Мэсэлэснин аналитик нээлти талыдмыш, Риман вэ зэрбэ далгаларынын јајылма шартлэри мүёжэнлэшдирлишидир.

М. Н. Iljasov, T. A. Nasibov, B. R. Nuriyev

PROPAGATION OF LONGITUDINAL WAVES IN THE
NON-LINEAR ELASTIC SHELL FILLED WITH LIQUID

The paper deals with the problem of longitudinal impact to a cylindrical shell filled with the ideal compressible liquid. The stresses, strains in shell and the velocity of the liquid depend on one spatial variable and on time.

The shell is supposed as a non-moment one. Stress-strain relations of the material of shell are non-linear. The analytical solution of the problem is found. Besides, the condition of existence of Riemann waves and shock waves is obtained.

АЗЭРБАЙЧАН ССР ЕЛМЛЭР АКАДЕМИЯСЫНЫН МЭРҮЗЭЛЭРИ

ДОКЛАДЫ АКАДЕМИИ НАУК АЗЕРБАЙДЖАНСКОЙ ССР

ТОМ XL ЧИЛД

№ 7

1984

УДК 621.315.592

ФИЗИКА ПОЛУПРОВОДНИКОВ

Р. А. АЛИЕВ, Г. Д. ГУСЕЙНОВ, Р. М. САРДАРЛЫ

СТРУКТУРНЫЙ ФАЗОВЫЙ ПЕРЕХОД В СИСТЕМЕ
ТВЕРДЫХ РАСТВОРОВ $TiGa_xIn_{1-x}Se_2$

(Представлено академиком АН Азербайджанской ССР М. И. Алиевым)

Первые указания на существование ФП в системе твердых растворов $TiGa_xIn_{1-x}Se_2$ даны в работе [1]. В [2] показано, что $TiGaSe_2$ и $TiInSe_2$ образуют твердые растворы $TiGa_xIn_{1-x}Se_2$ с разрывом сплошности при концентрации 40–55 мол. % $TiGeSe_2$ ($0.4 < X < 0.55$). Исследуемые образцы выращены по методике, описанной в [2].

Спектры КРС растворов с $0.3 > X \geq 0$ исследовались в диапазоне частот $15-400 \text{ cm}^{-1}$ при возбуждении линией $1,064 \text{ мкм } YAG:Nd^{3+}$ лазера непрерывного действия, регистрировались с помощью спектрофотометра ДФС-12. Приемником излучения служил охлаждаемый ФЭУ-83. Спектры рассеяния твердых растворов $TiGa_xIn_{1-x}Se_2$ при $1 > X > 0.5$ возбуждались линией $0,6328 \text{ мкм He-Ne}$ лазера, регистрировались с помощью спектрофотометра ДФС-24. В качестве приемника излучения служил ФЭУ-79. Разрешение в обоих случаях было не хуже 2 см^{-1} . Измерения проводились в правоугольной геометрии рассеяния в неполяризованном свете при комнатной температуре.

Спектры отражения измерялись при комнатной температуре при помощи вакуумных спектрометров FIS=3 (в спектральной области $400-100 \text{ см}^{-1}$) и Фурье спектрометра FS=720 (в области частот $200-20 \text{ см}^{-1}$). Разрешение во всей спектральной области было не хуже 2 см^{-1} . Точность определения частот 2 см^{-1} .

Спектры отражения обрабатывались стандартным анализом Крамера–Кронига, частоты продольных (LO) фононов определялись из максимумов функции $Jm[-\epsilon^{-1}(\omega)]$, а частоты ТО фононов находились из максимумов минимой части (ϵ_2) диэлектрической проницаемости.

Измерения проводились в поляризованном свете при геометриях отражения $\vec{E} \parallel \vec{C}$ и $\vec{E} \perp \vec{C}$ (\vec{E} —электрический вектор световой волны, \vec{C} —оптическая ось кристаллов).

Как видно из рис. 1, частоты фононов от состава твердого раствора изменяются слабо.

При $0 < X \leq 0.3$ все спектры идентичны и имеют те же особенности, что и чистый $TiInSe_2$. И в то же время спектр драматически меняется в случае, когда x принимает значения $1 \geq X \geq 0.5$. В этой области концентраций спектры рассеяния идентичны спектрам КР $TiGaSe_2$. Линии в спектрах КРС при $x = 0.9; 0.8; 0.7; 0.6; 0.5$ слегка размыты (в сравнении с $TiGaSe_2$), что связано, по-видимому, с влиянием разупорядоченности кристаллической решетки смешанного

кристалла, при этом относительные интенсивности пиков остаются лензменными. Спектры КР смешанных кристаллов $TiGa_xIn_{1-x}Se_2$ проявляют все особенности твердых растворов с одномодовым характером перестройки оптических мод. Наши результаты в основном

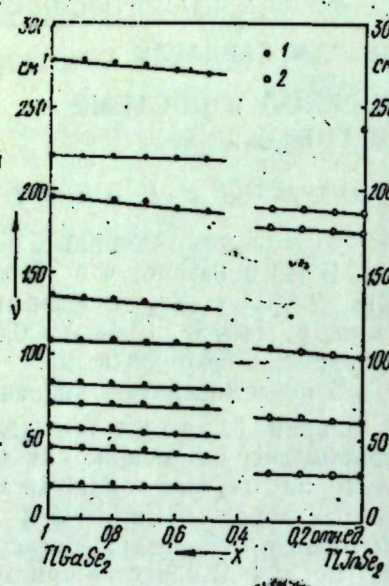


Рис. 1. Зависимость частот оптических фононоз, активных в спектрах КР от состава твердых растворов $TiGa_xIn_{1-x}Se_2$: 1—частоты фононоз, полученные при возбуждении линией $0,6238 \text{ мкм He-Ne}$ лазера; 2—частоты фононоз, полученные при возбуждении линией $1,064 \text{ YAl:Nd}^{3+}$ лазера

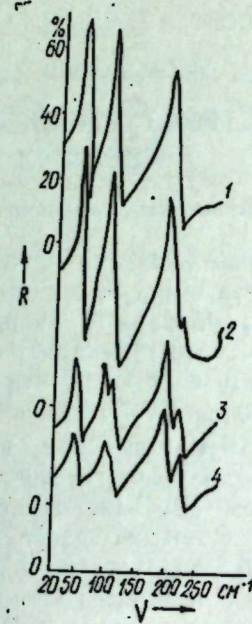


Рис. 2. Спектры отражения твердых растворов $TiGa_xIn_{1-x}Se_2$ ($0 < x < 0,3$), снятые при $T = 300 \text{ K}$ в поляризации $\vec{E} \perp \vec{C}$ ($1-x=0$; $2-x=0,1$; $3-x=0,2$; $4-x=0,3$)

согласуются с данными работы [1]. По данным авторов статьи отличается лишь концентрационная область структурного ФП при $0,5 > X \geq 0,3$, а по данным [1]—при $0,65 > X > 0,25$. При значении $x=0,5$ в спектре КР исчезает линия с частотой 20 см^{-1} . В спектрах со значениями $x = 1; 0,9; 0,8; 0,7; 0,6$ линия частотой 20 см^{-1} достаточно сильна.

Исчезновение линии на частоте 20 см^{-1} при $x=0,5$ можно объяснить, если предположить, что при этой концентрации происходит упорядочение катионной подрешетки твердого раствора, т. е. происходит последовательное замещение Ga на In в смешанном кристалле $TiGa_{0,5}In_{0,5}Se_2$. Это равносильно тому, что элементарная трансляция вдоль оси z уменьшится вдвое, т. е. элементарная ячейка кристалла с $x=0,5$ будет $\frac{C}{2}$, где C —длина псевдотетрагональной ячейки $TiGaSe_2$.

При этом зона Бриллюэна (ЗБ) кристалла $TiGa_{0,5}In_{0,5}Se_2$ удвоится и колебание на частоте 20 см^{-1} из центра ЗБ “перекинется” на край

зоны II не будет активным в спектре КР. Кристаллы со слоистым типом структуры в направлении (001) , слабо дисперсионны [7] и поэтому такое удвоение ЗБ на высокочастотных колебаниях не скажется. В твердом растворе с $x=0,5$ должна исчезнуть ИК активная низкочастотная линия $\omega = 15 \text{ см}^{-1}$ [8], которая также должна стать акустической.

Основные экспериментальные результаты по измерениям спектров ИК-отражения твердыми растворами $TiGa_xIn_{1-x}Se_2$ следующие.

1. Спектры ИК-отражения, отснятые в геометрии $\vec{E} \parallel \vec{C}$ при $0 \leq x \leq 0,3$, проявляют одномодовый характер. В спектрах исследованных образцов не наблюдаются взгорания новых линий.

2. Спектры решеточного отражения твердых растворов $TiGa_xIn_{1-x}Se_2$, снятые в поляризации $\vec{E} \perp \vec{C}$ (рис. 3, 4) носят многомодовый характер. В спектрах отражения при $x \leq 0,3$ наблюдаются локальные [3] колебания на частоте $\omega_{\text{to}} = 220 \text{ см}^{-1}$ (здесь и далее

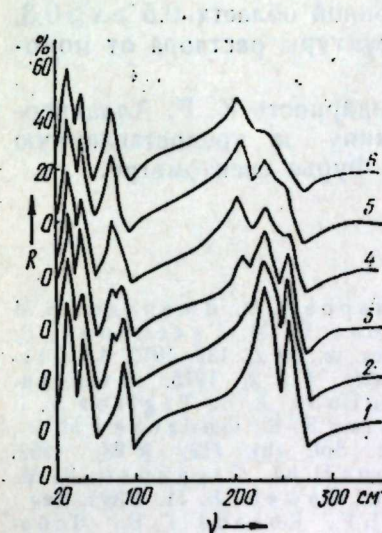


Рис. 3. Спектры отражения твердых растворов $TiGa_xIn_{1-x}Se_2$ ($0 < x < 0,5$), снятые при $T=300 \text{ K}$ в геометрии $\vec{E} \perp \vec{C}$: $1-x=1$; $2-x=0,9$; $3-x=0,8$; $4-x=0,7$; $5-x=0,6$; $6-x=0,5$

будет указана частота только гопречного фонока) и резонансное [3] колебание с частотой $\omega_{\text{to}} = 112 \text{ см}^{-1}$.

3. В спектрах отражения растворов $TiGa_xIn_{1-x}Se_2$ при значениях $x \geq 0,5$ наблюдаются два щелевых колебания на частотах $\omega_{\text{to}} = 202 \text{ см}^{-1}$ и $\omega_{\text{to}} = 72 \text{ см}^{-1}$.

4. Продольно-поперечное расщепление фундаментальных колебаний $TiInSe_2$ (колебания с частотами 100 и 190 см^{-1}) при $x=0,3$ умень-

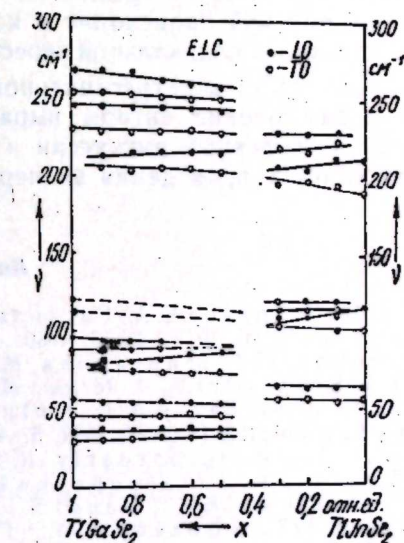


Рис. 4. Зависимости частот оптических фононоз от состава твердых растворов в геометрии $\vec{E} \perp \vec{C}$

шается (рис. 4), а дальнейшее увеличение x попадает в область, где отсутствует растворимость и при $x = 0,5$ спектр радикально меняется, что связано с ФП из группы симметрии D_{4h}^{18} $TlInSe_2$ в группу симметрии $TlGaSe_2$ (G_{2h}^6). В то время как при $X \rightarrow 0,3$ силы осцилляторов падают и растет затухание фонов с частотами $\omega_{\text{то}} = 100$ и 190 cm^{-1} , становятся более интенсивными примесные колебания.

5. В спектре отражения растворов $TlGa_xIn_{1-x}Se_2$ при $x \geq 0,5$ кроме двух щелевых колебаний наблюдается 6 полос остаточных лучей, характерных для $TlGaSe_2$.

6. Низкочастотные моды в обеих концентрационных областях имеют одномодовый тип перестройки частот. Это характерно для всех твердых растворов на основе халькогенидов таллия, индия и галлия со слоистой и цепочечной структурами [4, 5, 6].

Таким образом, экспериментальные результаты по исследованию КРС-и ИК-отражения твердыми растворами $TlGa_xIn_{1-x}Se_2$ свидетельствуют о том, что исследуемые твердые растворы претерпевают ФП с уменьшением вдвое элементарной ячейки в направлении (001) при значении $x = 0,5$ по сравнению с $x = 1$.

Второй ФП происходит в концентрационной области $0,5 \geq x \geq 0,3$, что связано с radicalной перестройкой структуры раствора от моноклинной (C_{2h}^6) к тетрагональной (D_{4h}^{18}).

В заключение авторы выражают благодарность К. Р. Аллахвердиеву за полезные дискуссии и Г. Н. Жижину за предоставленную возможность проведения экспериментов на Фурье спектрометре.

Литература

1. Виноградов Е. А., Гасанлы Н. М., Гончаров А. Ф., Джавадов Б. М. Тагиров В. И. ФТГ, 22, 3, 1980. 2. Бидзинова С. М., Гусейнов Г. Д. Гусейнов Г. Г., Заргарова М. И. Азерб. хим. ж., № 2, 133, 1973. 3. Varker A. S., Stevens A. J. Reviews of Modern Physics, 47, 2, 1975. 4. Gasanly N. M., Goncharov A. F., Melnik N. N., Ragimov A. S., Tagirov V. I. Phys. Stat. Sol. (b), 116, 427, 1983. 5. Allahverdiev K. R., Godzhaev M. M., Nadzhafov A. U., Sardarly R. M. Phys. Stat. Sol. (b), 112, k 93, 1982. 6. Алиев Р. А., Аллахвердиев К. Р., Сафаров Н. Ю. Сардарлы Р. М. ФТГ, 25, 3, 904, 1983. 7. Jandl S., Biegler J. L., Powel B. M. Phys. Rev., 1313, 686, 1976., 8 Волков А. А., Гончаров Ю. Г., Козлов Г. В., Лебедев С. П., Прохоров А. М. Алиев Р. А., Аллахвердиев К. Р. Письма в ЖЭТФ, 37, 11, 517, 1983.

Институт физики АН

Поступило 24. X 1983

Р. Э. Элиев, Н. Д. Гусейнов, Р. М. Сардарлы

$TlCa_xIn_{1-x}Se_2$ БЭРК МӘҮЛУЛЛАР СИСТЕМИНДӘ СТРУКТУР ФАЗА КЕЧИДИ

Мәгәләдә $TlCa_xIn_{1-x}Se_2$ системинде инфрагырмизы вә комбинацион спилимә спектрләриниң тәдгигинин иетичәләри барадә мә'лumat верилмишdir. Көстәрилмишdir ки, концентрасијаны $0,5 > X > 0,3$ гијмәтләриндә гәфесин спектринин радикал дајишишеси баш верир ки, бу да структур фаза кечиди илә элагәрдәрдир.

R. A. Aliev, G. D. Guseinov, R. M. Sardarly

THE STRUCTURAL PHASE TRANSFORMATION IN $TlGa_xIn_{1-x}Se_2$ SOLID SOLUTIONS SYSTEM

In this work the results of infrared and Raman scattering investigation of $TlGa_xIn_{1-x}Se_2$ solid solution system are reported where $1 > x > 0,5$ and $0 > x > 0,3$. It is shown that the fundamental reconstruction of vibration spectra in $0,5 > x > 0,3$ concentration is connected with structural phase transformation. It is supposed, that the disorder of cation under lattice leads to twice as little unit cell of $TlGa_{0,5}In_{0,5}Se_2$ crystal in comparison with $TlGaSe_2$ in (001) direction.

УДК 621.315.592

ФИЗИКА ПОЛУПРОВОДНИКОВ

Акад. Э. Ю. САЛАЕВ, В. К. МАМЕДОВ, Х. Д. ДЖАЛИЛОВА, Э. И. КУРБАНОВА,
А. Ш. АБДИНОВ

РАЗОГРЕВ НОСИТЕЛЕЙ ТОКА В ЭПИТАКСИАЛЬНЫХ ПЛЕНКАХ

 $n = Pb_{0.82}Sn_{0.18}Te$ СИЛЬНЫМ ЭЛЕКТРИЧЕСКИМ ПОЛЕМ СВЧ

Несмотря на то, что тонкие пленки узкозонных полупроводников $Pb_{1-x}Sn_xTe$ являются весьма перспективными материалами для твердотельной микро- и оптоэлектроники, к настоящему времени многие их физические свойства (механизмы генерации, рекомбинации, расщепления носителей и т. п.) изучены крайне недостаточно.

В данной работе сообщается о влиянии сильного электрического поля на электропроводность монокристаллических эпитаксиальных слоев $n = Pb_{0.82}Sn_{0.18}Te$, выращенных методом фотостимулированной эпитаксии на плоскопараллельных диэлектрических подложках BaF_2 [III], {100}. Монокристаллы $Pb_{1-x}Sn_xTe$ и подложка BaF_2 имеют близкие электрофизические параметры. Для $Pb_{0.8}Sn_{0.2}Te$ постоянная решетки $a_0 = 6,43 \text{ \AA}$, коэффициент термического расширения $\alpha = 2 \cdot 10^5 \text{ град}^{-1}$, коэффициент теплопроводности $\kappa = 0,018 \text{ кал/град\cdot см\cdot сек}$. Соответствующие значения для BaF_2 равны: $a_0 = 6,196 \text{ \AA}$, $\alpha = 1,84 \cdot 10^5 \text{ град}^{-1}$, $\kappa = 0,017 \text{ кал/град\cdot см\cdot сек}$.

С целью снижения концентрации носителей тока и уменьшения вакансий из-под металла Pb в $Pb_{1-x}Sn_xTe$, исследуемые слои в процессе роста легировались донорной примесью (индием) в количестве $0,3 \div 0,7 \text{ ат. \%}$. Измерения полуширины рентгенодифракционных кривых и кривых качания показали, что структурное совершенство легированных индием эпитаксиальных слоев $Pb_{1-x}Sn_xTe$ находится на уровне лучших монокристаллов, выращенных из газовой фазы [1]. Концентрация (n) и подвижность свободных носителей (μ) в исследуемых эпитаксиальных слоях определены из измерений постоянной Холла методом Ван-дер-Пауэ и электропроводности (σ) [2]. Оказалось, что при 77 K $n = 4 \cdot 10^{16} \div 10^{17} \text{ см}^{-3}$, $\mu \sim 10^4 \text{ см}^2/\text{В}\cdot\text{с}$, $\sigma = 83 \text{ Ом}^{-1} \text{ см}^{-1}$ ($T = 77 \text{ K}$). Изученные образцы имели размеры и сопротивления $\sim 5 \cdot 10^{-3} \div 3 \cdot 10^{-2} \text{ мм} \times 0,5 \text{ мм} \times 10 \text{ мм}$ и 120 Ом , соответственно. Измерения зависимости электропроводности от напряженности сильного электрического поля производились по интегральной СВЧ методике [3] на описанной в [4] экспериментальной установке. При этом длительность прямоугольных СВЧ импульсов равнялась $\sim 2,0 \text{ мкс}$, а токовые контакты образца находились вне сильного поля. Последнее позволяло исключить влияние контактных явлений на зависимость электропроводности от напряженности СВЧ поля. Амплитуда, длительность и частота тянувших электрических импульсов не превыша-

ли $40 \div 60 \text{ В/см}$, 8 мкс и 6 Гц , соответственно. Применяемая измерительная техника позволяла варьировать напряженность СВЧ ($\lambda \approx 3 \text{ см}$) электрического поля (E) плавно от нуля до $\sim 10^4 \text{ В/см}$. Образцы вместе с волноводом находились в специальном криостате, который

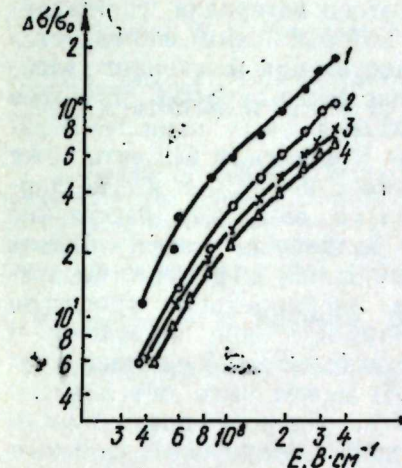


Рис. 1. Зависимость относительного изменения электропроводности от напряженности сильного электрического поля при различных температурах.

$T, \text{ K}: 1 - 77; 2 - 120; 3 - 150;$
 $4 - 177; 5 - 200$

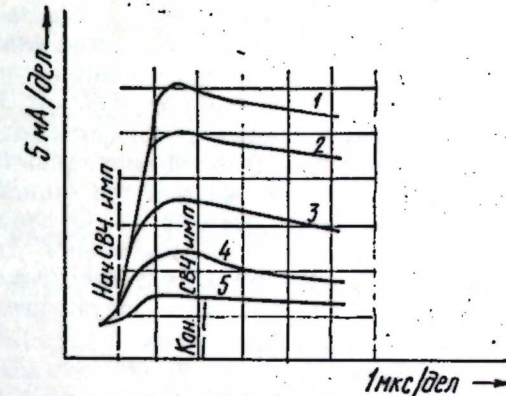


Рис. 2. Кинетика тока при различных напряженностях электрического поля $E, \text{ В/см}$: 1 - $3.5 \cdot 10^3$; 2 - $2.5 \cdot 10^3$; 3 - $1.5 \cdot 10^3$; 4 - $8.5 \cdot 10^2$; 5 - $5.8 \cdot 10^2$. $T = 77 \text{ K}$.

позволял изменять температуру в пределах $77 \div 200 \text{ K}$ путем испарения жидкого азота. Температура образца измерялась термопарой медь—константан. Экспериментально снимались зависимости относительного изменения электропроводности $\Delta\sigma/\sigma_0$, где $\Delta\sigma = \sigma - \sigma_0$ а σ и σ_0 — удельные электропроводности при сильных и слабых электрических полях соответственно и кинетика неравновесной проводимости (возбужденной сильным полем избыточной проводимости) от напряженности электрического поля СВЧ при различных температурах (см. рис. 1 и 2 соответственно). Как видно из рис. 1, с ростом E электропроводность изучаемых эпитаксиальных слоев увеличивается по квадратичному и линейному законам при относительно низких ($E < 10^3 \text{ В/см}$) и более высоких ($E > 10^3 \text{ В/см}$) полях, соответственно. Из рис. 2 следует, что в изучаемых нами образцах при низких температурах релаксация неравновесной проводимости после прекращения импульса СВЧ поля имеет медленный характер. При этом время релаксации оказывается зависимым от напряженности поля и с ростом E оно увеличивается. В этом случае процесс нарастания неравновесной проводимости при включении импульса сильного электрического поля тоже более инерционный, чем в случае разогрева носителей в пространственно однородных полупроводниках ($\tau_n < 10^{-10} \text{ с}$). С ростом температуры в изучаемых нами образцах исчезал медленно-релаксирующий характер процесса нарастания и спада неравновесной проводимости при включении и выключении СВЧ импульса, соответственно.

Переходя к обсуждению полученных результатов, прежде всего следует отметить, что обнаруженная нами зависимость σ от E в эпитаксиальных слоях $n\text{-Pb}_{0.82}\text{Sn}_{0.18}\text{Te}$ не связана с примесными или межзонными пробоями при воздействии сильного электрического поля, так как ширина запрещенной зоны этого материала составляет $E_g \approx 0,13$ эВ и напряженность поля, при которой нами наблюдается зависимость $\sigma(E)$, недостаточна для осуществления межзонального электрического пробоя [5]. Возможность пропуска сильного пробоя при этом исключается вследствие того, что при рассмотренных нами температурах все примесные уровни ионизированы. Контактные эффекты тоже не могут привести к обнаруженной зависимости $\sigma(E)$, т. к., во-первых, контакты находятся вне сильного поля, а, во-вторых, расстояние от контактов до активной (находящейся в волноводе) части образца составляет 3 мм и оказывается больше чем длина диффузии носителей в изучаемом материале. Ослабление инерционности процессов нарастания и спада неравновесной проводимости при включении и выключении СВЧ поля соответственно с ростом E и T противоречат тому, что обнаруженная зависимость $\sigma(E)$ может быть обусловлена джоулевым нагревом. Нами предполагается, что рост проводимости эпитаксиальных слоев $n\text{-Pb}_{0.82}\text{Sn}_{0.18}\text{Te}$ при воздействии сильного электрического поля обусловлен разогревом носителей тока электрическим полем при условиях рассеяния их на ионах примесей, т. к., концентрация примесных ионов в изучаемых образцах достаточно высока (концентрация нескомпенсированных носителей $\sim 10^{17} \text{ см}^{-3}$), и зависимость $\sigma(E)$ наблюдается при тех полях, которые превышают критическую напряженность (минимальную напряженность поля, при которой начинается разогрев) электрического поля для исследуемого материала [6]. В рамках этого предположения несколько непонятным остается большая (относительно 10^{-10} с) инерционность процессов нарастания и спада неравновесной проводимости. Однако следует отметить, что из-за введения при выращивании в большом количестве донорных атомов эпитаксиальные слои $n\text{-Pb}_{0.82}\text{Sn}_{0.18}\text{Te}$ являются сильно компенсированными, наличие флюктуации потенциала в которых очевидно [7]. По-видимому, аналогично сказанному в [8], "горячие" носители тока, преодолевая потенциальный барьер на границе низко- и высокоомных частей образца попадают в высокоомную часть, а после выключения греющего поля медленно высасываются обратно (в низкоомную часть). Поэтому наблюдается медленная релаксация неравновесной проводимости. При высоких температурах уменьшается роль потенциального рельефа и медленный характер релаксации исчезает. В пользу этого предположения свидетельствуют и результаты по фотоэлектрическим свойствам исследуемых образцов [9].

Литература

1. Norligror D. A. J. Electrochem. Soc., 118, 8, 1365, 1971.
2. Джалилов Х. Д., Курбанова Э. И. Изв. АН Азерб. ССР, серия физ.-тех. и матем. наук, 2, 83, 1982.
3. Денис В., Пожела Ю. Горячие электроны. Вильнюс: Минтис, 1971.
4. Ахундов Г. А., Абдинов А. Ш., Мехтиев Н. М., Кязимзаде А. Г. ФТП, т. 7, с. 2030, 1973.
5. Стильбанс Л. С. Физика полупроводников. М.: Сов. радио, 1967.
6. Конуэлл Э. Кинетические свойства полупроводников в сильных электрических полях. М.: Мир, 1971.
7. Виноградов В. С., Воронова И. Д., Колюжная Т. А., Рагимова Т. Ш., Шотов А. П. Письма в ЖЭТФ, т. 32,

вып. 1, с. 22, 1980.

8. Абдинов А. Ш., Мамедов В. К., Нуруллаев Ю. Г. ФТП, 15, 521, 1981.

9. Вул Б. А., Воронова И. Д., Гришечкина С. П., Рагимова Т. Ш. Письма в ЖЭТФ, т. 33, вып. 6, с. 346, 1981.

Поступило 31. III 1983

Е. Й. Салаев, В. К. Мамедов, Х. Д. Чалилова, Е. И. Курбанова, Э. Ш. Абдинов

$n\text{-Pb}_{0.82}\text{Sn}_{0.18}\text{Te}$ ЕПИТАКСИАЛ МОНОКРИСТАЛЛИК ТӘБӘГӘЛӘРИНДӘКИ
ЖҮКДАШЫҚЧЫЛАРЫНЫҢ ИЖТІККІЛІКТЕРІ

ИЛӘ ГЫЗДЫРЫЛМАСЫ

Мәгәләдә $T=77\text{:}200\text{ K}$ температур интервалында тәркіб үчүн уғуны $0,18 < X < 0,22$ монокристаллик тәбәгәләрдә гызымар жүкдашықчыларын электрик кечірілісі мүшәнінде олумыш және тәркүби оларға тәдгіг еділмішdir. Алыныш тәркүби інтиңеләрни тәйлили жаңисында бұның әсерінан ганунауғынлуглары мүәжжіләшдірілміш және онун жарайма механизмы изаһ еділмішdir.

E. Yu. Salaev, V. K. Mamedov, H. D. Djalilova, E. I. Kurbanova, A. Sh. Abdinov

CURRENT CARRIER HEATING IN $n\text{-Pb}_{0.82}\text{Sn}_{0.18}\text{Te}$ BY STRONG ELECTRIC FIELD

$n\text{-Pb}_{0.82}\text{Sn}_{0.18}\text{Te}$ monocrystal epitaxial layers are obtained by FGE and the dependence of their electrical conductivity on strong electric field strength SHF is studied at different temperatures in the region $77 < T < 200$ K. The obtained results are explained by current carrier heating by means of electric-field SHF in samples under study.

Э. К. ГУСЕЙНОВ, Ф. Н. КАЗИЕВ, А. К. МАМЕДОВ, акад. Э. Ю. САЛАЕВ,
Г. С. СЕЙДЛИ

ВЛИЯНИЕ МАГНИТНОГО ПОЛЯ НА ФОТОПРОВОДИМОСТЬ МОНОКРИСТАЛЛОВ $Cd_xHg_{1-x}Te$

В работе [1] наблюдалось увеличение сигнала фотопроводимости при закорачивании э.д.с. Холла в образцах InSb в магнитном поле. Было показано, что относительное изменение фотопроводимости полупроводникового образца в магнитном поле, в режиме постоянного тока при полном закорачивании э.д.с. Холла и Дембера определяется выражением:

$$\frac{\Delta u_{sh}}{u_{so}} = \frac{u_{sx} + u_{sd}}{u_{so}} = \frac{\mu^2 H^2}{C^2} \cdot \frac{1}{\rho_h/\rho_0} + \frac{1}{C} \cdot \frac{1}{\rho_h/\rho_0} \cdot \frac{u_{sd}}{u_{so}} \quad (1)$$

где u_{sh} и u_{so} , ρ_h и ρ_0 — фотопроводимость и удельное сопротивление соответственно в присутствии и отсутствии магнитного поля, u_{sx} и u_{sd} — напряжения, обусловленные закорачиванием э.д.с. Холла и Дембера соответственно.

Экспериментально для $n=1$ Sb при закорачивании э.д.с. Холла магнитном поле до 10 кЭ в режиме постоянного тока наблюдалось значительное увеличение сигнала фотопроводимости. В работе [2] отмечалось увеличение фотопроводимости вследствие закорачивания э.д.с. Дембера для образцов InSb:NiSb.

В данной работе исследована возможность увеличения фотопроводимости монокристаллических образцов $Cd_xHg_{1-x}Te$ ($x \approx 0,2$) n -и p -типа проводимости при закорачивании э.д.с. Холла в продольном магнитном поле. Концентрация носителей тока в исследованных образцах n -и p -типа проводимости при 80 К соответственно составляла $2,5 \cdot 10^{14}$ и $3,6 \cdot 10^{15} \text{ см}^{-3}$, а подвижности — $2,5 \cdot 10^4$ и $7,0 \cdot 10^3 \text{ см}^2/\text{в.сек.}$

Для измерений готовились образцы размером $5 \times 2 \times 0,2 \text{ мм}^3$ с удаленными нарушенными слоями.

На рис. 1 справа представлено схематическое изображение образца, геометрия которого обеспечивает ослабление, вследствие закорачивающего действия контактов, холловского поля в освещенной части образца. В эксперименте освещалась лишь средняя часть его, где холловское поле однородно.

Исследованы магнитополевая ($0,1 \div 5$ кЭ) и температурная ($80 \div 200$ К) зависимости фотопроводимости в режиме постоянного тока. Источником света служил глобар, модулированное излучение которого с выхода монохроматора SPM-2 направлялось (для исключения влияния фотомагнитной э.д.с. на фотопроводимость вдоль магнитного поля и перпендикулярно поверхности образца. С целью устранения эффектов,

связанных с неоднородностью образца и неточной ориентацией магнитного поля, измерения проводились при двух направлениях магнитного поля и тока через образец.

На рис. 1 представлены зависимости приращения сигнала фотопроводимости u_{sh}/u_{so} и продольного магнитосопротивления R_h/R_0 от

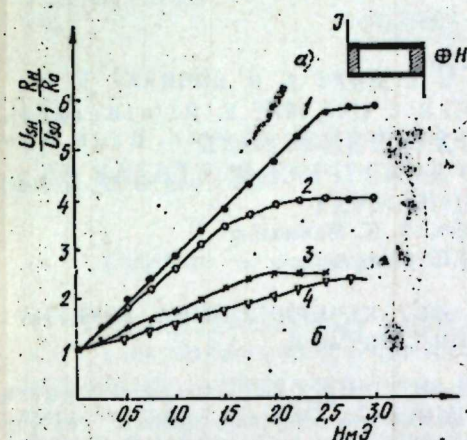


Рис. 1. а—схематическое изображение образца; б—зависимости u_{sh}/u_{so} и R_h/R_0 для образцов с проводимостью n -типа (1, 4) и p -типа (2, 3) от напряженности магнитного поля

напряженности магнитного поля при температуре 80 К для двух образцов n -и p -типа проводимости. Длина волны излучения соответствовала максимуму спектрального распределения фотопроводимости и составляла $\lambda_{max} \approx 9 \text{ мкм}$.

Как видно, для образца n -типа достигнуто почти шестикратное, а p -типа четырехкратное возрастание фотопроводимости. Эту разницу, в соответствии с выражением (1), по-видимому, можно объяснить различным значением их подвижностей носителей зарядов. Видна также пропорциональность между u_{sh}/u_{so} и R_h/R_0 , что качественно согласуется с результатами работы [3], где исследовалась отрицательная фотопроводимость образцов InSb в магнитном поле.

На рис. 2 представлены температурные зависимости u_{sh} , u_{so} в магнитном поле $H = 3$ кЭ для тех же образцов. Из рисунка видно,

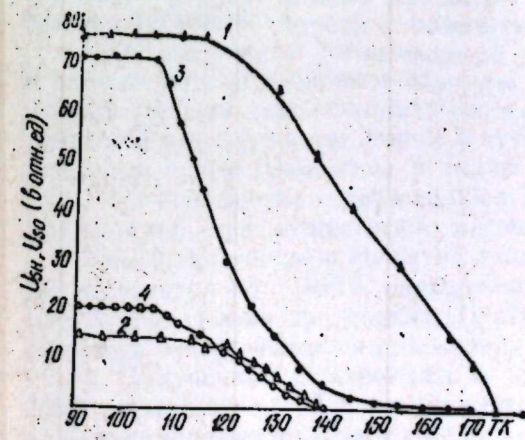


Рис. 2. Температурные зависимости u_{sh} и u_{so} для образцов n -типа (1, 2) и p -типа (3, 4) проводимости

что повышенное значение сохраняется в широком интервале температур. Проводимые измерения зависимости максимального приращения фотосигнала $\frac{u_{SH}}{u_{SO}}$ от длины волны в том же диапазоне температур, показали, что $\frac{u_{SH \max}}{u_{SO}}$ с ростом температуры сдвигается в

сторону коротких длин волн. Это связано с увеличением ширины запрещенной зоны с температурой.

Литература

1. Мосанов О., Тилкилиев С. ФТП 8, с. 1649, 1977.
2. Pfeiderer H. Phys. St. Sol., 29, с. 597, 1968.
3. Добровольский В. Н., Фан, Вань Ань ФТП, 3 с. 784, 1969.

Поступило 17. II 1983

Е. К. Исеинов, Ф. Н. Газиев, А. К. Мамедов,
Е. Я. Салаев, Г. С. Сейидли

$Cd_xHg_{1-x}Te$ МОНОКРИСТАЛЛАРЫНЫН ФОТОКЕЧИРИЧИЛИИН УЗУНУНА МАГНИТ САҢСИННИН ТӘСИРИ

Узунуна магнит саңсинде јерләшдирilmеш $Cd_xHg_{1-x}Te$ монокристалларында нола е. һ. г. гыса гапанмасы жолу илә онун фотокециричилүүнин артмасы тәчрүбى олараг тәдгиг олумушшудур. 80–140 K температур интервалында вә $H\cdot3$ kE магнит саңсинде фотосигналын 6 ләфә артмасы мүшәнидә олумушшудур.

E. Yu. Salaev, E. K. Huseynov, F. N. Kasiev, A. K. Mamedov, G. S. Seidly

THE INFLUENCE OF THE LONGITUDINAL MAGNETIC FIELD ON THE PHOTOCONDUCTIVITY OF MONOCRYSTALS $Cd_xHg_{1-x}Te$

The possibility of increasing photosensitivity in monocrystal samples $Cd_{0.2}Hg_{0.8}Te$ was experimentally investigated by shorting Hall tension. The sixfold increase of photosensitivity in magnetic fields to 8k e in large temperature range of 80–150 K was almost achieved.

АЗЭРБАЙЖАН ССР ЕЛМЛЭР АКАДЕМИЯСЫНЫН МӘРҮЗӘЛӘРИ

ДОКЛАДЫ АКАДЕМИИ НАУК АЗЕРБАЙДЖАНСКОЙ ССР

ТОМ XL ЧИЛД

№ 7

1984

УДК 621.315.592

ФИЗИКА ПОЛУПРОВОДНИКОВ И ДИЭЛЕКТРИКОВ

М. Я. БАКИРОВ, Н. А. УХИН, А. К. АБИЕВ, Ш. М. АББАСОВ, Г. М. ГАСУМОВ

ДЕЙСТВИЕ ЭЛЕКТРОННОГО ОБЛУЧЕНИЯ НА ЭЛЕКТРОФИЗИЧЕСКИЕ СВОЙСТВА ТВЕРДЫХ РАСТВОРОВ ГЕРМАНИЯ С КРЕМНИЕМ

(Представлено академиком АН Азербайджанской ССР Ч. М. Джуварлы)

1. В опубликованных работах [1–5], посвященных действию гамма- и электронного излучения на свойства твердых растворов $Ge_{1-x}Si_x$, полученные экспериментальные результаты объяснялись с позиций возникновения первичных радиационных дефектов и их последующей миграции в однородном монокристаллическом материале. При этом далеко не все имеющиеся данные удавалось объяснить с единой точки зрения, а в ряде случаев имеющиеся результаты даже противоречат друг другу.

Наиболее детальные исследования структуры таких растворов и их однородности в отношении распределения кремния и легирующей примеси сурьмы были предприняты в связи с получением таких растворов в условиях невесомости в ходе выполнения программы «Союз — Аполлон». Контрольные плавки проводились и на земле.

В этих исследованиях [6] обнаружена значительная неоднородность в распределении сурьмы в продольном и поперечном сечениях слитка. Несколько удивительным является то обстоятельство, что области максимального содержания сурьмы соответствуют областям минимального содержания кремния. Дело в том, что коэффициент сегрегации сурьмы в кремнии $[K_0 \approx (1,8 \div 2,3) \cdot 10^{-3}]$ примерно на порядок больше величины этого коэффициента в германии ($K_0 = 3 \cdot 10^{-3}$). Именно поэтому можно ожидать, что при кристаллизации сурьма будет обогащать области с повышенным содержанием Si.

Если это так, то тогда твердый раствор $Ge_{1-x}Si_x$ *n*-типа, конечно, в значительно упрощенном варианте, можно представить в виде двухфазной системы, одна большая по объему является германием с растворенным в нем кремнием, бором и сурьмой, а вторая — кремнием с растворенным в нем германием, а также бором и сурьмой. Важно подчеркнуть, что бор, всегда содержащийся в кремнии, не было специальной очистки, преимущественно насыщает германий, а сурьма кремний.

Электрофизические свойства такой двухфазной системы в диапазоне температур 80–300 K определяются положением уровня Ферми относительно уровня протекания [7]. При гелиевых температурах в таких системах обнаруживается прыжковая проводимость [8].

2. Облучению электронами с энергией ~3 MeV при температуре 100 K подвергались образцы твердого раствора $Ge_{1-x}Si_x$ электронной и дырочной проводимости с содержанием кремния 5,0; 10,0 и 15,0 ат. %.

Вместе с образцами твердого раствора облучению подвергались и образцы «чистого» германия, легированного сурьмой и галлием.

У всех образцов в процессе их облучения с помощью эффекта Холла контролировалась концентрация носителей тока. Измерения проводились при 80 К без разогрева образца. Полученные при этом результаты приведены на рис. 1, 2. По оси ординат отложен либо логарифм модуля

постоянной Холла, либо относительное изменение $\frac{\Delta P}{P_0} = [P_0 - P(\Phi)]/P_0$ концентрации дырок.

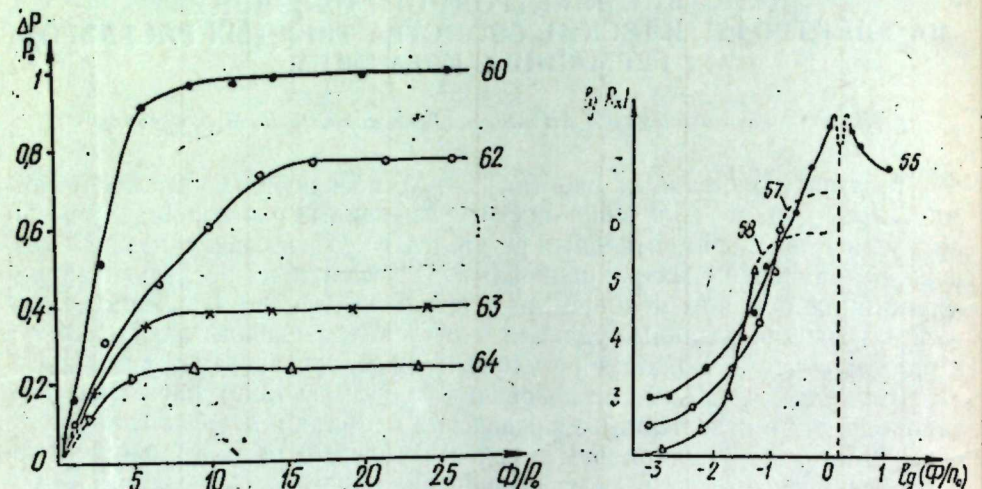


Рис. 1. Зависимость относительного изменения концентрации дырок от величины Φ/P_0 для образцов p -типа германия (№ 60), твердого раствора 5, 10, 15 ат. % Si (№ 62, 63, 64 соответственно)

Рис. 2. Зависимость коэффициента Холла от относительной интегральной дозы для различных образцов n -типа, облученных электронами при 100 К.
55—образец, легированный Sb;
57 и 58—образцы твердого раствора $Ge_{1-x} Si_x$ с 5 и 10 ат. % Si, соответственно.

Как видно из рис. 2, у образцов с исходной электронной проводимостью перед конверсией типа проводимости и окончательного приобретения ими дырочной проводимости достаточно большом диапазоне относительных интегральных потоков электронов контролировать их параметры не представлялось возможным. В этот период облучения образцы имели проводимость, близкую к собственной, в них проявлялись различного вида неустойчивости. Такое поведение имело место и у образца № 59 с концентрацией кремния в 15 ат. % буквально с самого начала его облучения, именно поэтому экспериментальные зависимости не представлены на рис. 2.

Полученные результаты по образцам твердого раствора с электронной проводимостью, по крайней мере, в качественном отношении находятся в согласии с результатами работ [2] и противоречат результатам работы [5]. Результаты по облучению твердых растворов с дырочной проводимостью ранее опубликованы не были.

3. Полученную в наших экспериментах совокупность результатов, равно как и опубликованные данные [1—5] представляется возможным объяснить, если предположить, что поверхность раздела между двумя фазами в твердых растворах и система дислокаций у этой поверхности служат эффективными стоками для междоузельных атомов, образующихся в германиевой фазе при облучении твердого раствора.

В образцах твердого раствора с дырочной проводимостью последняя в исходном состоянии осуществляется за счет германиевой фазы, преимущественно легированной бором, а также за счет акцепторных состояний, обусловленных системой дислокаций и границей раздела между фазами. В процессе облучения чистого германия, легированного примесью III группы, изменение концентрации дырок определяется как процессом вытеснения этой примеси в междоузельное пространство междуузельными атомами германия, так и образованием дефектов с участием свободных вакансий [1, 2]. В твердых растворах p -типа протекают те же процессы в германиевой фазе с той лишь разницей, что скорость изменения дырок из-за вытеснения бора в междоузлье снижается в результате дефицита междоузельных атомов. Чем больше кремния в растворе, тем более развита поверхность границы раздела между фазами и тем выше плотность дислокаций у этой границы, а следовательно, тем эффективнее срок для междоузельных атомов. Поэтому, чем выше концентрация кремния в растворе, тем меньшая относительная доля начальной концентрации дырок претерпевает радиационное изменение.

Что касается кремниевой фазы, то даже в исходном состоянии она, по-видимому, никаким образом не влияет на электрические свойства раствора, так как концентрация бора в ней существенно ниже, чем в германиевой фазе, а ширина запрещенной зоны выше. В процессе облучения изменений, происходящие в кремниевой фазе, скорее всего, аналогичны процессам в чистом кремнии, обусловливающим сдвиг уровня Ферми к середине запрещенной зоны. Различие в поведении чистого кремния и кремниевой фазы в твердых растворах $Ge_{1-x} Si_x$ может заключаться в том, что кремниевая фаза может в большей степени, чем чистый кремний насыщаться свободными вакансиями при одинаковых радиационных условиях. Причина этого в том, что образовавшиеся междоузельные атомы кремния также будут преимущественно захватываться границей раздела фаз из-за того, что на этой границе имеют место растягивающие упругие напряжения. Поэтому при одинаковых уровнях облучения относительные изменения свойств будут большими у кремниевой фазы твердого раствора, чем в чистом кремнии.

Общая картина процессов, протекающих в твердых растворах при их облучении, остается такой же и для образцов с начальной электронной проводимостью. Нужно только в этом случае иметь в виду то обстоятельство, что проводимость в исходном состоянии таких материалов осуществляется по уровню протекания кремниевой фазы. Германиевая фаза из-за того, что ее проводимость либо близка к собственной, либо даже дырочная в основном не участвует в явлениях переноса заряда. В процессе облучения проводимость в кремниевой фазе быстро падает, стремясь к собственной, а проводимость германиевой фазы становится явно дырочной, но достаточно высокоомной. Так как радиационные процессы в обоих фазах ускорены по сравнению с чистыми германием и кремнием из-за захвата междоузельных атомов границей раздела фаз и обогащения объема свободными вакансиями, с увеличением содержа-

ния в образцах твердого раствора кремния ускоряются относительные изменения концентрации носителей и проводимости (см. рис. 2).

Анализ результатов данной работы позволяет сделать следующее заключение. Твердые растворы германия с кремнием являются неоднородным материалом, который в упрощенном виде можно представить в форме двухфазной системы, одна из которых состоит из микровключений, содержащих кремний. Имеющиеся большие упругие растягивающие напряжения на границе раздела этих фаз является эффективными стоками для междуузельных атомов, что в конечном итоге и определяет поведение электрических свойств твердых растворов при их облучении.

Литература

1. Абдурахманова С. Н., Васильева Е. Д., Емцев В. В., Машовец Т. В. ФТП, т. 8, вып. 9, 1963, 1974.
2. Абрикосов Н. Х., Белокурова И. Н., Цеглярев В. Ф., Земсков В. С., Скудникова Е. В. ФТП, т. 9, вып. 10, 1969, 1975.
3. Белокурова И. Н., Сафронов Л. Н. ФТП, т. 8, вып. 4, 1974.
4. Емцев В. В., Mashovets T. V., Maximov M., Vitovski N. A. Roy. eff., 9, 181, 1971.
5. Болотова В. В., Васильев А. В., Смагулова С. А. ФТП, т. 10, вып. 10, 1981, 1976.
6. Земсков В. С., Шульнина И. Л., Титков А. Н., Белокурова И. Н., Гусева Н. Б., Сафаров В. И. ФТП, т. 21, вып. 4, 987, 1979.
7. Шкловский Б. И., Эфрос А. Л. Жур. эксперимент. и теоретич. физики, т. 60, вып. 2, 867, 1972.
8. Гельмонт Б. Л., Гаджиев А. Р., Шкловский Б. И., Шлимак И. С., Эфрос А. Л., ФТП, т. 8, вып. 12, 2377, 1974.

Сектор радиационных исследований АН Азерб. ССР

Поступило 11. III 1983

М. Я. Бакиров, Н. А. Ухин, Э. Г. Эбиев, Ш. М. Аббасов, Г. М. Гасымов

КЕРМАНИУМЛА СИЛИСИУМУН БЭРК МЭЙЛУЛЛАРЫНЫН ЕЛЕКТРОФИЗИКИ ХАССЭЛЭРИНЭ ЕЛЕКТРОН ШУАЛАНМАСЫНЫН ТЭСИРИ

Керманиумла силисиумун бэрк мэйлулларынын шуаландырылмасындан алынмыш тэчрүбү иетигчилэр ва бу саңада эдебијатга мэйлум олан анализээр эсасында көстәрли мэйлулларда радиасија процессләри учун модел тәклиф олунмушдур.

Модел, бэрк мэйлулларын яңа силисиумла, яңа да керманиумла зәнициләшмиш областлардан тәшкил олунмуш бирчинали олмајан гуруулуша малик олмасына эсасланыр. Бу областлардың бир-бүрнендән аյыран сәрәндләр шуаланма просессида яранан дүйүләрасы атомларын эффектив топлама јерләри ролуну ојнајыр. Бу атомларын удулма во кристалын һәмийн сәрбәст вакансияларла зәнициләшмә просеси керманиумла силисиумун бэрк мэйлулларында баш верән радиасија процессләринин хүсүсүј-әтгәрлий тәҗрибә сидир.

M. Ya. Bakirov, N. A. Ukhin, A. K. Abiyev, Sh. M. Abbasov, G. M. Gasymov

THE ELECTRONIC IRRADIATION ACTION ON ELECTROPHYSICAL PROPERTIES OF GeSi SOLID SOLUTIONS

On the strength of experimental results and analysis of issued data on the irradiation examples of GeSi solid solution the model of irradiation processes on these materials is given. The model is based on the structural nonhomogeneous solid solution presentation consisting of Ge or Si rings. The boundary between these ranges serves the effective flow for the interstitialcy of the atoms which are formed in the irradiated process. The intensive absorption and enrichment of the crystal capacity by free-vacancy define the irradiation process peculiarities in GeSi solid solution.

АЗЭРБАЙЧАН ССР ЕЛМЛЭР АКАДЕМИЈАСЫНЫН МӘРҮЗӘЛӘРИ

ДОКЛАДЫ АКАДЕМИИ НАУК АЗЕРБАЙДЖАНСКОЙ ССР

ТОМ XL ЧИЛД

№ 7

1984

УДК 621.315.592

ФИЗИКА ПОЛУПРОВОДНИКОВ И ДИЭЛЕКТРИКОВ

В. И. ИВАНОВ-ОМСКИЙ, Р. Б. РУСТАМОВ, В. А. СМИРНОВ, Ш. У. ЮЛДАШЕВ

ИССЛЕДОВАНИЕ ФОТОЛЮМИНЕСЦЕНЦИИ В $Cd_xHg_{1-x}Te$ С ИСПОЛЬЗОВАНИЕМ СВЯЗАННЫХ ЭКСИТОНОВ

(Представлено академиком АН Азербайджанской ССР Э. Ю. Салаевым)

Авторами работы [1] сообщается о наблюдении в спектре фотолюминесценции (ФЛ) $Cd_xHg_{1-x}Te$ ($X \approx 0,3$) достаточно узких линий с полушириноой порядка ~ 1 мэВ. Эти линии обусловливаются ими рекомбинацией экситонов, связанных на глубоких нейтральных акцепторных центрах. Зависимость интенсивности излучения связанных экситонов от интенсивности оптической накачки имеет суперлинейный характер. С другой стороны, эффективная масса электронов в $Cd_xHg_{1-x}Te$ (при $X \approx 0,3$) достаточно мала, т. е. имеет значение $m_e \approx 0,018 m_0$. Поэтому линии излучения в магнитном поле перестраиваются в коротковолновую сторону в большом спектральном диапазоне.

Все эти факты дают убедительные основания использовать эти экситонные линии как источник возбуждения для исследования ФЛ.

Эксперименты проводились при $T = 4,2$ К на пропусканье. Брали два образца, у которых ширина запрещенной зоны очень близка. Исследуемые образцы имели электронный тип проводимости, концентрацию электронов $n \approx 13 \text{ см}^{-3}$.

Методика исследования ФЛ была аналогичной описанной в работе [2]. Некоторые изменения в методике были только в расположении образцов. Над гетеролазером $C_{x}Al_{1-x}As$, который использовался для оптической накачки, был установлен образец $Cd_xHg_{1-x}Te$, имеющий меньшую энергию кванта (обр. II). Гетеролазер и образец $Cd_xHg_{1-x}Te$ (обр. II) находились внутри сверхпроводящего соленоида, который позволял получать магнитные поля напряженностью вплоть до 80 кЭ. Второй образец $Cd_xHg_{1-x}T$ (обр. I) с большей энергией кванта был установлен над первым образцом $Cd_xHg_{1-x}Te$ вне сверхпроводящего соленоида.

На рис. 1, а показан спектр ФЛ образца $Cd_xHg_{1-x}Te$ с большой энергией кванта, а на рис. 1, б—спектры ФЛ образца с меньшей энергией кванта при нулевом, а также при 40,80 кЭ соответственно. В этих случаях оптическое возбуждение осуществлялось полупроводниковым гетеролазером $C_{x}Al_{1-x}As$.

Как видно из рис. 1, б, спектр ФЛ при нулевом магнитном поле состоит из двух узких линий. С увеличением напряженности магнитного поля линии смещаются в коротковолновую сторону и наблюдают-

ся спад интенсивности излучения. При $H=80$ кЭ спектр ФЛ состоит из одной узкой линии.

Экситонные линии обр. II появляющиеся при оптическом возбуждении гетеролазером $\text{Ga}_x\text{Al}_{1-x}\text{As}$, в свою очередь являются источниками

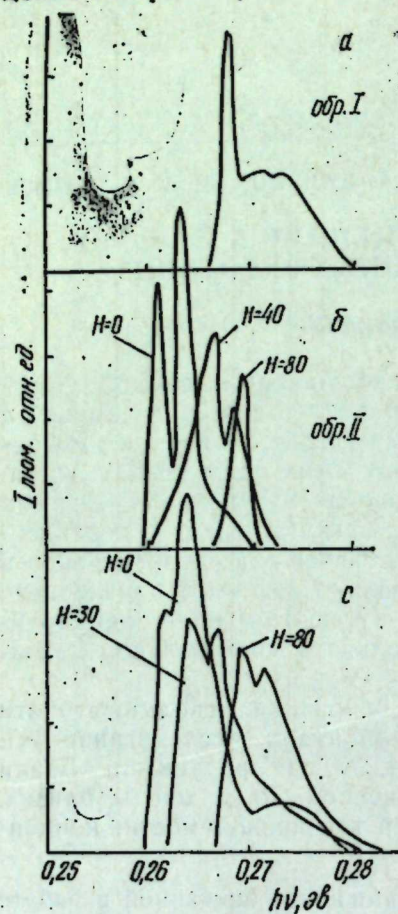


Рис. 1. а—спектр ФЛ образца $\text{Cd}_x\text{Hg}_{1-x}\text{Te}$ с меньшей энергией кванта (обр. I); б—спектр ФЛ образца $\text{Cd}_x\text{Hg}_{1-x}\text{Te}$ с большой энергией кванта (обр. II); в—спектр ФЛ обр. I и II при различных значениях магнитных полей

при возбуждении для обр. I. На рис. 1, в показаны спектры ФЛ при различных напряженностях магнитных полей. Как уже ранее сообщалось, обр. II находился внутри сверхпроводящего соленоида. Увеличение напряженности магнитного поля способствует увеличению энергии кванта обр. II (рис. 1, б). В спектре ФЛ (рис. 1, в) существуют линии и обр. I, II. При $H=80$ кЭ линия излучения состоит из трех полос—длинноволновая полоса, соответствующая обр. II и две коротковолновые полосы, соответствующие обр. I.

На рис. 2 показаны спектры ФЛ образца $\text{Cd}_x\text{Hg}_{1-x}\text{Te}$ при оптическом возбуждении гетеролазером $\text{Ga}_x\text{Al}_{1-x}\text{As}$, а также спектры ФЛ

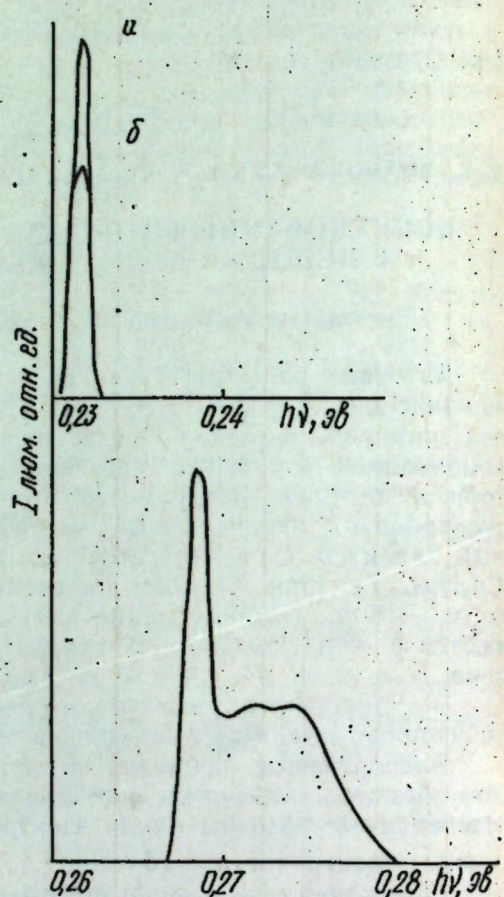


Рис. 2. Спектр ФЛ $\text{Cd}_x\text{Hg}_{1-x}\text{Te}$ при возбуждении гетеролазером $\text{Ga}_x\text{Al}_{1-x}\text{As}$ (а) и связанными экситонами (б)

возбуждаемые $\text{Cd}_x\text{Hg}_{1-x}\text{Te}$, имеющие больший квант энергии, чем исходный образец $\text{Cd}_x\text{Hg}_{1-x}\text{Te}$. Как видно из рис. 2, формы спектров абсолютно не изменились. В этом случае также для возбуждения использовался полупроводниковый гетеролазер $\text{Ga}_x\text{Al}_{1-x}\text{As}$. После преобразования излучения образцом $\text{Cd}_x\text{Hg}_{1-x}\text{Te}$, связанными экситонами возбуждался образец с меньшим квантом энергии.

Проведенные эксперименты убедительно показали возможность применения связанных экситонов $\text{Cd}_x\text{Hg}_{1-x}\text{Te}$ в спектроскопии. Можно также использовать эти линии в качестве преобразователя излучения в достаточно большом спектральном диапазоне.

Литература

- Иванов-Омский В. И., Курбанов К. Р., Мальцева В. А., Смирнов В. А., Юлдашев Ш. У. ФТП, 1983, т. 17, вып. 1, с. 27. 2. Гельмонт Б. Л., Иванов-Омский В. И., Мальцева В. А., Смирнов В. А. ФТП, 1981, т. 15, вып. 6, с. 1109.

Физико-технический
институт им. А. Ф. Ноффе

Поступило 30. IV 1984

В. И. Иванов-Омский, Р. Б. Рустемов, В. А. Смирнов, Ш. У. Юлдашев

ЭЛАГЭЛИ ЕКСИТОНЛАРЫНЫ ИСТИФАДА ЕДИЛМЭСИЛЭ $\text{Cd}_x\text{Hg}_{1-x}\text{Te}$ ДЭ ФОТОЛУМИНЕССЕНСИЯНЫН ТЭДГИГИ

Мэгелэдээ элагэли экситонларын шуаландырычы рекомбинацијасынын фотолуминесценсијанын ($\text{Cd}_x\text{Hg}_{1-x}\text{Te}$ =дэ оптик төсирләнмәсү учун истифада едилмәснәдән башталунур.

V. I. Ivanov-Omskii, R. B. Rustamov, V. A. Smirnov, Sh. U. Yuldashev
THE BOUND EXCITATION IN PHOTOLUMINESCENCE STUDY OF $\text{Cd}_x\text{Hg}_{1-x}\text{Te}$

The possibility of using the recombinative radiation of the bound excitation for optical excited photoluminescence in $\text{Cd}_x\text{Hg}_{1-x}\text{Te}$ is reported in the present work.

ФИЗИКА ТВЕРДОГО ТЕЛА

А. М. АЛИЕВ, А. П. ЖЕРНОВ, Х. М. ПАШАЕВ
РАСЧЕТ МИКРОКОНТАКТНЫХ ФУНКЦИЙ МАГНИЯ

(Представлено академиком АН Азербайджанской ССР Н. А. Гулиевым)

В последние годы развивается экспериментальная методика — микроконтактная спектроскопия, которая позволяет получить информацию о функции электрон-фононного взаимодействия (ЭФВ) $\alpha^2 F(\omega)$ в металлах (см., например, обзор Янсона [1]). Теория явления развита Куликом, Омельянчиком, Шехтером [2] и ван Гельдером [3]. В основе ее решение соответствующего нелинейного уравнения Больцмана с ЭФВ в качестве основного механизма рассеяния электронов. Было показано, что вторая производная вольтамперных характеристик точечных металлических контактов d^2I/dV^2 пропорциональна микроконтактной функции

$$G(\omega) = \frac{N(0)}{2} - \frac{\iint \frac{dS_{\vec{k}} dS_{\vec{k}'} \delta(\omega - \omega_{\vec{k}-\vec{k}'})}{v_{\vec{k}} v_{\vec{k}'}} K(\vec{v}, \vec{v}') \sum_{\lambda} |W_{\vec{k}-\vec{k}', \lambda}|^2}{\iint \frac{dS_{\vec{k}} dS_{\vec{k}'} \delta(\omega - \omega_{\vec{k}-\vec{k}'})}{v_{\vec{k}} v_{\vec{k}'}}} \quad (1)$$

(Здесь все обозначения общ принятые),

В работе [2] для геометрического фактора точечного контакта в виде круглого отверстия получено выражение

$$K(\vec{v}, \vec{v}') = \frac{|v_z v_z'|}{|v_z v_z' - v_z' v_z|} \theta(-v_z v_z'), \quad (2)$$

зависящее от ориентации кристалла относительно плоскости отверстия ($z=0$). Другое выражение для K -фактора

$$K(\vec{v}, \vec{v}') = \frac{1}{2} \left(1 - \frac{v_y v_y'}{\tan \varphi_{v, v'}} \right)$$

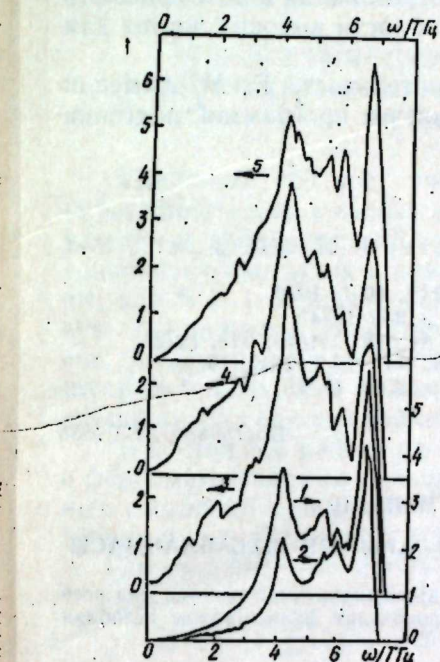
получено путем усреднения (2) по различным ориентациям кристалла [3]. При $K=1$ выражение (1) — известная функция ЭФВ $\alpha^2 F(\omega)$.

Теоретические расчеты микроконтактных спектров (МКС) выполнены для простых кубических металлов (см. [1]).

В настоящей работе обсуждаются результаты расчетов функций $G(\omega)$ для магния — металла с ГПУ-структурой, вычисленных с целью выявления роли анизотропии. При этом предполагается, что поверхность Ферми (ПФ) сферическая и для матричного элемента в теории псевдопотенциала справедливо одноволновое приближение. Динамика решетки рассматривалась в рамках теории, предложенной в [4]. Форм-фактор псевдопотенциала электрон-ионного взаимодействия задавался в виде

$$V(q) = -\frac{4\pi z e^2}{q^2} \left[(1 - U_0) \cos qR_0 + U_0 \frac{\sin qR_0}{qR_0} \right] e^{-\epsilon / \frac{q}{2k_F}}.$$

Подгонкой экспериментальных данных [5] к рассчитанным с диэлектрической функцией Гелдарта—Вэско [6] фононным частотам для параметров псевдопотенциала получены следующие значения: $U_0 = -0,111059$, $R_0 = 0,720105 \text{ \AA}$, $\zeta = -0,205$. Этим же псевдопотенциалом описывалось электрон-ионное взаимодействие в матричном элементе ЭФВ металла.



Спектральные характеристики магния (в произв. ед.): 1 — плотность состояний фононов; 2 — функция электрон-фононного взаимодействия; 3, 4, 5 — микроконтактные функции для трех ориентаций оси отверстия относительно кристаллографических направлений: $z \parallel [1010]$, $z \parallel [1120]$ и $z \parallel [0001]$, соответственно.

В рамках указанной модели нами были рассчитаны плотность состояний $F(\omega)$, функция ЭФВ $\alpha^2 F(\omega)$ и функции $G(\omega)$ с K -фактором вида (2) для трех ориентаций кристалла. На рисунке приведены графики этих функций, причем функции $G(\omega)$ построены с учетом гауссового уширения с $\sigma = 0,3 \text{ мэВ}$ из гистограмм.

Плотность состояний фононов $F(\omega)$ обнаруживает хорошее совпадение с результатами [5], где расчет выполнен в модели силовых постоянных. Экспериментальные МКС, полученные Найдюком и др. [7], согласуются с кривой $F(\omega)$ как по положению особенностей, так и по их характеру. Однако из сравнения $F(\omega)$ и $\alpha^2 F(\omega)$ видно, что квадрат матричного элемента ЭФВ, усредненный по ПФ, обнаруживает существенную зависимость от энергии, в то время как в [7], полагая $G_{\text{эксп}}(\omega) \sim \alpha^2 F(\omega)$, получено $\alpha^2 = \text{const}$.

Согласие полученных функций $G(\omega)$ с экспериментальными МКС в целом хорошее. Существенное отличие между ними наблюдается лишь в области между основными пиками.

Сравнивая кривые $G(\omega)$ для различных ориентаций кристалла относительно плоскости отверстия, обнаружим анизотропию спектров. МКС вдоль гексагональной оси и МКС для направлений на базисной

плоскости существенно отличаются по относительной интенсивности основных пиков. Кроме того, в зависимости от направления меняется ход начального участка и поведение спектра между основными пиками. Отметим, что обнаруженные экспериментально для разных образцов Mg подобные различия интерпретировались авторами как проявление анизотропии ЭФВ [7].

Для выяснения роли процессов с перебросом в формировании микроконтактных функций нами были рассчитаны гистограммы с учетом только U-процессов. Оказалось, что U-процессы целиком определяют характер и расположение особенностей. Заметный вклад в интенсивность пиков нормальные процессы дают только в области высоких частот для направлений в базисной плоскости.

В заключение авторы выражают признательность К. М. Ахмедли за возможность воспользоваться составленной им программой подгонки по методу наименьших квадратов.

Литература

1. Яисон И. К., ФНТ, 9 № 7, 676, 1983.
2. Кулик И. О., Омельяничук А. Н., Шехтер Р. И. ФНТ, 3, № 12, 1543, 1977.
3. Geldart A. R. van. Solid. St. Comm., 25, № 12, 1097, 1978.
4. Бровман Е. Г., Каган Ю. М. УФН, 112, № 3, 369, 1974.
5. Rupp R., Squires G. L. Proc. Roy. Soc. A, 326, № 1566, 317, 1972.
6. Geldart J. W., Vosko A. H. Can. J. Phys., 44, № 12, 2137, 1966.
7. Найдюк Ю. Г., Яисон И. К., Шкляревский О. И., ФНТ, 7 № 3, 322, 1981 г.

Институт физики АН Азерб. ССР.

Поступило 31.X.1983

Э. М. Элиев, А. П. Жернов, Һ. М. Паشاев

МАГНЕЗИУМУН МИКРОКОНТАКТ ФУНКСИАЛАРЫНЫН ҢЕСАБЛАНМАСЫ

Кристал гүрулушунун анизотропиягунун ролуну айданлашырмаг мәгседи илә псевдопотенциал нәзәријәсінде магнезиумун микроконтакт функциалары несабланышты.

A. M. Aliev, A. P. Zhernov, Kh. M. Pashaev

CALCULATION OF THE POINT-CONTACT SPECTRA OF MAGNESIUM

In order to investigate a role of the crystal structure anisotropy in the pseudo-potential theory, point-contact functions for the magnesium are calculated.

АЗӘРБАЙЧАН ССР ӘЛМЛӘР АКАДЕМИЯСЫНЫН МӘРҮЗӘЛӘРИ

ДОКЛАДЫ АКАДЕМИИ НАУК АЗЕРБАЙДЖАНСКОЙ ССР

ТОМ XL ЧИЛД

№ 7

1984

УДК 538.221

ФИЗИКА МАГНИТНЫХ ЯВЛЕНИЙ

Чл.-корр. Ю. М. СЕИДОВ, М. Б. ГУСЕЙНОВ, Н. Г. ГУСЕЙНОВ

ЭНЕРГЕТИЧЕСКИЙ СПЕКТР АНИЗОТРОПНОГО ФЕРРОМАГНЕТИКА С УЧЕТОМ МУЛЬТИПЛЕТНОСТИ АТОМНЫХ СОСТОЯНИЙ

Известно, что при учете всех $2S+1$ спиновых состояний атома (мультиплетность атомных состояний) в энергетическом спектре ферромагнетика появляются $2S$ ветвей с изменением S_z на единицу, а также дополнительные ветви с изменением S_z на два [1—5]. С другой стороны, при $S > 1$ наряду с билинейным обменом следует учесть одноионную анизотропию, биквадратный обмен и квадрупольное взаимодействие. До сих пор были рассмотрены только следующие случаи: а) $S=1$ с учетом одноионной анизотропии и биквадратного обмена; б) $S=3/2$ с учетом только одноионной анизотропии.

В настоящей работе рассматривается спектр спиновых возбуждений в ферромагнетиках со спином $S=3/2$ с учетом мультиплетности атомных состояний при наличии биквадратного обмена, одноионной анизотропии и квадрупольного взаимодействия.

Гамильтониан выбирается в виде

$$H = -J \sum_i S_i^z - B \sum_i (S_i^z S_j^z)^2 - V \sum_i (S_i^z)^2 - g \mu_B H \sum_i S_i^z - V_1 \sum_i (C_i C_j), \quad (1)$$

где $J > 0$ и $B > 0$ — параметры билинейного и биквадратного обмена соответственно, $V > 0$ — параметр одноионной анизотропии, $H = H_z$ — внешнее магнитное поле, g — фактор Ланде, μ_B — магнетон Бора, S_i — оператор спина в узле i , $V_1 > 0$ — параметр квадрупольного взаимодействия, $C_i = 3(S_i^z)^2 - S(S+1)$.

Для расчета спектра спиновых возбуждений с учетом мультиплетности атомных состояний использован метод стандартных базисных операторов (СБО) в технике функций Гримса [1]. Получены частоты спиновых возбуждений с изменением S_z на единицу ($|\Delta S_z| = 1$) и на два ($|\Delta S_z| = 2$).

I. Случай $S = 3/2$

1). $|\Delta S_z| = 1$. В этом случае частоты спиновых возбуждений являются корнями следующего кубического уравнения $\left(\frac{h}{2\pi} = 1\right)$

Здесь

$$\omega^3 - R_1 \omega^2 + R_2 \omega - R_3 = 0. \quad (2)$$

$$R_1 = \Omega_1 + \Omega_2 + \Omega_3. \quad (3)$$

$$R_2 = \Omega_1 (\Omega_2 + \Omega_3) + \Omega_2 \Omega_3 - \lambda (\mu_1 + \gamma_1) - \mu_2 \gamma_2, \quad (4)$$

$$R_3 = \Omega_1 \Omega_2 \Omega_3 - \lambda (\gamma_1 \mu_2 + \gamma_2 \mu_1) - \lambda (\gamma_1 \Omega_1 + \mu_1 \Omega_3) - \mu_2 \gamma_2 \Omega_2, \quad (5)$$

где

$$\begin{aligned} \Omega_1 &= 2J(0)\sigma - 3J(\kappa)D_{12} + \frac{1}{2}B(0)(9D_1 - 13D_2 - 11D_3 + 15D_4) - \\ &\quad - \frac{9}{2}B(\kappa)D_{12} + 2V + V_1Z_1 + h, \end{aligned}$$

$$\Omega_2 = 2J(0)\sigma - 4J(\kappa)D_{23} - \frac{1}{2}B(0)(3L_{14} + L_{23}) + 2B(\kappa)D_{23} + h,$$

$$\begin{aligned} \Omega_3 &= 2J(0)\sigma - 3J(\kappa)D_{34} - \frac{1}{2}B(0)(15D_1 - 11D_2 - 13D_3 + 9D_4) + \\ &\quad + \frac{9}{2}B(\kappa)D_{34} - 2V + h - V_1Z_1 \end{aligned}$$

$$\mu_1 = \sqrt{3}[2J(\kappa) - B(\kappa)]D_{12}, \quad \gamma_1 = \sqrt{3}[2J(\kappa) - B(\kappa)]D_{34},$$

$$\mu_2 = \frac{3}{2}[J(\kappa) - 5B(\kappa)]D_{12}, \quad \gamma_2 = \frac{3}{2}[J(\kappa) - 5B(\kappa)]D_{34},$$

$$\lambda = \sqrt{3}[2J(\kappa) - B(\kappa)]D_{23}, \quad Z_1 = 36(D_{12} - D_{34}), \quad D_{\alpha\beta} = L_\alpha - D_\beta,$$

D_α —величина вероятности занятости уровня α , $\alpha = 1, 2, 3, 4$, $J(0) = I(\kappa=0)$, $B(0) = B(\kappa=0)$, κ —волновой вектор, $h = g\mu_B H$, $\sigma = \langle S_z \rangle$

Используя явный вид функции Грина, спектральную теорему [7] и правила умножения для СБО [1], легко определить параметры D_α :

$$D_1 = \frac{1}{\Delta_1} (1 + \psi_1)(1 + \psi_2)(1 + \psi_3), \quad (6)$$

$$D_2 = \frac{1}{\Delta_1} \psi_1(1 + \psi_2)(1 + \psi_3), \quad (7)$$

$$D_3 = \frac{1}{\Delta_1} \psi_1 \psi_2 (1 + \psi_3), \quad (8)$$

$$D_4 = \frac{1}{\Delta_1} \psi_1 \psi_2 \psi_3, \quad (9)$$

где

$$\Delta_1 = (1 + \psi_3)(1 + \psi_1 + \psi_2 + 2\psi_1\psi_2) + \psi_1\psi_2\psi_3,$$

$$\psi_1 = \sum_{\kappa} \sum_{m=1}^3 A_m f(\omega_m), \quad \psi_2 = \sum_{\kappa} \sum_{m=1}^3 B_m f(\omega_m), \quad \psi_3 = \sum_{\kappa} \sum_{m=1}^3 C_m f'(\omega_m),$$

$$A_m = \frac{\omega_m^2 - (\Omega_2 + \Omega_3)\omega_m + \Omega_1\Omega_3 - \gamma_1\lambda}{\prod_{n \neq m}^{n=1,2,3} (\omega_m - \omega_n)},$$

$$B_m = \frac{\omega_m^2 - (\Omega_1 + \Omega_3)\omega_m + \Omega_1\Omega_3 - \mu_2\gamma_2}{\prod_{n \neq m}^{n=1,2,3} (\omega_m - \omega_n)},$$

$$C_m = \frac{\omega_m^2 - (\Omega_1 + \Omega_2)\omega_m + \Omega_1\Omega_2 - \mu_1\lambda}{\prod_{n \neq m}^{n=1,2,3} (\omega_m - \omega_n)}$$

$f(\omega_m) = \left[\exp \left(\frac{\omega_m}{k_B T} \right) - 1 \right]^{-1}$ —Функция распределения Бозе—Эйнштейна, k_B —постоянная Больцмана, T —абсолютная температура.

В рассмотренном случае параметры дипольного ($\sigma = \langle S_z \rangle$) и квадрупольного ($Z = 3\langle S_z^2 \rangle - S(S+1)$) упорядочения имеют вид

$$\begin{aligned} \sigma_{3/2} &= 1/2(3D_{14} + D_{23}) = \\ &= \frac{1}{2} \frac{3(1 + \psi_3)(1 + \psi_1 + \psi_2) + \psi_1(1 + \psi_3 - 3\psi_2)}{(1 + \psi_3)(1 + \psi_1 + \psi_2) + \psi_1\psi_2(2 + \psi_3)}, \end{aligned} \quad (10)$$

$$Z_{3/2} = 3(D_{12} - D_{34}) = 3 \frac{(1 + \psi_2)(1 + \psi_3) - \psi_1\psi_2}{(1 + \psi_3)(1 + \psi_1 + \psi_2) + \psi_1\psi_2(2 + \psi_3)}. \quad (11)$$

2). $|\Delta S_z| = 2$. Спектр такого типа возбуждения имеет две ветви:

$$\omega_{4,5}(\kappa) = 1/2(\rho_1 + \rho_2) \pm [1/4(\rho_1 - \rho_2)^2 + v_1v_2]^{1/2}, \quad (12)$$

где

$$\rho_1 = 4I(0)\sigma + B(0)(3D_{12} - 4D_{23} - 9D_{34}) - 6B(\kappa)D_{13} + 2V + V_1Z_1 + 2h,$$

$$\rho_2 = 4I(0)\sigma - B(0)(9D_{12} + 4D_{23} - 3D_{34}) - 6B(\kappa)D_{24} - 2V - V_1Z_1 + 2h,$$

$$v_1 = 6B(\kappa)D_{13}, \quad v_2 = 6B(\kappa)D_{24}$$

Из (12) видно, что дисперсия (зависимость от κ) ветвей $\omega_4(\kappa)$ и $\omega_5(\kappa)$ обусловлена наличием биквадратного обмена ($B \neq 0$).

II. Случай $S=2$

1). $|\Delta S_z| = 1$. Спектр спиновых возбуждений содержит следующие четыре ветви:

$$\omega_{1,2}(\kappa) = \frac{1}{4}(\alpha_1 - \eta) \pm \left[\frac{1}{16}(\alpha_1 - \eta)^2 - \left(y - \frac{\alpha_1 y - \alpha_3}{\eta} \right) \right]^{1/2}, \quad (13)$$

$$\omega_{3,4}(\kappa) = \frac{1}{4}(\alpha_1 + \eta) \pm \left[\frac{1}{16}(\alpha_1 + \eta)^2 - \left(y + \frac{\alpha_1 y - \alpha_3}{\eta} \right) \right]^{1/2}, \quad (14)$$

$$\eta = (8y + \alpha_1^2 - 4\alpha_2)^{1/2},$$

где y — действительный корень кубического уравнения

$$8y^3 - 4\alpha_2 y^2 + 2(\alpha_1\alpha_3 - 4\alpha_4)y + \alpha_4(4\alpha_2 - \alpha_1^2) - \alpha_3^2 = 0. \quad (15)$$

Здесь

$$\alpha_1 = \Omega_4 + \Omega_5 + \Omega_6 + \Omega_7,$$

$$\begin{aligned}
\alpha_8 &= \Omega_4 \Omega_5 + \Omega_6 \Omega_7 + (\Omega_4 + \Omega_5) (\Omega_6 + \Omega_7) - \beta_5 \lambda_3 - \gamma_5 \beta_6 - \gamma_4 \lambda_2 - \mu_3 \lambda_1 - \\
&\quad - \mu_4 \gamma_3 - \mu_5 \beta_4, \\
\alpha_9 &= (\Omega_4 + \Omega_5) \Omega_6 \Omega_7 + \Omega_4 \Omega_5 (\Omega_6 + \Omega_7) - \gamma_2 \gamma_5 \beta_5 - \lambda_3 \gamma_4 \beta_6 - \\
&\quad - \beta_5 \lambda_3 (\Omega_4 + \Omega_6) - \gamma_5 \beta_6 (\Omega_4 + \Omega_5) - \gamma_4 \lambda_2 (\Omega_4 + \Omega_7) - \mu_3 \lambda_1 (\Omega_6 + \Omega_7) - \\
&\quad - \mu_3 \beta_4 \lambda_3 - \mu_3 \gamma_3 \lambda_2 - \mu_4 \lambda_1 \gamma_4 - \mu_4 \beta_4 \gamma_5 - \mu_4 \gamma_3 (\Omega_5 + \Omega_7) - \mu_5 \beta_4 (\Omega_5 + \Omega_6) - \\
&\quad - \mu_5 \lambda_1 \beta_5 - \mu_5 \gamma_3 \beta_6, \\
\alpha_{10} &= \Omega_4 \Omega_5 \Omega_6 \Omega_7 - \Omega_4 (\lambda_2 \gamma_5 \beta_5 + \lambda_3 \gamma_4 \beta_6) - \beta_5 \lambda_3 \Omega_4 \Omega_6 - \gamma_5 \beta_6 \Omega_4 \Omega_5 - \\
&\quad - \gamma_4 \lambda_2 \Omega_4 \Omega_7 - \mu_3 \lambda_1 \Omega_6 \Omega_7 - \mu_3 (\beta_4 \lambda_2 \gamma_5 + \beta_6 \lambda_3 \gamma_3) - \mu_3 \beta_4 \lambda_3 \Omega_6 + \mu_3 \lambda_1 \gamma_5 \beta_6 - \\
&\quad - \mu_3 \gamma_3 \lambda_2 \Omega_7 - \mu_4 \lambda_1 \gamma_4 \Omega_7 - \mu_4 \beta_4 \gamma_5 \Omega_5 + \mu_4 \gamma_3 \beta_5 \gamma_3 - \mu_4 \beta_4 \gamma_4 \lambda_3 - \mu_4 \lambda_1 \beta_5 \gamma_5 - \\
&\quad - \mu_4 \gamma_3 \Omega_5 \Omega_7 - \mu_5 \lambda_1 \gamma_4 \beta_6 - \mu_6 \gamma_3 \beta_5 \lambda_2 - \mu_6 \beta_3 \Omega_5 \Omega_6 + \mu_6 \beta_4 \gamma_4 \lambda_2 - \\
&\quad - \mu_5 \lambda_1 \beta_5 \Omega_6 - \mu_5 \gamma_3 \beta_6 \Omega_5, \\
\Omega_4 &= 2I(0)\sigma - 4I(\kappa)D_{12} + B(0)(16D_1 - 10D_2 - 18D_3 - 8D_4 + 20D_5) - \\
&\quad - 16B(\kappa)D_{12} + 3V + h - 6V_1 Z_1, \\
\Omega_5 &= 2I(0)\sigma - 6I(\kappa)D_{13} + B(0)(4D_1 - 4D_2 - 6D_3 - 2D_4 + 8D_5) + \\
&\quad + V + h - 2V_1 Z_1, \\
\Omega_6 &= 2I(0)\sigma - 6I(\kappa)D_{34} - B(0)(8D_1 - 2D_2 - 6D_3 - 4D_4 + 4D_5) = \\
&\quad - V + h + 2V_1 Z_1, \\
\Omega_7 &= 2I(0)\sigma - 4I(\kappa)D_{45} + B(0)(20D_1 - 8D_2 - 18D_3 - 10D_4 + 16D_5) + \\
&\quad + 16B(\kappa)D_{45} - 3V + h + 6V_1 Z_1, \\
Z_1 &= -18(D_1 + D_2) + 8(D_2 + D_4) + 18D_3, \\
\mu_3 &= 2\sqrt{6}[I(\kappa) + B(\kappa)]D_{12}, \quad \lambda_1 = 2\sqrt{6}[I(\kappa) + B(\kappa)]D_{23}, \\
\gamma_3 &= 2\sqrt{6}[I(\kappa) - 2B(\kappa)]D_{31}, \\
\mu_4 &= 2\sqrt{6}[I(\kappa) - 2B(\kappa)]D_{12}, \quad \lambda_2 = 6[I(\kappa) - B(\kappa)]D_{23}, \\
\gamma_4 &= 6[I(\kappa) - B(\kappa)]D_3, \\
\mu_5 &= 4[I(\kappa) - 5B(\kappa)]D_{12}, \quad \lambda_3 = 2\sqrt{6}[I(\kappa) - 2B(\kappa)]D_{23}, \\
\gamma_5 &= 2\sqrt{6}[I(\kappa) + B(\kappa)]D_{31}, \\
\beta_4 &= 4[I(\kappa) - 5B(\kappa)]D_{45}, \quad \beta_5 = 2\sqrt{6}[I(\kappa) - 2B(\kappa)]D_{45}, \\
\beta_6 &= 2\sqrt{6}[I(\kappa) + B(\kappa)]D_{45}.
\end{aligned}$$

Для величины D_a найдены следующие выражения:

$$D_1 = \frac{1}{\Delta_2} (1 + \Phi_1) (1 + \Phi_2) (1 + \Phi_3) (1 + \Phi_4), \quad (16)$$

$$D_2 = \frac{1}{\Delta_2} \Phi_1 (1 + \Phi_2) (1 + \Phi_3) (1 + \Phi_4), \quad (17)$$

$$D_3 = \frac{1}{\Delta_2} \Phi_1 \Phi_2 (1 + \Phi_3) (1 + \Phi_4), \quad (18)$$

$$D_4 = \frac{1}{\Delta_2} \Phi_1 \Phi_2 \Phi_3 (1 + \Phi_4), \quad (19)$$

$$D_5 = \frac{1}{\Delta_2} \Phi_1 \Phi_2 \Phi_3 \Phi_4, \quad (20)$$

где

$$\begin{aligned}
\Delta_2 &= (1 + 2\Phi_1) (1 + \Phi_2) (1 + \Phi_3) (1 + 2\Phi_4) + \\
&\quad + \Phi_1 \Phi_2 [(1 + 2\Phi_3) (1 + 2\Phi_4) + \Phi_3 \Phi_4],
\end{aligned}$$

$$\begin{aligned}
\Phi_1 &= \sum_{\kappa} \sum_{i=1}^4 M_i f(\omega_i), \quad \Phi_2 = \sum_{\kappa} \sum_{i=1}^4 N_i f(\omega_i), \\
\Phi_3 &= \sum_{\kappa} \sum_{i=1}^4 P_i f(\omega_i), \quad \Phi_4 = \sum_{\kappa} \sum_{i=1}^4 C_i f(\omega_i), \\
M_i &= \frac{\omega_i^3 - q_1 \omega_i^2 + q_2 \omega_i - q_3}{\prod_{\substack{j \neq i \\ j=1,2,3,4}} (\omega_i - \omega_j)}, \quad N_i = \frac{\omega_i^3 - r_1 \omega_i^2 + r_2 \omega_i - r_3}{\prod_{\substack{j \neq i \\ j=1,2,3,4}} (\omega_i - \omega_j)}, \\
P_i &= \frac{\omega_i^3 - t_1 \omega_i^2 + t_2 \omega_i - t_3}{\prod_{\substack{j \neq i \\ j=1,2,3,4}} (\omega_i - \omega_j)}, \quad C_i = \frac{\omega_i^3 - l_1 \omega_i^2 + l_2 \omega_i - l_3}{\prod_{\substack{j \neq i \\ j=1,2,3,4}} (\omega_i - \omega_j)}
\end{aligned}$$

$$\begin{aligned}
q_1 &= \Omega_5 + \Omega_6 + \Omega_7, \\
q_2 &= \Omega_6 \Omega_7 + \Omega_5 \Omega_6 + \Omega_5 \Omega_7 - \lambda_2 \beta_5 - \beta_6 \gamma_5 - \lambda_2 \gamma_4, \\
q_3 &= -\Omega_5 \Omega_6 \Omega_7 + \lambda_2 \beta_5 \gamma_5 + \lambda_3 \beta_6 \gamma_4 + \lambda_3 \beta_5 \Omega_6 + \beta_6 \gamma_5 \Omega_5 + \lambda_2 \gamma_4 \Omega_7, \\
r_1 &= \Omega_4 + \Omega_6 + \Omega_7, \quad r_2 = \Omega_6 \Omega_7 + \Omega_4 \Omega_6 + \Omega_4 \Omega_7 - \beta_4 \mu_5 - \mu_5 \gamma_3 - \gamma_5 \beta_6, \\
t_1 &= \Omega_4 + \Omega_5 + \Omega_7, \quad t_2 = \Omega_5 \Omega_7 + \Omega_4 \Omega_5 + \Omega_4 \Omega_7 - \beta_4 \mu_5 - \lambda_1 \mu_3 - \beta_5 \lambda_3, \\
r_3 &= -\Omega_4 \Omega_6 \Omega_7 + \mu_4 \gamma_5 \beta_4 + \mu_5 \gamma_3 \beta_6 + \beta_4 \mu_5 \Omega_6 + \mu_4 \gamma_3 \Omega_7 + \gamma_5 \beta_6 \Omega_4, \\
t_3 &= -\Omega_4 \Omega_5 \Omega_7 + \mu_3 \beta_4 \lambda_3 + \lambda_1 \beta_5 \mu_5 + \beta_4 \mu_5 \Omega_5 + \lambda_1 \mu_3 \Omega_7 + \beta_5 \lambda_3 \Omega_4, \\
l_1 &= \Omega_4 + \Omega_5 + \Omega_6, \quad l_2 = \Omega_5 \Omega_6 + \Omega_4 \Omega_5 + \Omega_4 \Omega_6 - \gamma_3 \mu_4 - \lambda_1 \mu_3 - \gamma_4 \lambda_2, \\
l_3 &= -\Omega_4 \Omega_5 \Omega_6 + \mu_3 \gamma_3 \lambda_2 + \lambda_1 \gamma_4 \mu_4 + \gamma_3 \gamma_4 \Omega_5 + \lambda_1 \mu_3 \Omega_6 + \gamma_4 \lambda_2 \Omega_1.
\end{aligned}$$

Параметры дипольного (σ_2) и квадрупольного (Z_1) упорядочения при $S=2$ имеют следующий вид

$$\begin{aligned}
\sigma_2 &= \frac{(1 + \Phi_2) (1 + \Phi_3) (1 + \Phi_4) (2 + 3\Phi_1) - \Phi_1 \Phi_2 \Phi_3 (1 + 3\Phi_4)}{(1 + 2\Phi_1) (1 + \Phi_2) (1 + \Phi_3) (1 + 2\Phi_4) +} \\
&\quad + \Phi_1 \Phi_2 [(1 + 2\Phi_3) (1 + 2\Phi_4) + \Phi_3 \Phi_4], \quad (21)
\end{aligned}$$

$$\begin{aligned}
Z_1 &= \frac{3 [(1 + \Phi_3) (1 + \Phi_4) (2 + \Phi_1 + 2\Phi_2 - \Phi_1 \Phi_2) - \Phi_1 \Phi_2 \Phi_3 (1 - \Phi_4)]}{(1 + 2\Phi_1) (1 + \Phi_2) (1 + \Phi_3) (1 + 2\Phi_4) +} \\
&\quad + \Phi_1 \Phi_2 [(1 + 2\Phi_3) (1 + 2\Phi_4) + \Phi_3 \Phi_4]. \quad (22)
\end{aligned}$$

2). $|AS_2| = 2$. В этом случае частоты возбуждения являются корнями следующего кубического уравнения

$$\omega^3 - K_4 \omega^2 + R_6 \omega - R_8 = 0, \quad (23)$$

$$\begin{aligned}
R_4 &= \Omega_8 + \Omega_9 + \Omega_{10}, \\
R_5 &= [\Omega_9 + 18B(\kappa)D_{24}] [\Omega_{10} + 12B(\kappa)D_{35}] + \Omega_8 [\Omega_9 + \Omega_{10} + 18B(\kappa)D_{24} + \\
&\quad + 12B(\kappa)D_{35}] - 12[\Omega_3 + \Omega_9 + 12B(\kappa)D_3 + 18B(\kappa)D_{24}] B(\kappa) D_{35} - \\
&\quad - 18B(\kappa) D_{24} [\Omega_9 + 12B(\kappa)D_{35}] + B(\kappa) D_{24} [\Omega_8 + 12B(\kappa)D_{13}], \\
R_6 &= \Omega_8 \Omega_9 \Omega_{10} - 12B(\kappa) D_{35} [\Omega_8 - 12B(\kappa) D_{13}] \Omega_9 + 18B(\kappa) D_{24} + \\
&\quad + 18B(\kappa) D_{24} [\Omega_{10} + 12B(\kappa) D_{35}] [\Omega_8 + 12B(\kappa) D_{13}], \\
\Omega_8 &= 4I(0)\sigma - 12B(\kappa) D_{18} + B(0)(20D_1 - 14D_2 - 24D_3 - 10D_4 + \\
&\quad + 28D_5) + 4V + 2h - 8V_1 Z_1,
\end{aligned}$$

$$\begin{aligned}\Omega_9 &= 4I(0)\sigma - 18B(\kappa)D_{24} - B(0)(4D_{15} + 2D_{24}) + 2h, \\ \Omega_{10} &= 4I(0)\sigma - 12B(\kappa)L_{35} - B(0)(28D_1 - 10D_2 - 24D_3 - 14D_4 + \\ &\quad + 20D_5) - 4V + 2h + 8V_1Z_1.\end{aligned}$$

Как и в случае $S = 3/2$, дисперсия частот (23) обусловлена наличием биквадратного обмена ($B \neq 0$).

Таким образом, при учете мультиплетности атомных состояний в спектре ферромагнетика со спином $S \geq 1$ появляются дополнительные ветви, кроме тех, которые предсказываются обычной теорией спиновых волн [6]. Кроме того, появляются новые типы возбуждений с $|\Delta S_z| = 2$.

Литература

1. Haley S. B., Erdős P. Phys. Rev., v. B, 5, № 3, 1972, p. 1106.
2. Носкова Л. М. ФМН, т. 33, № 4, 1972, с. 693.
3. Китаев В. Н., Кащенко М. П., Курбатов Л. В. ФТТ, т. 15, № 8, 1973, 2292.
4. Гайдидей Ю. Б., Локтев В. М. ФНТ, т. 3, № 4, 1977, с. 507.
5. Micnas R. J. Phys. C: Solid State Phys., v. 9, № 17, 1976, p. 3307.
6. Shrödinger E. Proc. Roy. Irish Acad., v. 47, № 1, 1941, p. 89.
7. Тяблков С. В. Методы квантовой теории магнетизма. М.: Наука 1975.

Институт физики АН Азерб. ССР

Поступило 10. I. 1984

Ю. М. Сеидов, М. Б. Гусейнов, Н. Г. Гусейнов

АТОМ ҺАЛЛАРЫНЫН МУЛЬТИПЛЕТИИНИ НӘЗӘРӘ АЛМАГЛА БИКВАДРАТ МҮБАДИЛӘЛИ АНИЗОТРОП ФЕРРОМАГНИТИН ЕНЕРЖИ СПЕКТРИ

Мәгәләдә биквадрат мүбадиләли анизотроп ферромагнитин енержи спектриндән бәсі олуулар. Мүәжіән еділмешdir ки, атом һалларынын мультиплетлийни нәзәрә алдығда спектрдә әлаң будаглар жараныр.

Мәгәләдә һәмчинин дипол вә квадрупол низамлылыг параметрләри үчүн ифадәләр дә алыштырылар.

Yu. M. Seidov, M. B. Guseinov, N. G. Guseinov

THE ENERGY SPECTRUM OF ANISOTROPIC FERROMAGNETIC WITH MULTIPLE ATOMIC STATES TAKING INTO ACCOUNT

The energy spectrum of anisotropic ferromagnetic with biquadratic exchange and quadruple interaction is considered. It is shown, that the additional branches appeared in spectrum when the multiple character of atomic states is taken into account.

АЗЭРБАЙЧАН ССР ЕЛМЛӘР АКАДЕМИЯСЫНЫН МӘРҮЗӘЛӘРИ

ДОКЛАДЫ АКАДЕМИИ НАУК АЗЕРБАЙДЖАНСКОЙ ССР
ТОМ XL ЧИЛД № 7

1984

УДК 524.8

3. Ф. СЕИДОВ

ДВИЖЕНИЕ СВОБОДНОЙ ЧАСТИЦЫ ВО ФРИДМАНОВСКОМ МИРЕ

(Представлено академиком АН Азербайджанской ССР Г. Ф. Султановым)

1. Современные экспериментальные данные [1] указывают на возможное наличие ненулевой массы покоя нейтрино $m \approx 30$ эВ. Если это так, то нейтрино играют решающую роль в строении и развитии Вселенной [2]. В однородной и изотропной горячей Вселенной возмущения растут сначала в нейтринной компоненте, а затем только в обычном веществе. Структура Вселенной определяется нейтрино [2—4]. Очень интересным в связи с этим является вопрос о нейтринном горизонте — размере области, из которой может дойти до наблюдателя нейтрино с наблюдаемыми значениями импульса и массы покоя.

В [5] этот вопрос был рассмотрен в случае плоской Вселенной, когда средняя плотность Вселенной равна критической. В данном сообщении мы рассмотрим главным образом задачу определения максимального расстояния $R = r_{\max}$, проходимого частицей за все время жизни Вселенной. Очевидно, R совпадает с горизонтом в бесконечно далекий от начала момента наблюдения $t \rightarrow \infty$. Оказывается, что значение r_{\max} всегда ограничено для частицы с отличной от нуля массой покоя m , тогда как оно бесконечно при $m = 0$ (фотон) в открытой и плоской Вселенной.

2. Лагранжев путь r свободной частицы за время между t_1 и t_2 в однородной и изотропной Вселенной (модель Фридмановского мира) определяется формулами (подробнее см. [5, 6]):

$$r = \int_{t_1}^{t_2} \frac{v(t) dt}{a(t)}, \quad (1)$$

$$v(t) = c \left[1 + \frac{a^2(t)}{a_0^2 (\gamma_0^2 - 1)} \right]^{-1/2}, \quad \gamma = (1 - v^2/c^2)^{-1/2}, \quad (2)$$

где $a(t)$ — „радиус“ мира, v — собственная скорость частицы, γ — релятивистский параметр, a_0 и γ_0 — значения в некий момент t_0 . Наибольший пройденный путь (при фиксированных a_0 и γ_0) $R = r_{\max}$, соответствует $t_1 = 0$, $t_2 \rightarrow \infty$:

$$R = \int_0^\infty \frac{v(t) ct}{a(t)}. \quad (3)$$

Дальнейшее рассмотрение проведем для трех случаев: открытой, плоской и закрытой Вселенной.

3. Открытая Вселенная. В этой модели зависимость $a(t)$ задается в следующем параметрическом виде [7]:

$$a = \frac{a_m}{2} (\operatorname{ch} \eta - 1), \quad t = \frac{a_m}{2c} (\operatorname{sh} \eta - \eta), \quad 0 \leq \eta \leq \infty. \quad (4)$$

a_m — постоянная величина. Из (2—4) имеем:

$$R(A) = \int_0^\infty [1 + (\operatorname{ch} \eta - 1)^2/A^2]^{-1/2} d\eta, \quad (5)$$

где мы ввели обозначение:

$$A = (\operatorname{ch} \eta_0 - 1)(\gamma_0^2 - 1)^{1/2}. \quad (6)$$

Величина A является интегралом движения свободной частицы в расширяющейся Вселенной и характеризует степень релятивизации частицы. При $A \rightarrow 0$ имеем нерелятивистский случай, при $A \rightarrow \infty$ — ультрарелятивистский.

Зависимость $R(A)$ в этих двух предельных случаях следующая:

$$\begin{cases} R(A) = (2A)^{1/2} K(1/2), & A \ll 1, \\ R(A) = \ln(4A), & A \gg 1, \end{cases} \quad (7)$$

где $K(\kappa^2)$ — полный эллиптический интеграл 1-го рода [8], $K(1/2) = 1,854075$. В общем виде зависимость $R(A)$, согласно формуле (5), показана на рисунке (кр. $R_{\text{откр.}}$).

4. Плоская Вселенная. В этом случае:

$$a = \frac{a_m}{4} \eta^2, \quad t = \frac{a_m}{12c} \eta^3, \quad 0 \leq \eta \leq \infty, \quad (8)$$

и вводя $x = t^{1/3} t_0^{-1/3} (\gamma_0^2 - 1)^{-1/4}$, получим из (2, 3, 8):

$$R(A) = \eta_0 (\gamma_0^2 - 1)^{1/4} \int_0^\infty (1+x^4)^{-1/2} dx = (2A)^{1/2} K(1/2) \quad (9)$$

$$A = \frac{\eta_0^2}{2} (\gamma_0^2 - 1)^{1/2} \quad (10)$$

Зависимость $R(A)$, согласно (9), показана на рисунке (кр. $R_{\text{плоск.}}$).

5. Закрытая Вселенная. Имеем:

$$a = a_m (1 - \cos \eta), \quad t = \frac{a_m}{c} (\eta - \sin \eta), \quad 0 \leq \eta \leq 2\pi. \quad (11)$$

Из (2, 3, 11), после небольших преобразований, получим:

$$R(x) = 4 \int_0^{\pi/2} \left(1 + 4 \frac{\sin^4 x}{A^2}\right)^{-1/2} dx, \quad (12)$$

$$A = 2(\gamma_0^2 - 1)^{1/2} \sin^2 \frac{\eta_0}{2}. \quad (13)$$

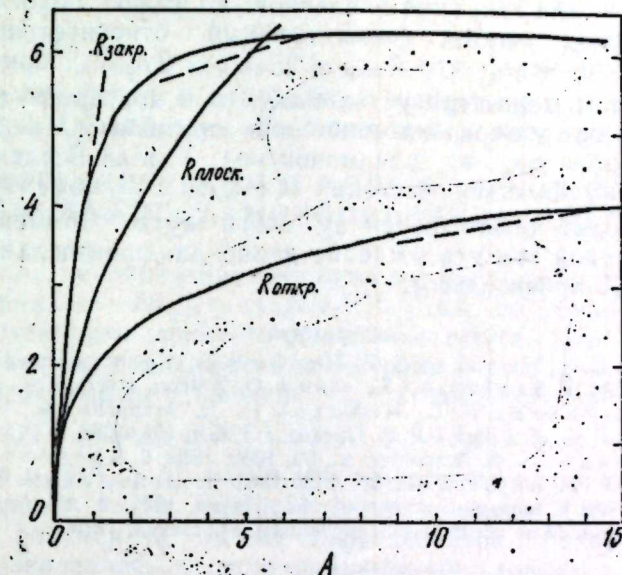
Функция $R(A)$ в двух предельных случаях имеет вид:

$$R(A) = 2K(1/2)\sqrt{2A}, \quad A \ll 1 \quad (14)$$

$$R(A) = 2\pi \left(1 - \frac{1}{A^2}\right), \quad A \gg 1 \quad (15)$$

В общем виде зависимость $R(A)$, согласно (12), показана на рисунке (кр. $R_{\text{закр.}}$).

6. Обсуждение. Таким образом, расстояние R , проходимое свободной частицей во фридмановском мире за все время существования Вселенной, является функцией параметра A , имеющего различный вид в от-



крытой, плоской и закрытой Вселенной и характеризующего степень релятивизации частицы. Расстояние R конечно при конечном A и бесконечно при бесконечно большом значении A (что соответствует бесконечно малому значению массы покоя частицы, фотону) в открытой и плоской Вселенной. В закрытой Вселенной путь частицы всегда конечен. Подчеркнем, что речь идет о лагранжевом пути, эйлеров же путь частицы за все время жизни Вселенной всегда бесконечен, кроме случая закрытой Вселенной.

Интересно отметить следующее обстоятельство. При $A \ll 1$ во всех трех моделях $R(A) \sim A^{1/2}(\gamma_0^2 - 1)^{1/4}$ (последнее, если зафиксировать момент t_0). Это объясняется тем, что длина пути нерелятивистской частицы в расширяющейся Вселенной определяется начальным отрезком времени (тем меньшим, чем меньше η_0), а в начальный период закон расширения Вселенной (а следовательно и закон уменьшения скорости частицы) одинаков для всех трех моделей. Действительно, пусть в момент времени $t_0 \ll 1$, имеем $A \ll 1$, тогда во всех трех случаях:

$$A = \frac{\eta_0^2}{2} (\gamma_0^2 - 1)^{1/2} \ll 1, \quad (16)$$

$$\text{и имеем } R_{\text{откр.}} = R_{\text{плоск.}} = \frac{1}{2} R_{\text{закр.}}$$

При малых t формулы (4) и (11) совпадают с (8) и можно написать

$$R(x) = (2A)^{1/2} \int_0^x (1+x^4)^{-1/2} dx = (2A)^{1/2} \frac{1}{2} F \left(\arccos \frac{1-x^2}{1+x^2}, \frac{1}{2} \right), \quad (17)$$

где $F[\varphi, \kappa^2]$ — неполный эллиптический интеграл 1-го рода [8]. При $x = 1$, $F(\pi/2, 1/2) = K(1/2)$, поэтому путь, проходимый частицей от момента $t = 0$ до момента $t = t_1 = t_0 (\gamma_0^2 - 1)^{3/4}$, равен пути, проходимому в промежутке времени от $t = t_1$ до $t = \infty$. При $t_0 \rightarrow 0$ большую часть пути частица проходит в начальный период эволюции Вселенной. Так как для закрытой Вселенной во второй половине эволюции есть период сжатия (симметричный относительно периода расширения), то ясно, что $R_{\text{закр.}} = 2R_{\text{откр.}} = 2R_{\text{плоск.}}$ при $t_0 \ll 1$ и $A \ll 1$. Момент t_1 характеризуется тем, что в это время $\gamma_1^2 - 1 = 1$, т. е. частица из ультрарелятивистской становится ультрарелятивистской. Таким образом, в фридмановской модели Вселенной предельно ультрарелятивистская частица ($A \ll 1$) к моменту, когда $\gamma_1 = \sqrt{2}$, проходит ровно половину всего пути. Применимально к плоской Вселенной это утверждение верно для произвольной свободной частицы (A произвольно).

Литература

- Любимов В. А., Новиков Е. Г., Нозик В. З., Третьяков Е. Ф. Ядерная физика, 32, 301, 1980.
- Szalay A. S., Magr G. Astron. Astrophys., 49, 437, 1976.
- Бисноватый-Коган Г. С., Новиков И. Д. Астроном. ж., 57, 899, 1980.
- Зельдович Я. Б., Суняев Р. А. Письма в АЖ 6, 451, 1980.
- Бисноватый-Коган Г. С., Сейдов З. Ф. Астроном. ж., 59, 1000, 1982.
- Бисноватый-Коган Г. С., Сейдов З. Ф. Астроном. ж., 59, 213, 1982.
- Зельдович Я. Б., Новиков И. Д. Строение и эволюция вселенной. М.: Наука, 1975.
- Абрамович М., Стиган И. Справочник по специальным функциям. М.: Наука, 1979.

Шемахинская астрофизическая обсерватория
АН Азерб. ССР

Поступило
3.VI.1982

З. Ф. Сейдов

ФРИДМАН КАИНАТЫНДА СӘРБӘСТ ҺИССӘЧИИН ҚӘРӘКЕТИ

Магаләдә кайнатын мұхталиф бирчеселі вә изотроп, және ачық, мұстови вә гапалы моделләрендә сүкунэт күтләсінә малик олан сәрбәст һиссәчиин көтдији мәсафә несабаламышшыр.

Үмуми нал учүн дүстүрлар чыхарылмыш, гејри-нисби вә ултранисби һиссәчикләр учүн исә айрыча асимптотикләр тапталышшыр.

Z. F. Seidov

THE MOTION OF FREE PARTICLE IN THE FRIEDMANN UNIVERSE

The path length for non-zero rest-mass free particle, moving in the open, flat and closed uniform and isotropic models of the universe are calculated. We derive the general formulae as well as the relevant asymptotes for non- and ultrarelativistical particles,

АЗЭРБАЙЖАН ССР ЕЛМЛӨР АКАДЕМИЯСЫНЫН МӘРУЗӘЛӘРИ

ДОКЛАДЫ АКАДЕМИИ НАУК АЗЕРБАЙДЖАНСКОЙ ССР
ТОМ XL ЧИЛД № 7

1984

УДК 548.787;547.821

КРИСТАЛЛОГРАФИЯ

А. З. АМАНОВ, Д. А. ИАШВИЛИ, А. Н. ШНУЛИН, Н. И. ГУСЕВА,
А. А. АХУНДОВА, чл.-корр. АН СССР М. А. ПОРАЙ-КОШИЦ

О КРИСТАЛЛИЧЕСКОЙ И МОЛЕКУЛЯРНОЙ СТРУКТУРЕ ДИ-ЙОДА-БИС-(2-АМИНОПИРИДИНА)-ЦИНКА(II)

Объектом исследования послужили монокристаллы ди-йод-бис-(2-аминопиридина)—Zn(II)—($C_6NH_4NH_2$)₂ZnJ₂, полученные Г. В. Цинцадзе в Грузинском политехническом институте. Параметры элементарной ячейки, определенные фотометодом и уточненные на автоматическом дифрактометре „Синтекс P2₁“ (MoK_α-излучение, графитовый монохроматор), равны: $a = 10,251 \text{ \AA}$, $b = 15,463 \text{ \AA}$, $c = 9,604 \text{ \AA}$, $\beta = 96,13^\circ$, $V = 1513,2 \text{ \AA}^3$, $z = 4$. Пространственная группа $C_{2h}^5 = P2_1/n$.

Трехмерный набор интенсивностей порядка 1483 независимых отражений получен на том же дифрактометре. Федоровская группа $P2_1/n$ устанавливается по закономерным погасаниям с привлечением анализа функции Паттерсона. Наличие в составе исследуемого объекта тяжелого атома йод обусловило выбор метода тяжелого атома для определения структуры.

Структура расшифрована методом тяжелого атома. Положения тяжелых атомов — двух атомов йода и одного атома цинка — найдены путем анализа трехмерной карты Паттерсона. Карта электронной плотности, построенная с помощью F -амплитуд с базами, определяемыми найденными координатами указанных трех атомов ($R_F = 0,35$; $B_{\text{общ}} = 0$), позволила выявить все неводородные атомы молекулы исследованного соединения ($R_F = 0,27$).

Изотропное уточнение методом наименьших квадратов в блок-диагональном приближении дало $R_F = 0,135$. Два цикла анизотропного уточнения атомов дали $R_F = 0,078$ (табл. 1).

Таблица 1

Координаты атомов ($x \cdot 10^{-4}$) Å°

Атом	x	y	z	Атом	x	y	z
Zn	2495(2)	3214(1)	2472(2)	C (3)	3040(20)	3048(13)	7474(22)
J (1)	2870(1)	1708(1)	1336(1)	C (4)	2133(19)	2541(15)	6735(19)
J (2)	4085(1)	4352(1)	1615(1)	C (5)	1999(18)	2550(13)	5280(18)
N(1)	2712(14)	3129(9)	4564(14)	C (6)	127(24)	4099(14)	3079(24)
N (2)	1106(16)	2039(11)	4498(17)	C (7)	-1024(23)	4607(16)	2896(24)
N (3)	620(14)	3675(10)	1996(13)	C (8)	-1630(21)	4669(13)	1556(23)
N (4)	498(17)	3321(11)	-365(17)	C (9)	-1156(18)	4265(12)	452(21)
C (1)	3586(18)	3634(13)	5325(20)	C (10)	-8(17)	3767(12)	711(17)
C (2)	3814(20)	3607(14)	6778(19)				

Структура комплекса состоит из дискретных молекул состава $[ZnJ_2(H_2NC_5H_4N)_2]$. На рисунке показана геометрия молекулы (станд. откл. для расстояний между легкими атомами не превышает $0,04 \text{ \AA}$).

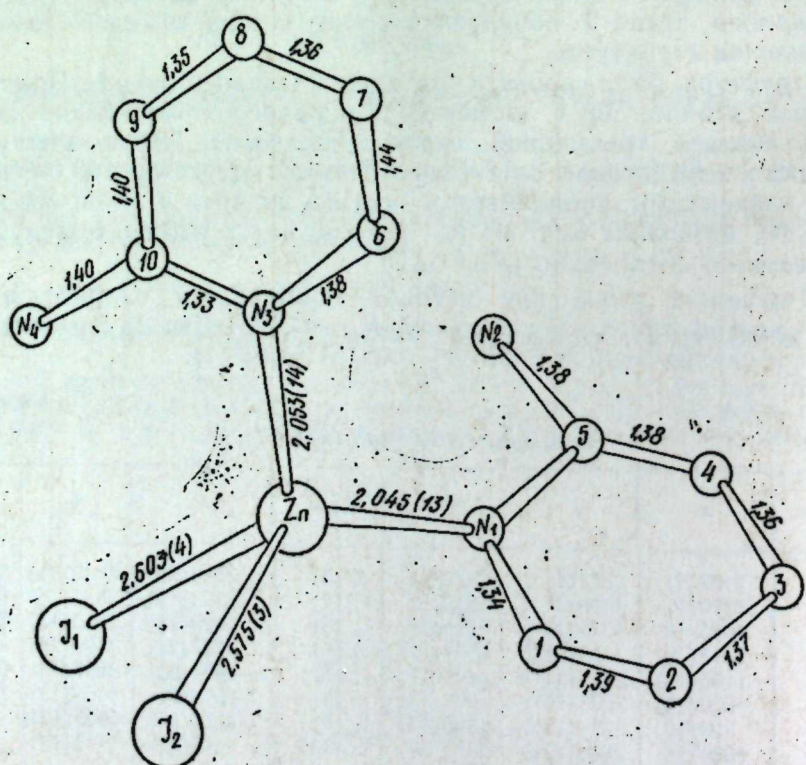
Валентные углы в координационном полиэдре атома Zn приведены в табл. 2.

Таблица 2

Валентные углы в координационном полиэдре атома Zn и ω в град.

Угол	ω
J (1) Zn J (2)	111,2(2)
J (1) Zn N (1)	110,0(4)
J (1) Zn N (3)	113,8(4)
J (2) Zn N (1)	110,2(4)
J (2) Zn N (3)	108,2(4)
N (1) Zn N (3)	105,1(5)

Атом цинка находится в центре искаженного тетраэдра, образованного двумя атомами йода ($Zn-J(1) 2,003(4) \text{ \AA}$, $Zn-J(2) 2,575(3) \text{ \AA}$) и двумя атомами азота двух молекул 2-аминопиридина, которые связаны с атомом металла атомами азота пиридинового кольца: $Zn-N(1) 2,045(13) \text{ \AA}$ и $Zn-N(3) 2,053(14) \text{ \AA}$ (табл. 2).



Валентные углы при центральном атоме лежат в пределах $105,1(5)-113,8(4)^\circ$. Средние значения длин связей $Zn-J$ $2,589 \text{ \AA}$ близки к найденным в других комплексах цинка [1-7], а средние значения длии связей $Zn-N$ $2,049 \text{ \AA}$ практически совпадают со средними расстояниями $Zn-N$, установленными для тетраэдрических комплексов $2,049 \text{ \AA}$ в $ZnCl_2(C_6H_5N)_2$ [1]; $2,044 \text{ \AA}$ в $ZnCl_2(4-CH_3-C_5H_4N)_2$ [2]; $2,047 \text{ \AA}$ в $ZnCl_2(4-CH_2-CH-C_5H_4N)_2$; $2,064 \text{ \AA}$ в $ZnCl_2(4-CH-C_5H_4N)_2$ [3] и $2,056 \text{ \AA}$ в $Zn(n-H_2NC_6H_4COO)_2 \cdot 1,5 H_2O$ [4], но меньше расстояний $Zn-N$, найденных для октаэдрических пиридиновых аддуктов цинка $2,165 \text{ \AA}$ в [5], $2,156 \text{ \AA}$ в [6] и $2,147 \text{ \AA}$ в [7].

Все межмолекулярные контакты близки или больше сумм соответствующих ван-дер-ваальсовских радиусов.

Литература

1. Steffen W. L., Palenik G. J. Acta Crystallogr., v. 11, № 1, p. 41, 1958
2. Lynton H., Sears M. C. Canad. J. Chem., v. 49, № 21, p. 3418, 1971.
3. Steffen W. L., Palenik G. J. Inorg. chem., v. 16, № 5, p. 1119, 1977.
4. Амирасланов У. Р., Наджафов Г. Н., Усубалиев Б. Т., Мусаев А. А., Мовсумов Э. М., Мамедов Х. С. Журн. структ. химии, т. 21, № 3, с. 140, 1980.
5. Cameron A. F., Taylor D. W., Nuttal R. H. Dalton Trans., № 15, p. 1603, 1972.
6. Pretorius J. A., Boeyens J. C. A. J. Inorg. Nucl. Chem., v. 40, № 10, p. 1745, 1978.
7. Pretorius J. A., Boeyens J. C. A. J. Inorg. Nucl. Chem., v. 40, № 3, p. 407, 1978.

АГУ им. С. М. Кирова

Поступило 28. XII, 1983

б. З. Эмэнов, Д. А. Иашвили, А. Н. Шнулин, Н. И. Гусева,
А. А. Ахундова, М. А. Порај-Кошитс

ДИ-ЙОД-БИС-(2-АМИНОПИРИДИН)-СИНК БИРЛЭШМЭСИННИН КРИСТАЛЛИК ВӘ МОЛЕКУЛJАР ГУРУЛУШУ ҚАГЫНДА

Мәғаләдә Құрғұстан Политехник Институтунын профессору К. В. Синсадзе тәрэ-финдән алғыныш ди-йод-бис-(2-аминопиридин)-Zn(II)= $(C_5H_4NH_2)_2ZnJ_2$ бирләшмәсіннің рентгендурулуш тәддигинидән бәлс олуулар.

Кристаллар моноклинік, элементар гәфесин параметрләри $a=10,251 \text{ \AA}$, $b=15,463 \text{ \AA}$, $c=9,604 \text{ \AA}$, $\beta=96,13^\circ$, $V=1513,2 \text{ \AA}^3$, $Z=4$, фәзә групу $P2_1/n$ -дир.

Ики пиридин молекулунун ики азот үзү ики юд атому метал атому тетраэдрида тетраедрик вәзијәт жарады.

Координасия полиедри азча мејлли тетраедрdir.

A. Z. Amanov, D. A. Iashvili, A. N. Shnulin, N. I. Guseva,
A. A. Akhundova, M. A. Poral-Koshits

ON CRYSTALLINE AND MOLECULAR STRUCTURE OF DI-IODINE-BIS-(2-AMINOPYRIDINE)-ZINC (II)

The roentgenstructural investigation of the compound of di-iodine-bis-(2-aminopyridine)-Zn (II)-(C₅NH₄NH₂)₂ZnJ₂, obtained by professor G. V. Tsintsadze in the Georgian Polytechnical Institute, was conducted.

The crystals are monoclinic, parameters of elementary cell are the following: $a = 10,251$, $b = 15,463$, $c = 9,604 \text{ \AA}$, $\beta = 96,13^\circ$, $V = 1513,2 \text{ \AA}^3$, $z = 4$, space group $P2_1/n$.

Two nitrogen atoms of the two substituted molecules of pyridine and two iodine atoms coordinate the metallic atom along tetrahedral positions. Coordinated polyhedron is a slightly distorted tetrahedron.

УДК 66.094.37(547.592)

ОРГАНИЧЕСКАЯ ХИМИЯ

А. А. ДАШДАМИРОВА, Ф. М. МАМЕДОВ, Х. И. САДЫХОВА, Ш. Г. ҚАСУМОВ,
акад. Т. Н. ШАХТАХТИНСКИЙ

КАТАЛИТИЧЕСКОЕ ОКИСЛЕНИЕ В ЖИДКОЙ ФАЗЕ ИЗОМЕРОВ МЕТИЛЦИКЛОГЕКСЕНА КИСЛОРОДОМ ВОЗДУХА

Продукты жидкофазного окисления циклоолефинов являются ценными мономерами для органического синтеза малой химии.

В литературе [1] описаны методы инициированного жидкофазного окисления циклоолефинов молекулярным кислородом. Однако каталитическое жидкофазное окисление циклоолефинов почти не исследовано.

В литературе известно лишь несколько работ, посвященных каталитическому окислению циклоолефинов, в которых заместители находятся в α -положении к двойной связи.

В работе [2] исследовано каталитическое окисление 1-метилцикlopентена в жидкой фазе в присутствии солей марганца и кобальта. Авторами установлено, что основным продуктом реакции является гидроперекись 1-метилцикlopентена.

Исследовано [3] каталитическое жидкофазное окисление α -алкилзамещенных цикlopентена и циклогексена кислородом воздуха в присутствии бензоилцикlopентадиенилтрикарбонил марганца. Авторами выявлено, что основными продуктами реакции являются соответствующие непредельные α -алкилзамещенные кетоны с примесью гидроперекиси и непредельных спиртов.

Однако следует отметить, что реакция каталитического окисления β - и γ -алкилзамещенных циклоолефинов (алкильные радикалы находятся в β - и γ -положении по отношению к двойной связи) молекулярным кислородом воздуха не исследована.

Данная статья посвящена изучению реакции жидкофазного окисления 3- и 4-метилциклогексена в присутствии органических комплексов железа как катализатора.

Исследовано влияние различных параметров (температура, продолжительность реакции, количество катализатора, расход кислорода воздуха) на степень превращения исходных циклоолефинов и состав получаемых продуктов.

Окисление 4-метилциклогексена проводилось при 40—100° и продолжительности реакции 1—6 ч. Количество катализатора ферроцена составляло 0,025—0,2 г на 1 моль олефина, расход кислорода воздуха—0,1—0,4 л/мин.

Как и следовало ожидать, увеличение температуры и продолжительности реакции приводит к увеличению выхода продуктов ее окисления. Наряду с основным продуктом окисления — 4-метилциклогексена гидроперекисью, получаются также окиси, непредельные спирты и кетоны,

суммарное количество которых составляло 50—55 вес. % на превращенный циклоолефин при продолжительности опыта 5 ч.

Установлено, что при увеличении температуры выше 90°С, времени реакции более 5 ч и количестве катализатора выше 0,05 г/моль, происходит образование высококипящих кислородсодержащих соединений. Количество окисляющего газа — кислорода воздуха почти не влияет на степень превращения циклоолефина и качественный состав продуктов, полученных в результате реакции. Результаты опытов сведены в таблицу.

Таким образом, выявлены оптимальные условия окисления 4-метилциклогексена в жидкой фазе при атмосферном давлении в присутствии катализатора — комплекса железа.

Результаты каталитического окисления 4-метилциклогексена в жидкой фазе кислородом воздуха (кол-во катализатора-0,05 г на моль олефина, продолжительность-5 ч)

Т-ра реакции °С	Состав оксида 4-метилциклогексена, вес %				
	непрореагиро- вавший цикло- олефин	гидропере- кись	окись	непредельный спирт	непредельный кетон
40	92,6	6,1	0,7	0,24	0,36
60	88,2	9,11	0,73	0,86	1,1
80	51,2	28,3	4,0	7,3	9,2
90	20,4	42,87	9,74	11,61	15,38
100	20,0	43,6	8,5	10,3	17,6

Нами также исследовано жидкофазное каталитическое окисление 3-метилциклогексена при условиях, оптимальных для окисления 4-метилциклогексена.

Продуктами окисления 3-метилциклогексена являются соответствующие гидроперекиси, окиси, непредельные спирты и кетоны.

Исходные 3- и 4-метилциклогексены получались по известной методике и выделялись путем ректификации из продуктов конденсации дieneовых углеводородов C_4 — C_5 с олефинами C_2 — C_3 . 3- и 4-метилциклогексены были хроматографически чистыми.

С целью очистки от продуктов автоокисления, исходный олефин перед началом опыта предварительно перегонялся.

Окисление проводилось в реакторе, изготовленном из стекла марки «пирекс».

Наличие продуктов окисления и их количество определено ГЖХ-методом анализа, специально разработанным нами для проводимой работы. Анализ оксида проводили на аппарате «Цвет-100» с использованием детектора ионизации. Стеклянная колонка длиной 0,5 м и диаметром 6,0 мм была заполнена хроматоном зернением 0,2—0,025 мм, в качестве жидкой неподвижной фазы использовался динопилфталат в количестве 12% от веса носителя. Рабочая температура колонки была 85°С, а испарителя — 120°С.

Литература

- Сыров А. А., Цисковский В. К. Усп. химии, т. 39, 1970, вып. 5.
- Беляев В. Ф. Уч. зап. БГУ им. В. И. Ленина, вып. 42, серия хим. наук, с. 249.

1958. З. Шахтахтинский Т. Н., Мамедов Ф. М., Багиров Ш. Т., Гинзбург А. Т., Касумов Ш. Г. Авт. свид. СССР, № 833 943, опубл. 30. 05 1981.
Бюлл. № 20. 4. Онищенко А. С. Диеновый синтез. Изд-во АН СССР, 1963.

Институт теоретических проблем
химической технологии АН Азерб. ССР

Поступило 8. VIII 1980

А. А. Дашдамирова, Ф. М. Мамедов, Х. И. Садыкова, Ш. Г. Гасымов,
Т. Н. Шахтахтинский

**МЕТИЛСИКЛОХЕКСЕН ИЗОМЕРЛƏРИНИН МАЈЕ ФАЗАДА ҖАВА
ОКСИКЕНИНИН ИШТИРАҚЫ ИЛЭ КАТАЛИТИК ОКСИДЛƏШДИРИЛМЭСИ**

З-ва 4-метилсиклохексенлəри мaje фазада феросенин иштиракы илэ оксидлəшдирилмəсini тəдгиг едилишидир. Мүэйжилəшдирilmishdir ki, просесдən алынаи эасас мəһсулларын чыхымына температур, реаксијанын апарылма мүддəти вə катализаторун мигдары тə'сир көстəрир.

A. A. Dashdamirova, F. M. Mamedov, Kh. I. Sadykova, Sh. G. Kasumov,
T. N. Shakhtakhkinsky

**CATALYTIC OXIDATION OF ISOMERS OF METHYLCYCLOHEXANE IN THE
LIQUID PHASE BY AIR OXYGEN**

The reaction of 3- and 4-methylcyclohexanes was studied in the presence of ferrocene as a catalyst. It was found that the output of the products depended on the temperature, the duration of the reaction and the catalyst amount.

АЗЭРБАЙЧАН ССР ЕЛМЛЭР АКАДЕМИЯСЫНЫН МӘРҮЗЭЛӘРИ

ДОКЛАДЫ АКАДЕМИИ НАУК АЗЕРБАЙДЖАНСКОЙ ССР

ТОМ XL ЧИЛД

№ 7

1984

УДК 66.023:66.094.18

ОРГАНИЧЕСКАЯ ХИМИЯ

Акад. В. С. АЛИЕВ, А. А. АХУНДОВ, Р. Г. РИЗАЕВ, В. С. ГАДЖИ-КАСУМОВ,
Р. М. ТАЛЫШИНСКИЙ, Н. А. БАШИРОВ

**ОПТИМИЗАЦИЯ АДИАБАТИЧЕСКОГО СЕКЦИОНИРОВАННОГО
РЕАКТОРА В ПРОЦЕССЕ ОКИСЛИТЕЛЬНОГО
ДЕГИДРИРОВАНИЯ ИЗОПЕНТАН-ИЗОАМИЛЕНОВЫХ СМЕСЕЙ**

Создание эффективных реакционных аппаратов, универсальных по отношению к исходному сырью — одна из центральных проблем в разработке процессов получения мономеров синтетического каучука методами дегидрирования. Адиабатические секционированные реакторы представляют в этом смысле известный интерес [1], поскольку они обеспечивают: а) возможность длительной эксплуатации стационарных слоев контактов; б) оптимальные выгодные температурные и концентрационные профили в слое катализатора; в) высокую избирательность процесса при относительно больших степенях превращения; г) осуществление реакции в кинетической области без диффузионных осложнений, что обуславливает возможность стабильного управления режимными параметрами.

В зависимости от специфики процесса возможны технологические разновидности адиабатических устройств, классифицируемые по типу утилизации реакционного тепла и способу подачи кислорода.

Так, по типу утилизации тепла аппараты могут быть сконструированы с промежуточной межсекционной утилизацией и без нее, а по способу подачи кислорода — с разовой и посекционной подачей (подпиткой).

С целью наглядной оценки указанных конструктивных вариантов в реакции окислительного дегидрирования изопентан-изоамиленовых смесей была проведена оптимизация процесса. Выбор в качестве сырья изопентан-изомиленовых фракций диктовался практическими соображениями о наличии сырьевых ресурсов подобного рода, обеспечиваемых процессами изокрекинга [2] и вакуумной перегонки нефти.

В основу математической модели положена система уравнений кинетических и теплового баланса реакции окислительного дегидрирования изопентана в изопрен [3] с граничными условиями:

$$P_{C_5H_{12}} : P_{C_6H_{12}} \geq 1; P_{O_2} : (P_{C_5H_{12}} + P_{C_6H_{12}}) \leq \gamma_{\min}; 0.83 < Sel < 0.98 \\ 15 < Conv < 45.$$

Градиентным методом [4] проведена оптимизация с выбором в качестве критерия съема изопрена (производительность единицы объема катализатора $g = \frac{v}{A \cdot u}$).

При различных входных значениях парциальных давлений углеводородов C_5 и кислорода были сопоставлены адиабатические реак-

торы с промежуточным теплосъемом и без него. Односекционный аппарат с разовой подачей кислорода специально не анализировался, так как его оценка обеспечивалась решением более общей задачи оптимизации.

На рис. 1, 2 ($P_{C_5H_{12}}^0 = 0,0208$ ат, $P_{C_5H_{10}}^0 = 0,0166$ ат) ($P_{C_5H_{10}}^0 = P_{O_2}^0 = 0,058$ ат) показаны оптимальные распределения технологических

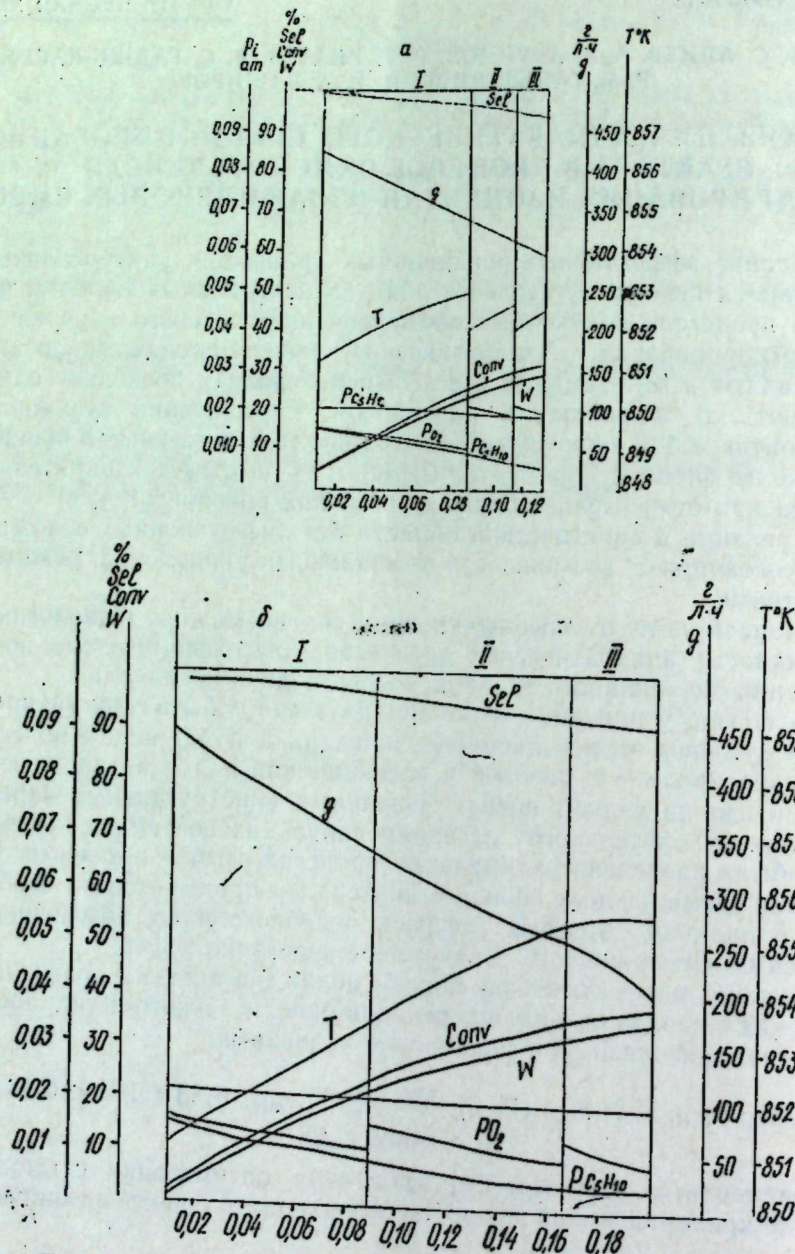


Рис. 1. Псекционное распределение основных технологических параметров ($P_{C_5H_1}^0 = 0,0208$ ат, $P_{C_5H_{10}}^0 = 0,0166$ ат): а—с промежуточным теплосъемом; б—без промежуточного теплосъема

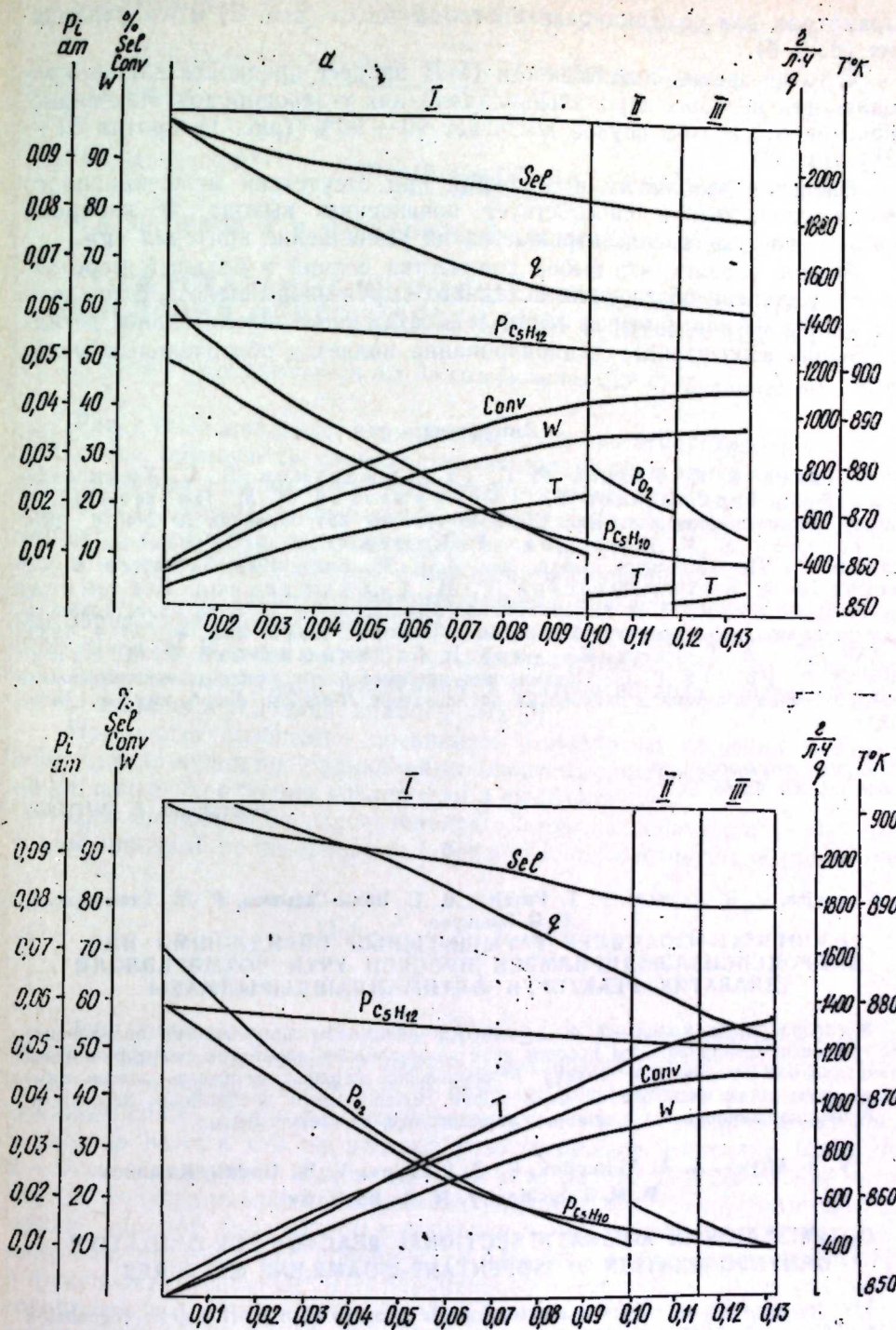


Рис. 2. Оптимизация процесса в адабатическом секционированном реакторе ($P_{C_5H_1}^0 = P_{C_5H_{10}}^0 = 0,058$ ат): а—с промежуточным теплосъемом; б—без промежуточного теплосъема.

параметров для межсекционного отвода тепла (поз. а) и без утилизации (поз. б).

С точки зрения селективности (Sel) процесс предпочтительнее проводить при меньших парциальных давлениях углеводородов. Как видно, значение Sel в этом случае достигает 90—96% (рис. 1) против 81—83% (рис. 2).

Введение дополнительных секций при отсутствии межсекционного отвода тепла, хотя и способствует повышению выхода W изопрена (рис. 1), но существенно отражается на уменьшение критерия «g».

Можно сказать, что выбор количества секций в большей мере зависит от степени обогащения исходного сырья изоамиленом. В пределе при работе на парафиновом сырье (одностадийное окислительное дегидрирование изопентана), секционирование является обязательным условием.

Литература

1. Алиев В. С., Ризаев Р. Г., Гаджи-Касумов В. С., Талышинский Р. М., Тер-Саркисов Б. Г., Сейфуллаева Ж. М. Пилаева Л. П. Способ получения дивинила. Пат. США № 4198586; пат. Франции № 244019, 1978.
2. Рустамов М. И., Фархадова Г. Т., Мамедов Х. Т., Агаева Р. Р. Мат.-лы XII Менделеевского съезда, вып. 4, с. 38. Баку, 1981.
3. Алиев В. С., Ахундов А. А., Талышинский Р. М., Гаджи-Касумов В. С., Ризаев Р. Г., Баширов Н. А. Математическое моделирование процесса одностадийного окислительного дегидрирования изопентана в изопрен. Азерб. хим. ж., № 4, 1983.
4. Ахундов А. А., Гаджи-Касумов В. С., Талышинский Р. М., Баширов Н. А., Ризаев Р. Г. Оптимизация процесса одностадийного окислительного дегидрирования *n*-бутана в дивинил на латализаторе Л-8Н-2М, Азерб. хим. ж., № 5, 1982 г.

Институт нефтехимических
процессов АН Азерб. ССР

Поступило 6. VI 1983

В. С. Элиев, Э. Э. Ахундов, Р. Г. Ризаев, В. С. Іачы-Гасымов, Р. М. Талышинский,
Н. Э. Баширов
ИЗОПЕНТАН-ИЗОАМИЛЕН ГАРЫШЫНЫНЫҢ ОКСИДЛӘШМӘ ИЛЭ
НІДРОКЕНСИЗЛӘШДИРИЛМӘСИ ПРОСЕСИ ҮЧҮН ЧОХМӘРҮӘЛӘИ
АДИАБАТИК РЕАКТОРУН ӨПТИМАЛЛАШДЫРЫЛМАСЫ

Мәгәләдә ријази модел эсасында изопентан-изоамилен гарышының оксидләшмә илэ нідрокенсизләшдирилмәси процесси үчүн чохмәрүәләи адабатик реакторун оптимальлашдырылмасындан бәйс олупур. Мәріләләрни сајынын сечилмәсін эсасон хаммалын тәркибинде олан олефин вә парафин гарышының инсбеттіндән асылышын. Мәгәләдә іншамин оптимал кириш параметрләри дә тапталышты.

V. S. Aliyev, A. A. Akhundov, R. G. Rizayev, V. S. Gadzhi-Kasumov,
R. M. Talyshinsky, N. A. Bashirov

OPTIMIZATION OF ADIABATIC SECTIONAL REACTOR FOR OXIDATIVE DEHYDROGENATION OF ISOPENTANE-ISOAMILENE MIXTURES

The optimization of adiabatic reactor for the process of oxidative dehydrogenation of isopentane-isoamylene mixtures of alternative composition was carried out on the basis of mathematical model.

It is shown that the choice of section quantity depends to a great extent upon olefin-paraffin ratio in the starting raw material. Optimal inlet parameters were determined.

АЗӘРБАЙЧАН ССР ЕЛМЛӘР АКАДЕМИЯСЫНЫҢ МӘРҮЗӘЛӘРИ

ДОКЛАДЫ АКАДЕМИИ НАУК АЗЕРБАЙДЖАНСКОЙ ССР

ТОМ XL ЧИЛД

№ 7

1984

УДК 541.64:542,952,567

ХИМИЯ ВЫСОКОМОЛЕКУЛЯРНЫХ СОЕДИНЕНИЙ

Б. А. МАМЕДОВ, А. В. РАГИМОВ, С. А. ГУСЕЙНОВ, Б. И. ЛИГООНЬКИЙ

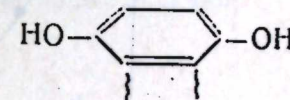
РАДИКАЛЬНЫЕ ПРОЦЕССЫ, ПРОТЕКАЮЩИЕ ПРИ ОКИСЛЕНИИ ОЛИГОГИДРОХИНОНА В ЩЕЛОЧНОЙ СРЕДЕ

(Представлено академиком АН Азербайджанской ССР С. Д. Мехтиевым)

Ранее было показано, что при окислении олиогидрохинона в щелочной среде образуются стабильные полирадикалы семихинонового типа [1], в которых наблюдается возрастание парамагнетизма и электропроводности [2]. Недавно нами установлены основные кинетические закономерности окисления олиогидрохинона в щелочной среде по поглощению кислорода при постоянном давлении последнего [3]. В то же время известно, что окисление мономерных фенолов протекает двухстадийно через образование промежуточных радикалов феноксильного и семихинонового типов [4]. В связи с этим, представляло интерес также исследование изменения концентрации радикальных центров по ходу окисления олиогидрохинона в условиях, аналогичных [3].

Настоящее сообщение посвящено результатам изучения методом ЭПР закономерностей радикальных процессов, протекающих при окислении олиогидрохинона кислородом в щелочной среде.

Для исследования использовался олиогидрохинон, полученный методом анионной полимеризации *p*-бензохинона [5] и имеющий структуру



Окисление олиогидрохинона ($\bar{X}_n = 2+4$ и гидроксильное число 28,4%) было осуществлено в ампуле, помещенной непосредственно в резонаторе спектрометра РЭ-1306. В качестве растворителя использовался этиловый спирт. Раствор олиогидрохинона в этаноле вводили в ампулу, а раствор KOH в том же растворителе загружали в насадку. Систему 2—3 раза продували и присоединяли кислородом, далее давление кислорода поддерживалось постоянным, равным $9,8 \cdot 10^{-4}$ Па. После достижения заданной температуры и проверки герметичности в ампуле к раствору олиогидрохинона, поворачивая насадку, добавляли раствор KOH и фиксировали спектры ЭПР реакционной смеси в ходе окисления олиогидрохинона. Предварительно фиксировался спектр ЭПР исходного олиогидрохинона. В качестве стандарта использовали стабильный радикал 2,2,6,6-тетраметил-4-оксипиперидин-1-оксила.

Согласно [4], феноксильные радикалы, возникающие при окислении мономерных фенолов, являются относительно нестабильными, их время

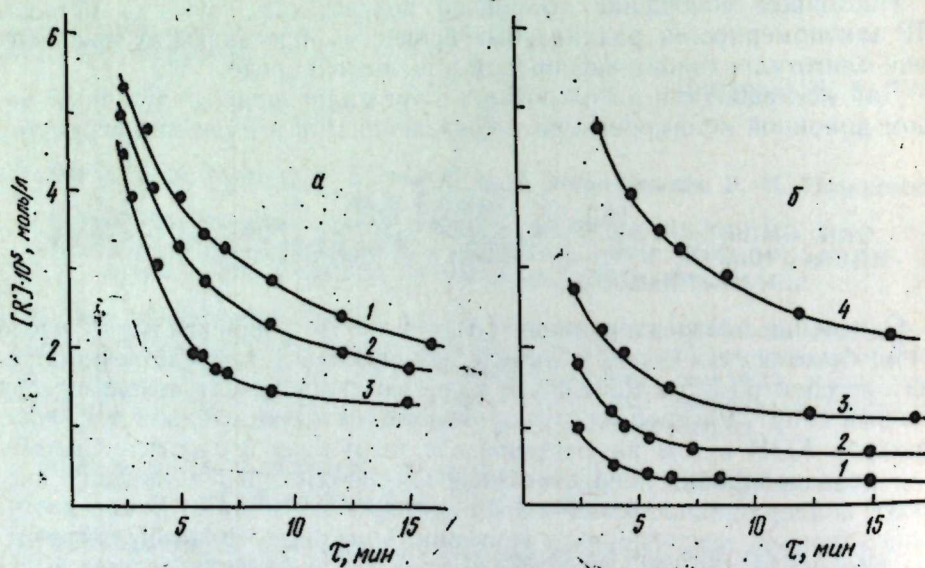
жизни мало. Однако семихионные радикалы в щелочной среде превращаются в стабильные анион-радикалы, время жизни которых заметно увеличивается и они легко фиксируются методом ЭПР [6]. В соответствии с этим, при окислении олигогидрохинона радикальные центры образуются в звеньях олигомера. Щелочная среда позволяет получать звенья в виде анион-радикалов



В то же время полинион-радикалы олигогидрохинона должны быть более стабильными, чем мономерные семихионные анион-радикалы, поскольку появляются дополнительные возможности для стабилизации как вследствие делокализации неспаренного электрона по цепи ароматического сопряжения олигомеров, так и вследствие стерических затруднений и меньшей подвижности для реакции рекомбинации, диспропорционирования и электронного обмена [7].

Результаты ЭПР-измерений показывают, что радикалы образуются очень быстро после добавления раствора щелочи к раствору олигогидрохинона. Экспериментально стадию накопления семихионных радикальных центров этим методом не удается фиксировать.

Как видно из кинетических кривых (см. рисунок), концентрация промежуточных радикальных центров уменьшается во времени. Однако во всех опытах наступает такой момент, когда концентрация радикальных центров в системе становится постоянной.



Зависимость концентрации радикальных центров от времени при окислении олигогидрохинона в щелочной среде: *a*— $[-GX]_0$, моль/л $9,25 \cdot 10^{-2}$; $[KOH]_0$, моль/л $17,9 \cdot 10^{-2}$; $T, ^\circ K: 1 - 305; 2 - 315,2; 3 - 325,2$; *b*— $[-GX]_0$, моль/л $1 - 3,15 \cdot 10^{-2}$; $2 - 4,63 \cdot 10^{-2}$; $3 - 6,20 \cdot 10^{-2}$; $4 - 9,25 \cdot 10^{-2}$

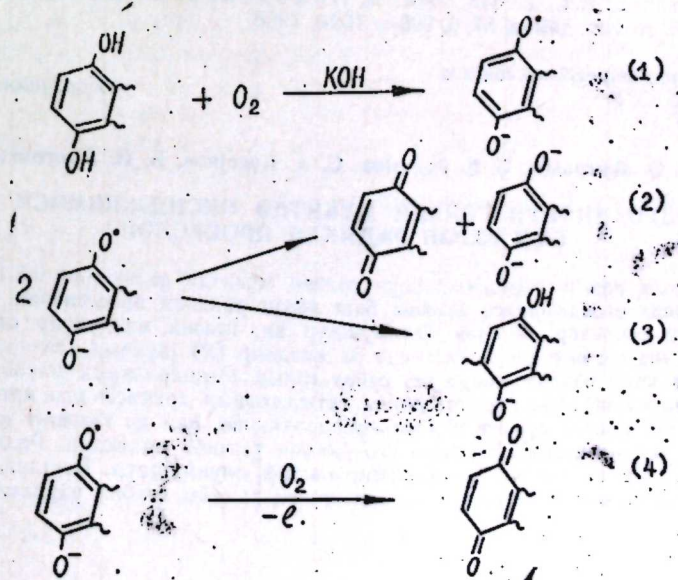
Максимальная концентрация радикалов в системе увеличивается с повышением исходной концентрации гидрохиноновых звеньев и щелочи. Скорость уменьшения концентрации радикальных центров зависит от исходной концентрации гидрохиноновых звеньев по первому порядку. Такая же зависимость наблюдается между исходной концентрацией щелорадикалов и скоростью уменьшения концентрации радикалов. Скорость гибели радикалов имеет приблизительно второй порядок по исходной концентрации радикалов, найденной экстраполяцией кинетических кривых к оси ординат.

Значения констант скорости, найденные из зависимости $W = K_{\text{eff}}[R]^2$, являются достаточно высокими (см. таблицу). Из температурной зависимости скорости уменьшения концентрации радикалов найдено значение энергии активации процесса $E = 14,5$ кДж/моль.

Условия реакции и некоторые кинетические параметры радикальных процессов, протекающих при окислении олигогидрохинонов

$[-GX] \cdot 10^{-2}$, моль/л	$[KOH]_0 \cdot 10^2$, моль/л	$T, ^\circ K$	$W_0 \cdot 10^7$, моль/л·с	$K,$
				5
2	3	4	5	6
9,25	20,83	305	0,96	—
6,20	"	"	0,75	—
4,63			0,58	—
3,10	20,83	305	0,38	—
9,25	17,9	"	0,88	22,8
"	"	315	1,1	28,6
"	"	325	1,42	36,8

На основании литературных данных [4, 7] и полученных результатов можно предположить, что в ходе процесса протекают следующие последовательно-параллельные реакции:



Реакция (1) приводит к образованию радикалов и определяет количество поглощенного кислорода [3]. Гибель радикалов возможна путем рекомбинации резонансных форм (3), электронного обмена (2) и дальнейшего окисления (4) радикалов. Однако в условиях наших измерений п-бензосемихинонные радикалы не взаимодействуют с кислородом [4]. Об этом также свидетельствует второй порядок по концентрации радикалов.

Вклад реакций (2) и (3) в определенной степени должен зависеть от положения звена в макромолекулярной цепи, т. е. от его доступности для соответствующих взаимодействий. Если радикальные центры возникают в последнем звене макромолекулы, то, по-видимому, вероятность реакции рекомбинации радикальных центров концевых звеньев больше, по сравнению с радикальными центрами, находящимися вдоль цепи. Однако определение значения молекулярных масс и растворимости олигогидрохинонов после окисления свидетельствует о том, что радикалы, видимо, гибнут в основном за счет электронного обмена между семихинонными звеньями, т. е. вклад реакции (3) меньше по сравнению с реакцией (2) и должен уменьшаться с повышением молекулярных масс олигогидрохинона.

Таким образом, в случаях, когда олигогидрохинон обладает достаточно высокой молекулярной массой ($X_n \geq 5$) была отмечена возможность образования стабильных радикалов в элементарных звеньях олигогидрохинона.

Литература

- 1 Рагимов А. В., Мамедов Б. А., Лиогонький Б. И., Меджидов А. А., Видади Ю. А., Исмайлова Ч. О. Азерб. хим. ж., 4, 81—84, 1980.
- 2 Видади Ю. А., Рагимов А. В., Мамедов Б. А., Мамедов Ф. Ш., Лиогонький Б. И. ДАН СССР, 253, 1, 135—138, 1980.
- 3 Мамедов Б. А., Рагимов А. В., Гусейнов С. А., Лиогонький Б. И. ДАН Азерб. ССР, № 5, 1982.
- 4 Худяков И. В., Кузьмин В. А. Усп. химии, 44, 10, 1748—1774, 1975.
- 5 Рагимов А. В., Мамедов Б. А., Лиогонький Б. И. Высокомолек. соед., А 19, 11, 2538—2542, 1977.
- 6 Инграм Д. Электронный парамагнитный резонанс в свободных радикалах. ИЛ, с. 345, 1961.
- 7 Походенко В. Д., Хижный В. А., Бидзили В. А. Усп. химии, 37, 6, 998—1024, 1968.

Институт хлорорганического синтеза
АН Азерб. ССР

Поступило 25. II 1982

Б. Э. Мамедов, Э. В. Рэнимов, С. А. Гусейнов, Б. И. Лиогонки

ОЛИГОГИДРОХИНОНУН ГЭЛЭВИ МҮНДТЭ ОКСИДЛЭШМЭСИ ЗАМАНЫ БАШ ВЕРЭН РАДИКАЛ ПРОСЕСЛЭР

« ЕПР методу илэ олигогидрохиноонул голэви мүндтэ окисненин $9.8 \cdot 10^4$ Па олан сабит тээзигиндэ оксидлэшмэс заманы баш верэн радикал просеслэрийн ганунаујгүн-луглары ојрэнишидир. Мүэjjэн олуумушдур ки, голэви мэйлүүлүн олигогидрохиноонун мэйлүүлүн элавэ етдикэ, системдэ радикаллар (R) яраныр. Оиларын гатылыгы мүэjjэн вахта кими азалыр, сонра исэ сабит голыр. Радикалларын максимал гатылыгы [R] системдэ олигомерийн вэ гэлэвийн гатылыгынын артмасы илэ артыр. Радикал мэркээлэрийн [R] азалма сүр'ти нэм олигогидрохиноона, нэм дэ голэвийн көрө биринчи тэргүүтэй, радикал мэркээлэрийн [R] көрө исэ икничч тэргүүтэй маликдир. Радикал мэркээлэрийн эмэлэхэлмэ вэ чөврийн механизми тэклиф олуумушдур. Кестэрилмишидир ки, $X_n > 5$ олдуга олигогидрохиноонул оксидлэшмэс заманы стабил радикал мэркээлэрийн ярана билир.

B. A. Mamedov, A. V. Ragimov, S. A. Guseinov, B. I. Lyogonky

RADICAL PROCESSES INVOLVED IN THE OXIDATION OF OLIGOHYDROQUINONE IN ALKALINE MEDIUM

The regularities of radical processes during oxidation of oligohydroquinone in alkaline medium were studied by the EPR method at constant oxygen pressure of $9.8 \cdot 10^4$ Pa. It is found that in this case the radicals (R^\bullet) are formed, their concentrations are reduced till a certain moment and then become a constant value. The maximum value of $[R^\bullet]$ in the system increases with increasing the initial concentration of oligomer and alkali. The rate of decrease of $[R^\bullet]$ has the first order both with respect to the oligohydroquinone and with respect to the alkali and approximately the second order with respect to $[R^\bullet]$. The mechanism of formation and decay of radical centres is proposed. It is shown that at $X_n > 5$ one may observe a formation of stable radicals in oligohydroquinone units.

УДК 575.576.3:633.11

Ф. К. МЕЖЛУМОВ, М. И. МАМЕДОВ

ЦИТОГЕНЕТИЧЕСКОЕ ИССЛЕДОВАНИЕ ПШЕНИЧНО-РЖАНЫХ ГИБРИДОВ

(Представлено академиком АН Азербайджанской ССР И. Д. Мустафаевым)

Известно, что внимание многих исследователей привлекают пшенично-ржаные гибриды с точки зрения филогении и создания растений, объединяющих наиболее ценные признаки этих двух родов. Однако получить намеченные формы очень трудно [1—3]. Объясняется это сложностью передачи наследственного материала между указанными родами. В этой связи было интересно получить и изучить цитогенетические особенности у пшенично-ржаных гибридов первого поколения, которые обладают рядом очень ценных признаков и свойств.

С 1978 г. нами проводилось скрещивание пшеницы с рожью с целью изучения завязываемости и жизнеспособности гибридных зерен при межродовой гибридизации, для чего использовали мягкую пшеницу Безостая-1, Рожь-К-8203 (из Швеции) и К-10154 (из ФРГ), которые относятся к культурному виду *Secale cereale*.

После этого мы провели анализ всех стадий мейоза у пшенично-ржаных гибридов F₁ с тем, чтобы установить, на какой стадии у них наблюдаются различия в поведении хромосом и охарактеризовать гибриды с наиболее нормальным течением мейоза и наилучшей озаренностью. Для анализа конфигураций хромосом в мейозе колосья пшенично-ржаных гибридов зафиксированы по Ньюкомеру.

Исследования показали, что мейоз у них протекает с большими нарушениями. В M₁ большинство хромосом представлено в виде унивалентов, которые беспорядочно разбросаны по клетке. Из табл. 1 видно, что основная масса клеток M₁ имеет 28 унивалентов (63,9%), один бивалент (18,4%), два бивалента (11,3%). Самое большое количество бивалентов, которое наблюдалось в клетках в M₁, было 3, с частотой 4,6%. Наименьшее количество нарушенных клеток в стадии M₁ было обнаружено в комбинациях Безостая-1 X K-10154. В табл. 2 представлены конфигурации хромосом в M₁ мейоза и у гибридов Безостая-1 X K-10154. Из таблицы видно, что в M₁ 43,3% клеток имеет 28 унивалентов, только у 24,2% M₁ встречается один бивалент, а у 14,2% — два. 3—4 бивалента отмечено в 8,6 и 5,6% случаев. Самое большое количество бивалентов, которое встретилось в M₁ у гибридов, было 6 и 7, при этом такие клетки появились с частотой 0,7 и 0,4% соответственно. В среднем у гибридов Безостая-1 X K-8203 на клетку M₁ приходится 26,66 унивалентов, 0,55-бивалентов и 0,07-тривалентов. А у гибридов Безостая-1 X K-10154 в M₁ приходится 25,83 унивалентов, 1,14 — бивалентов и 0,03 — тривалентов. Следует отметить, что большинство би-

валентов относятся к открытому типу только с одной хиазмой. Но встречаются биваленты закрытого типа с двумя концевыми хиазмами. Триваленты всегда бывают открытого типа. Это приводит к тому, что (у всех гибридов) униваленты, разбросанные по клетке в M₁ не мо-

Таблица 1

Конфигурации хромосом в M₁
у гибридов Безостая-1 X K-8203

Конфигурации хромосом	Частота клеток	
	число	%
28 ₁	181	63,9
1 _n +26 ₁	52	18,4
2 _n +24 ₁	32	11,3
1 _n +3 _n +19 ₁	13	4,6
2 _n +22 ₁	3	1,1
1 _n +1 _n +23 ₁	2	0,7
Всего клеток	283	—

Примечание. В среднем на M₁ приходится 26,66+0,55_n+0,07_n.

Таблица 2

Конфигурации хромосом в M₁
у гибридов Безостая-1 X K-10154

Конфигурации хромосом	Частота клеток	
	число	%
28 ₁	116	43,3
1 _n +26 ₁	65	24,3
2 _n +24 ₁	38	14,2
3 _n +22 ₁	23	8,6
4 _n +20 ₁	15	5,6
5 _n +18 ₁	3	1,1
1 _n +28 ₁	3	1,1
1 _n +6 _n +13 ₁	2	0,7
1 _n +1 _n +23 ₁	2	0,7
1 _n +7 _n +11 ₁	1	0,4
Всего клеток	268	—

Примечание. В среднем на M приходится 25,83+1,14_n+0,03_n.

гут упорядоченно разойтись к двум полюсам в A₁, а поэтому расходятся случайным образом. Из 246 исследованных клеток у гибридов Безостая-1 X K-8203 в A₁ только в 37 клетках (15,0%) имело место правильное расхождение хромосом. А у гибридов Безостая-1 X K-10154 из проанализированных клеток в A₁ было всего 23 клетки (15,1%). В остальных случаях, хромосомы либо распределялись между двумя полюсами (54,1 и 63,1%), либо образовывали три группы и более (30,9 и 21,7%) соответственно. В результате в T₁ вместо двух образуется три, четыре и большее число полюсов.

Во втором делении мейоза у гибридов F₁ уменьшается число клеток с нарушениями. Лишь в АП наблюдается асинхронность. В результате на стадии тетрад у гибридов Безостая-1 X K-8203 образуется только 18,0% нормальных тетрад, остальные либо имеют микроядра (59,4%), либо представлены полиадами (22,6%). Что касается комбинации Безостая-1 X K-10154, то по уровню бивалентной ассоциации и проценту правильности расхождения хромосом она превосходит комбинацию Безостая-1 X K-8203.

Следует отметить, что в полевых условиях процент завязывания гибридных зерен в комбинации Безостая-1 X 8203 составил в среднем 11,4%, а в комбинации Безостая-1 X K-10154 — 5,7%. Однако жизнеспособность гибридных зерен в комбинации Безостая-1 X K-10154 (62,5%) выше, чем Безостая-1 X K-8203 (50,0%). Подобные результаты наблюдали Райли, Чэпмен и Кимбер [4]. Они установили, что в F₁ пшенично-ржаных гибридов в среднем на одну клетку число хромосомных

ассоциаций равно $1,37 \pm 0,03$ с колебанием от 0 до 5. При изучении мейоза аналогичная картина обнаружена Лебедевым [5] у пшенично-ржаных гибридов. Автор отметил, что у пшенично-ржаных гибридов в отдельных МКП встречается 1—2н, образующиеся в результате аутосинтеза хромосом пшеницы.

Отмеченные нарушения мейоза наблюдались и в нашей работе. Ранее отметили, что число бивалентных хромосом Безостая-1 X K-8203 в M₁ варьирует от 0 до 3. Самое большое количество бивалентов, которое встретилось в M₁ у гибридов Безостая-1 X K-10154 — 7.

Имеются и другие мнения, высказываемые разными авторами, относительно природы нарушений в мейозе у пшенично-ржаных гибридов. Однако Зеленский и Дорошенко [6] подобное не наблюдали. В результате скрещивания пшеницы с рожью они выявили полный асинтез у пшенично-ржаных гибридов. Зеленский [7] обнаружил у пшенично-ржаных гибридов первого, а также и более поздних поколений, разбросанность хромосом по веретену. Это выражается в том, что вместо тетрад образуются полиады.

В исследованных нами пшенично-ржаных гибридах мы установили, что у Безостая-1 X K-8203 на стадии тетрад только 18,0% образуется нормальных остальные тетрады либо имеют микроядра (59,4%), либо представлены полиадами (22,6%). А у гибридов Безостая-1 X K-10154 на стадии тетрад 21,5% клеток без нарушений, 59,0% — с микроядрами, а 19,4% клеток — полиады.

На основании проведенных нами цитогенетических исследований можно предположить, что конъюгация хромосом произошла между гомологичными хромосомами пшеницы, а в отдельных случаях в результате аутосинтеза хромосом ржи.

Литература

1. Писарев В. Е., Жилкина М. Д. Генетика, № 4, 3—12, 1967.
2. Цитогенетика растений. Сб. науч. тр. Казан. гос. ун-та. Казань, 1958.
3. Шулыдин А. Ф., Наумова Л. Н. Цитология и генетика. Репн. меж-вед. сб., вып. 2, 57—62, 1966.
4. Reley R., Chapman V., Kimbrel G. Genetic control of chromosome.
5. Лебедев В. Н. Новые явления в пшенично-ржаных гибридах. Изд-во Укр. науч. исслед. ин-та сахарной пром-ти. Киев, 1932.
6. Зеленский В. Р., Дорошенко А. В. Труды по прикл. ботан., генет. и селек., 14, № 1, 185, М., 1924—1925.
7. Зеленский В. Р. Сб. Новая деревня. М., 1924.

Институт генетики и селекции
АН Азерб. ССР

Поступило 24. XII 1981

Ф. Г. Мәчиунов, М. И. Мәммәдов

БҮГДА-ЧОВДАР ҺИБРИДЛӘРИНИН СИТОКЕНЕТИК ТӘДГИГИ

Безостая-1×K-8203 ва Безостая-1×K-10154 һибридләриндә мейоз белгүмәнин, метафаза I (M₁) мәріләсендә бивалентләrinin мигдары 0—7 арасында даёшилir. Безостая-1×K-8203 һибридinin һәр bir һүчәрасында орта несабла 26,66 унивалент, 0,55 бивалент, 0,07 тривалент, Безостая-1×K-10154 һибридиндә исә 25,83 унивалент, 1,14 бивалент ва 0,03 тривалент олур. Нәтичәдә мейозун M₁-дә хромосомларын 63,9 ва 43,3 фази унивалент шәклинде олур.

Күмән етмәк олар ки, бүгда-човдар һибридләриндә хромосомларын конъюгасијасы экසэрән бүгданын гомологи хромосомларының, надир, налда исә човдарын аутосинтез хромосомларының несабына кедир.

72

F. K. Mezhilumov, M. I. Mamedov

CYTogenETICAL INVESTIGATIONS OF WHEAT-RYE HYBRIDS

In M₁ of meiosis in hybrids Bezostaya-1 × K-8203 and Bezostaya-1 × K-10154 number of bivalents varies from 0 to 7. In hybrids Bezostaya-1 × K-8203 the number of univalents is 26, 66, bivalents—0,55 and trivalents—0,07. There are 25,83 univalents, 1,14 bivalents and 0,03 trivalents in M₁ of the hybrids Bezostaya-1 × K-10154. In M₁ of meiosis (63,9% and 43,3%, respectively) the chromosomes are represented as univalents. We can suggest that the chromosome pairing takes place between the homologous wheat genomes, at the expense of autosome synthesis of rye chromosomes.

Бүгда-човдар һибридләриндә мейоз белгүмәнин, метафаза I (M₁) мәріләсендә бивалентләrinin мигдары 0—7 арасында даёшилir. Безостая-1×K-8203 һибридinin һәр bir һүчәрасында орта несабла 26,66 унивалент, 0,55 бивалент, 0,07 тривалент, Безостая-1×K-10154 һибридиндә исә 25,83 унивалент, 1,14 бивалент ва 0,03 тривалент олур. Нәтичәдә мейозун M₁-дә хромосомларын 63,9 ва 43,3 фази унивалент шәклинде олур.

Күмән етмәк олар ки, бүгда-човдар һибридләриндә хромосомларын конъюгасијасы экса-

рән бүгданын гомологи хромосомларының, надир, налда исә човдарын аутосинтез хромосомларының несабына кедир.

Бүгда-човдар һибридләриндә мейоз белгүмәнин, метафаза I (M₁) мәріләсендә бивалентләrinin мигдары 0—7 арасында даёшилir.

Безостая-1×K-8203 һибридinin һәр bir һүчәрасында орта несабла 26,66 унивалент,

0,55 бивалент, 0,07 тривалент, Безостая-1×K-10154 һибридиндә исә 25,83 унивалент,

1,14 бивалент ва 0,03 тривалент олур. Нәтичәдә мейозун M₁-дә хромосомларын 63,9

ва 43,3 фази унивалент шәклинде олур.

Күмән етмәк олар ки, бүгда-човдар һибридләриндә хромосомларын конъюгасијасы

экса-

рән бүгданын гомологи хромосомларының, надир, налда исә човдарын аутосинтез хромосомларының несабына кедир.

Бүгда-човдар һибридләриндә мейоз белгүмәнин, метафаза I (M₁) мәріләсендә бивалентләrinin мигдары 0—7 арасында даёшилir.

Безостая-1×K-8203 һибридinin һәр bir һүчәрасында орта несабла 26,66 унивалент,

0,55 бивалент, 0,07 тривалент, Безостая-1×K-10154 һибридиндә исә 25,83 унивалент,

1,14 бивалент ва 0,03 тривалент олур. Нәтичәдә мейозун M₁-дә хромосомларын 63,9

ва 43,3 фази унивалент шәклинде олур.

Күмән етмәк олар ки, бүгда-човдар һибридләриндә хромосомларын конъюгасијасы

экса-

рән бүгданын гомологи хромосомларының, надир, налда исә човдарын аутосинтез хромосомларының несабына кедир.

Бүгда-човдар һибридләриндә мейоз белгүмәнин, метафаза I (M₁) мәріләсендә бивалентләrinin мигдары 0—7 арасында даёшилir.

Безостая-1×K-8203 һибридinin һәр bir һүчәрасында орта несабла 26,66 унивалент,

0,55 бивалент, 0,07 тривалент, Безостая-1×K-10154 һибридиндә исә 25,83 унивалент,

1,14 бивалент ва 0,03 тривалент олур. Нәтичәдә мейозун M₁-дә хромосомларын 63,9

ва 43,3 фази унивалент шәклинде олур.

К. Т. ФАРХАДОВ

МОЛЛЮСКИ И ИХ РОЛЬ В РАСПРОСТРАНЕНИИ ПРОТОСТРОНГИЛИДОЗОВ В НАХИЧЕВАНСКОЙ АССР

(Представлено академиком АН Азербайджанской ССР М. А. Мусаевым)

Видовой состав моллюсков и их роль в распространении легочных нематод овец в Нахичеванской АССР не был изучен, за исключением сообщений Я. Г. Гаджиева [3, 4] и Я. М. Сейдова [6] по некоторым вопросам протостронтглилоза.

Учитывая важность изучения данного вопроса, нами в 1977—1980 гг. на территории Нахичеванской АССР проводились специальные исследования, в результате выявлено 13 видов наземных и один вид пресноводных моллюсков. В определении этих видов мы руководствовались работами Н. Н. Акрамовского [1, 2] и И. М. Лихарева, Е. М. Раммейера [5]. Одновременно достоверность этих видов проверялась и была подтверждена руководителем группы изучения моллюсков Института зоологии АН Арм. ССР Н. Н. Акрамовским, за что выражаем ему свою признательность.

В табл. 1 дается распределение видов моллюсков. Из этой таблицы также видно, что в горных зонах моллюски менее распространены, чем

Таблица 1

Распределение обнаруженных моллюсков по районам Нахичеванской АССР

№ пп	Виды моллюсков	Районы				
		Ильчев- ский	Бабек- ский	Шахбуз- ский	Джуль- финский	Орду- бадский
1	<i>Chondrula tridens</i>					
2	<i>Jamnia isseliana</i>	+	+	+	+	
3	<i>Imparietula sieversi</i>	+			+	
4	<i>Imparietula pupoides</i>	+			+	
5	<i>Napaeopsis hohenackeri</i>	+	+	+	+	+
6	<i>Buliminus urmianus</i>					
7	<i>Xerosecta crenimargo</i>					
8	<i>Xeropicula derbentina</i>	+	+	+	+	
9	<i>Hesseola solidior</i>	+	+	+	+	+
10	<i>Euomphalia radergiensis</i>					
11	<i>Zenantina escheriana</i>		+	+		
12	<i>Helix lucorum</i>	+		+		
13	<i>Zimax sp.</i>	+	+	+		
14	<i>Radix logatis</i>	+	+	+		+

в предгорно-низменных. К горным зонам относятся Ордубадский и Шахбузский районы. Виды *N. hohenackeri* и *X. derbentina* отмечаются во всех районах Нахичеванской АССР.

Плотность населения моллюсков на 1 м² составляет, в зависимости от вида 1—3 (*H. lucorum*), 3—8 (*X. crenimargo*, *E. revergiensis*), 11—40 экз. (*N. hohenackeri*).

Часто встречающимися видами в Нахичеванской АССР являются *X. derbentina* и *N. hohenackeri*, хотя на 1 м² приходится 11—30 и соответственно 17—32 экз., эти виды занимают большие площади в районе исследований по сравнению с другими видами моллюсков. Однако численность моллюсков крайне непостоянна и колеблется по годам и сезонам.

В Нахичеванской АССР в пределах полупустынной зоны имеются глубокие ущелья, образованные эрозионной деятельностью рек. В глубоких щелях стенок, скал и ущелий обитают крупные улитки *L. eschrigiana*. В основном они укрываются в своих убежищах только весной и осенью в дождливую погоду выходят наружу.

Улитки *X. derbentina*, *N. hohenackeri* прикрепляются к стеблям трав и листвьев кустарников. Мы обнаруживали их даже на высоте 2 м на стволе яблоневого дерева в декабре 1981 г. Нами обнаружен редкий вид моллюсков *B. urmianus*, который распространен в предгорно-низменной зоне Нахичеванской АССР в трещинах скал, около кустов *B. urmianus*, ведет ночной образ жизни, прячась с наступлением рассвета, очень хорошо переносит засуху, сохраняя при этом жизнеспособность. С 7 апреля 1980 г. собранные моллюски мы держали в лаборатории в коробке. После 233 дней хранения, 27 ноября 1980 г., их перенесли в увлажненные места и смочили водой. Спустя 13 ч они начали активно двигаться и укрываться под листья и землю.

Кроме того мы изучали некоторые особенности биологии *X. derbentina*. Еще в апреле моллюски находились в состоянии спячки. 26 апреля 1980 г. при 15°C и относительной влажности 65% моллюски начали активно двигаться. В мае они активно ползая, мигрировали по растениям, в июне-июле откладывались яйца. Зараженность моллюсков личинками протостронтглилоз встречается у всех видов наземных моллюсков, найденных нами на территории Нахичеванской АССР. Это показано в табл. 2.

Из табл. 2 видно, что *X. derbentina* сильно заражены (19,57%) протостронтглилами. По инвазированности моллюсков личинками протостронтглил на территории Нахичеванской АССР *N. hohenackeri* занимает второе место (18,22%). У них интенсивность инвазии колеблется в пределах 1—18 экз. Низкая инвазия отмечается (2,61%) у моллюсков *B. urmianus*. Из исследованных 153 особей — 4 экз. были заражены цистокапулами. Этот вид моллюсков найден только в одном месте на территории Нахичеванской АССР и имеет малый контакт с личинками.

Из исследованных 14 видов моллюсков 12 были заражены протостронтглилами. Во второй половине года увеличивается как интенсивность зараженности моллюсков личинками протостронтглил.

Наблюдения за моллюсками показывают, что в июне месяце появляются молодые особи, за счет которых плотность населения возрастает. В это время, используя благоприятные условия, в природе увеличивается количество выделяющихся из животных личинок протостронтглил и других гельминтов. Соответственно, заражение моллюсков в животных личинками протостронтглил нарастает.

Надо отметить, что больные животные выделяют личинки в течение всего года, но летом от жары, а зимой от заморозков многие личинки погибают, поэтому в указанные месяцы инвазия падает.

Личинки, находящиеся внутри экскрементов животных, способны

Таблица 2

Степень инвазированности моллюсков личинками протостронгилид

Виды моллюсков	Кол-во иссл. особей (экз.)	Зарж. протостропн. (экз.)	В том числе личинками		
			протостропн.	цистокаулюсов	мюллериус
<i>Chondrula tridens</i>	562	61	—	61(10,85) 1—7	—
<i>Jamnia isseliana</i>	800	116	20(2,5) 2—3	25(3,12) 1—3	14(1,75) 1—2
<i>Imparietula sieversi</i>	385	29	29(7,53) 1—4	—	—
<i>Imparietula pupoides</i>	430	48	35(8,13) 1—4	13(3,02) 1—2	—
<i>Napaeopsis hohenackeri</i>	2 530	461	256(10,4) 1—7	316(12,49) 1—5	204(8,06) 1—8
<i>Buliminus urmianus</i>	153	4	—	4(3,50) 1—2	—
<i>Xerosecta crenimargo</i>	1 528	254	141(9,22) 1—9	120(7,85) 1—6	82(5,36) 1—3
<i>Xeropicta derbentina</i>	2 856	559	412(14,42) 1—13	307(10,74) 2—9	193(6,75) 1—10
<i>Hesseola solidior</i>	114	4	—	4(3,50) 2—3	—
<i>Eumphalia ravergiensis</i>	360	33	—	15(4,16) 1—4	19(5,27) 1—5
<i>Levantina escheriana</i>	86	6	—	2(2,32) 1—5	4(4,65) 1—6
<i>Helix lucorum</i>	147	18	6(4,08) 1—3	11(7,48) 2—13	4(2,72) 1—4
<i>Limax</i> sp.	126	—	—	—	—
<i>Radix lagotis</i>	1 788	—	—	—	—

перезимовывать, а извлеченные из них погибают с наступлением заморозков.

В низменных зонах Нахичеванской АССР иногда отмечаются сухие заморозки, без снега, что губительно действует на личинки. В перезимовавших моллюсках обнаруживаются личинки протостронгилид. Из обследованных 365 перезимовавших моллюсков вида *X. derbentina*, у 4(1,09%) были отмечены личинки этих гельминтов.

Во время наших опытов не наблюдалось, чтобы личинки самостоятельно покидали тела моллюсков. При исследовании проб трав и почвы мы также не обнаружили личинок протостронгилид в инвазионной стадии.

Литература

- Акрамовский Н. Н. Биол. ж. Ереван, XXIV, вып. 6, 1971.
- Акрамовский Н. Н. Фауна Армянской ССР. Моллюски. Изд-во АН Арм. ССР, с. 272, 1976.

3: Гаджиев Я. Г. Труды АзНИВИ, т. XIV, с. 133—144, 1962. 4. Гаджиев Я. Г. Докл. ВАСХНИЛ, № 12, с. 37—38, 1972. 5. Лихарев И. М., Раммейер Е. С. Наземные моллюски фауны СССР Изд-во АН СССР, с 512, 1952. 6. Сенцов Я. М. Труды АзНИВИ, т. XVI, с. 318—324, 1965. 7. Трушин И. Н. Бюлл. ВИГИС, вып. 18, с. 90—95, 1976.

Нахичеванская научно-исследовательская ветеринарная станция

Поступило 6. IV 1982

Г. Т. Фаргадов

НАХЧЫВАН МССР-ДЭ ИЛБИЗЛЭР ВЭ ОНЛАРЫН ПРОТОСТРОНГИЛИДОЗУН ЖАЫЛМАСЫНДА РОЛУ

Нахчыван МССР-ни мүхтәлиф рајонларында апарылмыш тәдгигат иэтчесинде илк дэфэ 13 иев гуру илбиз вэ 1 иев ширин су илбизи ашкар едилишидэр.

Гуру илбизлэрдэ аг чијэр нематодларынын сүрфэ марәласини тапмаг мэгсэдилэ тәчрүб апарылмыш, иэтчэдэ 12 иев гуру илбиздэ протостронгилид (аг чијэр нематодлары) сүрфэлэри талымышдыр. Гуру илбизлэрдэн протостронгилид сүрфэлэри илэ јолухмасына көрө биринчи ёри *X. derbentina* (19,57%) вэ *N. hohenackeri* (18,22%) тутур.

Апарылмыш тәчрүбэ иэтчесинде гышы кечирмийш гуру илбизлэрдэ 1,09% дирит протостронгилид сүрфэлэри мушайнидэ олунмушдур.

K. T. Farhadov

MOLLUSKS AND THEIR ROLE IN THE DISTRIBUTION OF PROTOSTRONGYLIDOSIS IN NAKHICHEVAN ASSR

On the territory of Nakhichevan Autonomous Soviet Socialist Republic 13 species of land mollusks and a species of freshwater mollusk were found. Out of them 12 species were infected with larvae of protostongylidae.

Н. Р. СУЛЕЙМАНОВ

**О МЕТОДЕ ОПРЕДЕЛЕНИЯ ДОЗЫ ВНЕСЕНИЯ ПОЛИМЕРОВ
В ЦЕЛЯХ УЛУЧШЕНИЯ ВОДНО-ФИЗИЧЕСКИХ СВОЙСТВ
ТРУДНОМЕЛИОРИРУЕМЫХ ГЛИНИСТЫХ СОЛОНЧАКОВ**

(Представлено академиком АН Азербайджанской ССР В. Р. Волобуевым)

Мелиорация засоленных земель с низкой солеотдачей входит в число актуальных проблем современного этапа развития мелиоративной науки.

Исследования по промывке почв низменностей Азербайджана показывают, что засоленные почвы республики в большинстве случаев вполне удовлетворительно рассоляются обычной промывкой. Но промывка почв с низкой солеотдачей требует применения более эффективных мер.

Установлено, что затрудненность промывки засоленных почв с низкой солеотдачей связана, в одних случаях с наличием высокой солонцеватости, а в других — с тяжелым механическим составом и высокой дисперсностью почв, обусловливающих их очень низкую водопроницаемость [1, 4].

При промывке такие почвы впитывают лишь незначительную часть поданной воды и вследствие набухания почвы дальнейшее впитывание воды в нее быстро прекращается. Подача же повышенных норм способствует испарению воды с поверхности и диффузии солей из нижних слоев почвы. В результате содержание солей в верхних слоях почв в некоторых случаях даже увеличивается [1].

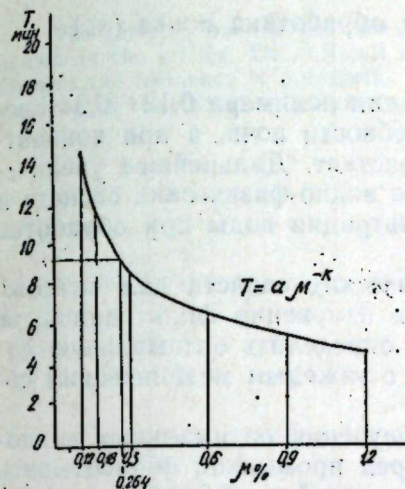
Результаты исследований различных авторов указывают на возможность перспективного подхода в решении вопроса мелиорации трудномелиорируемых глинистых солончаков воздействием на водно-физические свойства почвы, в частности, водопроницаемости, а следовательно ускорение процесса выщелачивания и удаления легкорастворимых солей из почвы.

Воздействие на водно-физические свойства почв с тяжелым механическим составом с помощью химических реагентов на фоне различной агротехнической обработки проводилось довольно многими учеными [1, 2, 3, 5, 6, 7].

Перспективным приемом улучшения структуры почвы является обработка ее специальными препаратами-структураторами. Этот метод впервые предложен Вершиным и Колясовым [5].

К числу предложенных структурообразователей относится лингосульфонаты — производные лигнина, получаемые из отходов целлюлозной промышленности. Показано положительное влияние этих препаратов на структуру дерново-подзолистых, сероземов, светло-каштановых [2, 3, 5, 6] и других почв. Следует отметить, что мелиоративный эффект достигается при использовании достаточно больших доз лингосульфонатов, это несколько снижает их значение как структоры.

В статье приведены результаты предварительных исследований по применению жидкого полимера ВО. Высокая способность растворения его в воде и сохранение физических свойств без изменения на протяжении длительного времени дает возможность широко применять на практике этот препарат.



Кривая изменения скорости фильтрации в зависимости от концентрации полимера

В лабораторных опытах на аппарате Оствальда было изучено действие жидкого полимера на фильтрационные свойства лугово-сероземной солончаковой почвы Ширванской степи.

Для проведения исследований взяты почвы из опытно-производственного участка (ОПУ), который расположен на территории колхоза Низами Уджарского района Азербайджанской ССР. Территория колхоза расположена в шлейфовой зоне конуса выноса р. Геокчай. ОПУ находится в межгривной депрессии, уклон местности $i=0,001$.

Указанные почвы солончаковые, тяжело-глинистые с содержанием 57—78% физической глины, они имеют крайне неблагоприятные водно-физические свойства. Коэффициент впитывания подобных почв колеблется от 0,03 до 0,08 $\text{мм}/\text{ч}$.

Подобные водно-физические свойства препятствуют проведению промывки только водой, а в некоторых случаях эта попытка приводила к реставрации засоления в результате процесса диффузии солей.

Водные растворы этого полимера, применяемые в сельском хозяйстве, содержат 6% ВО. Почва, обработанная подобным раствором, приобретает очень прочную структуру, но плохие водно-физические свойства.

В связи с этим для обработки почвы были приготовлены водные растворы полимера разных концентраций: 0,12; 0,18; 0,3; 0,6; 0,9; 1,2; 6,0%.

Изучая фильтрационные свойства почв, обработанных различными растворами полимера, выяснен диапазон благоприятных водно-физических свойств.

Последующее изучение фильтрационных способностей почв, обработанных водными растворами полимера, показало увеличение коэффициента фильтрации в 2,0—2,5 раза.

Графическое изображение полученных результатов наглядно показывает характер изменения водно-физических свойств почв в зависимости

сти от концентрации водного раствора структурообразователя, которым обработана почва (рисунок).

Кривая, изображенная на рисунке, выражается зависимостью:

$$T = a\mu^{-k} \quad (1)$$

где T — период фильтрации (мин),

μ — концентрация раствора, которым обработана почва (%),
 a и k — параметры кривой.

Из графика видно, что при концентрации полимера $0,12 \div 0,24$ проц. происходит ухудшение фильтрационной способности почв, а при концентрации $0,24 \div 1,2$ % фильтрация резко возрастает. Дальнейшее увеличение концентрации способствует ухудшению водно-физических свойств и ведет к практическому прекращению фильтрации воды при обработке почвы 6%-ным раствором полимера ВО.

Этот характер изменения водно-физических свойств дал возможность найти функциональную зависимость изменения фильтрационной способности от концентрации полимера и определить оптимальную дозу, которой необходимо обработать почву с тяжелым механическим составом (рисунок).

В результате выяснилось, что для получения оптимальных водно-физических свойств необходимо почву перед промывкой обрабатывать водным раствором полимера ВО с концентрацией $\mu = 0,264\%$.

Выводы

1. Применение жидкого полимера ВО в мелиорации почв тяжелого механического состава способствует улучшению водно-физических свойств почв.

2. Применяя различные дозы жидкого полимера можно создать в почве оптимальные водно-физические свойства, которые дадут возможность сократить сроки проведения промывок тяжелых почв в 2—3 раза.

3. Найдена математическая зависимость для определения дозы водного раствора полимера, создающей в почве благоприятные водно-физические свойства.

Литература

1. Абдуев М. Р. Ускоренная мелиорация глинистых солонцов Азербайджана. Баку: Элм 1977.
2. Буйлов В. В., Личко Р. П., Болокитин М. П. Почвоведение, № 7, 1979.
3. Бондарев А. Г. Почвоведение, № 7, 1965.
4. Волобуев В. Р. ДАН Азерб. ССР, № 12, 1951.
5. Колясов Ф. Е., Вершинин П. В. Методы искусственного образования структуры почв: Изд. АСХН СССР, 1935.
6. Качинский Н. А., Месолова А. И., Теймурова Л. Х. Почвоведение, № 12, 1967.
7. Теймуров К. П. Хлопководство, № 4, 1964.

Институт почвоведения и верховой
АН Азерб. ССР

Поступило 20. IX 1981

Н. Р. Сүлејманов

АФЫР КИЛЛИ ШОРАНЛАРЫН СУ-ФИЗИКИ ХАССЭЛЭРИНИ
ЖАХШЫЛАШДЫРМАГ МЭГСЭДИЛЭ ВЕРИЛЭН ПОЛИМЕРИН МИГДАРЫНЫН
ТЭЖИНӨЛҮНМА МЕТОДУ ҮАГГЫНДА

Мэглэдэ ВО маје полимери илэ апарылмыш илкин тэчрүүбэлэрийн иэтничэлэри кес-
тэрилмишдир. Полимерийн афыр механики төркилийн төрпагларын су-физики хассэлэри-

ний дэлжимэснэ тэ'сири өјренилмиш, мајин гатылырынын төрпагын сусызыдырма габилийжтина тэ'сирини характеризэ еден функционал асылылыг танылмышдыр:

N. R. Suleimanov

THE METHOD OF DETERMINATION OF POLYMERS DOSE TO IMPROVEMENT OF WATER-PHYSICAL PROPERTIES OF DIFFICULT CLAY SALINES

The carrying out the first results of the experiment with VO liquid polymers is shown in the article. The difficult mechanical structure of soil water-physical property changes the influence of polymers. The functional dependence of changing filtration capacity of concentration polymers is found.

УДК 417.3

МӘТНШҮНАСЛЫГ

РУГИЛӘ ГӘНБӘР ГЫЗЫ

МҮЧИРӘДДИН БЕЈЛӘГАНИ «ДИВАН»ЫНЫН ЕЛМИ-ТӘНГИДИ
НӘШРИ ҺАГГЫНДА

(Азәрбајҹан ССР ЕА академики Мөммәд Җәфәр Җәфәров тәгдим етмишидир)

Мүчирәддин Бејләгани классик Азәрбајҹан әдәбијатынын көркәмли сималарындан бириди. Мәдәнијјетимизин Ренессанс дөврү сајылан XII јүзилликдә, Хагани вә Низаминин Азәрбајҹан әдәби фикрини, сәнэт вә дүшүнчә аләмини јүксәк зирвәләрә галдырығы дөврдә јашајыб-јаратмыш Мүчирәддин Бејләгани әдәбијат тарихимиздә бөյүк ирс гојуб кетмишидир. Шаирин һәјат вә јарадычылығы һәлә лап гәдимдән башлајараг тәэкирәчи вә тарихчиләрин диггәтини чәлб етмиш вә Азәрбајҹан әдәби мәктәбинин Хагани, Низами вә башта дүңгәларынын әсәрләри илә јанаши суну ше'рләrinин дә үзү көчүрүләрек јајылмаға вә севилмәјә башламышды.

Мүчирәддин Бејләганинин әдәби вә ичтимай фәалийјети мүәјјән вахтларда Азәрбајҹан, рус вә Авропа әдәбијатшүнаслығы вә шәрг-шүнаслығында да бу вә ја дикәр бахымдан тәдгигат објективи чөврилишидир. Бу саңәдә јазылмыш тәгdirәlaјig иш мәшһүр совет шәрг-шүнас алими, ССРИ ЕА мүхbir үзү J. E. Бертелсни «Низами вә Фүзүли» монографиясында шаирә һаср етдији кичик очеркdiр [3, 65—67].

Сон илләрдә Мүчирәддин Бејләганинин тәрчумеји-һалы вә әдәби ирсинни өјрәнилмәси саңесинде јени мәрһәлә башланышды. Һәмmin мәрһәләни Чәнуби Азәрбајҹан алими, филология елмләри доктору Бавил Мәһәммәд-Абади өз елми фәалийјети илә ачмышды. Узун ахтарышлар иәтичәсинде Мәһәммәд-Абади Мүчирәддин Бејләганинин дүнjanын мүхтәлиф өлкәләринин, о чүмләдән Иран, Түркијә вә Иникилтәрәнин китабханаларында сахланылан «Диван»ын әлјазма нүсхәләрини, һәмчинин мөвчуд тәэкире вә чүникләрдә шаирин әсәрләrinidәn кәтирилмиш ше'рләри топлајыб, бир-бирилә тутушдурууб мүгајисәләр апарышды. Он ики әлјазма нүсхәси үзәринде текстологи арашдырма, тутушдурма вә мүгајисә әмәлийјаты апармыш алим Мүчирәддин Бејләгани «Диван»ынын камил елми-тәнгиди мәтниин һазырлајыб, 1978-чи илдә Тәбрizdә иәшр етдиրәрек гијмәтили бир һәдијјә кими мүтәхәссисләrin вә поэзија һәвәскарларынын истифадәсии вәрмишидир [6].

Умуми һәчми 935 сәнифәдән ибарәт ики һиссәли һәмин «Диван» ашағыдақылардан ибарәтди:

1. Өн сөз. Мүәллифи Тәбрiz Университетинин профессору Мәнуучең Мүртәзәви [6, 1—3].

2. Мәһәммәд-Абадинин Мүчирәддин Бејләганинин һәјат вә јардычылығы һаггында јаздығы очерк [6, 1—75].

3. «Диван»ын елми-тәнгиди мәтниин тәртиб принципләри вә истифадә едилмиш әлјазма нүсхәләринин тәсвири [6, 76—88].

4. Истифадә едилмиш әлјазма нүсхәләриндән сәккизинин биринчи сәнифәләринин факсимилеләри [6, 89—96].

5. Истифадә едилмиш мәнбә вә мә'хәзләрин индекси [5, 97—98]. «Диван»да дәрч олуимуш ше'рләrin индекси вә онларын бәһрләринин схемләри (тәф'илләр) [6, 100—146].

Китабын икinci һиссәси Мүчирәддин Бејләгани «Диван»ынын елми-тәнгиди мәтниндән [6, 1—415], шәрhlәr, изаһлар, лүгәт вә мүфәссәл индексдән («Диван»да олан ајәләр, һәдисләр, әрәб дилиндә олан бејтләr, зәрби-мәсәлләr, аталар сөзләri, шәхs вә чөграфи адлар вә с.) [6, 617—671] ибарәтди.

Мәһәммәд-Абадинин тәртиб етдији «Диван»да Мүчирәддин Бејләганинин гәсидаләри (3059 бејт), гәзәлләri (504 бејт), шикајәтнамәләри (448 бејт), гитәләри (620 бејт), мүәммалары (255 бејт), тәркибәндләri (295 бејт) вә рубайләri (298 бејт) дәрч едилмишидир.

Алимин истифадә етдији әлјазмалarda тәсадүф олунан бүтүн нүсхә фәргләri һәр сәнифәнин сонунда әсас мәтидән сонра кедир.

Мә'lумдур ки, дил, үслуб хүсусијјәтләri, ше'рдә ишләнән елми, дини терминаләr, һәddinidәn артыг мүрәккәб образлар системи, әрәб әлифбасынын хүсусијјәтләri вә иәһајәт, дилин сәккiz јүз ил әрзиндә хејли дәјишиш лүгәт тәркиби XII әср фарсиллли поэзијасыны аилама-ғы, дујмағы вә мәнимсәмәји мүасир охучулар үчүн чәтиләшдирир. Бу чәтилилкләri арадан галдырымг үчүн Мәһәммәд-Абади бир чох қласик вә мүасир лүгәтләрдән, һәмчинин елми әдәбијатдан истифадә едәрәк Мүчирәддин Бејләгани «Диван»ынын чәтии баша дүшүлән, дүјүнлү бејт вә ифадәләринә әтрафлы шәрhlәr, изаһlар вермиш вә беләликләдә, мүасир охучулар тәрәфиндән шаирин әсәрләринин дүзкүн дәрки вә тәдгиги үчүн кениш имканлар јаратышды.

Гејд етмәк лазымдыр ки, Мәһәммәд-Абадинин кәркин әмәк вә бөյүк зәһимәт иәтичәсindә һазырладығы елми-тәнгиди нәшри Мүчирәддин Бејләгани әдәби ирсинин бәрпасы мәсәләсini һеч дә сонадәк һәлл едә билмәшишdir. Бу исә тәбии һалдыр. Мүчирәддин Бејләгани әсәрләринин автографы вә шаирин өз дөврүндә јајылмыш камил вә мә'тәбәр әлјазма нүсхәләри елм аләминә мә'lум олмајынча, шубhәсiz, мәтишү-наслыг елми һәмmin мәсәләнин һәллиндә ләнкijәчәкdiр.

Мәһәммәд-Абадинин истифадә етдији әлјазмаларынын ән гәдими вә камили XVII әсрии орталарында јазылмыш вә һазырда Истамбулда Лала Исмаилин китабханасында сахланылан чүникдүр. Он ики шаирин сечилмиш әсәрләрини әнатә едәn һәmin чүнкә Мүчирәддин Бејләганинин 4800 бејti салынышды. Тәртибчи истифадә етдији галан он бир мә'хәздәn исә чәми 660 бејt топлајараг шаирин 5460 бејtдәn ибарәт сечилмиш әсәрләринин елми-тәнгиди мәтниин һазырламаға мүвәффәг олмуш-дур.

Мүчирәддин Бејләгани чох сәмәрәли ишләjәn, элли илдәn артыг јазыб-јарадан Азәрбајҹан сәнәткарларында. Шаирин мүасирләrinidәn Хагани Ширвани вә Низами Кәнчәвииин бизә кәлиб чатмыш әсәрләrinin һәчми отуз мин бејt, Эсирәддин Эхсикәттинин—ијирми мин бејt олдуғunu вә бу иисби мүгајисәни һәзәрә алараг, чүр'әтлә демәк оларки, Мүчирәддин Бејләгани «Диван»ынын һәчми дә ијирми миндәn артыг олмуш-дур. Лакин онун әсәрләrinin эксөријјәти Хаганинин бир чох гәсида вә гәзелләri, Низаминин ијирми мин бејtlik лирик диваны кими ja 800 иллик мүхтәлиф һәјат кәшмәкәшләrinin гурбаны олараг кәлиб-бизә чатмамыш, ja да каталоглары һазырланмамыш дүнија китабханаларынын һансындаса там шәкилдә сахланылыр.

Мүчирэддин Бејләгани «Диван»ының һағында даңышдығымыз Тәбриз чапында башга бөйүк бир нагислик дә вардыр. Бу нагислик шуб-һәсиз, тәртибинин истифадә етдиши әлжазмаларының өзүндән ирәли кәлмишdir.

Мә'лумдур ки, классик Шәрг әдәбијаты, о чүмләдән Азәрбајҹан әдәбијаты мәтиләринин эксеријәти әсрләр боју мұхтәлиф чешидли тәһриф вә дәјишилмәләрә, һәмчинин артырма вә эскилтмәләрә мә'ruz галмыш, өз тохунулмазлығыны горујуб сахлаја билмәмишdir. Катибләрин мұхтәлиф сәбәбләрә көрә јол вердиши тәһриф вә дәјишилмәләриндән Низами, Фұзули кими даңи шаирләр һәлә сағылыштарында шикајэтләниш, онларын қојә учалтдыглары ше'р вә нәзм гәсрләринин бүнөврәснин өз күлүнкәбәнзәр гәләмләри илә учуран кәмсавад катиб вә миңәләрә лә'нәт охумушлар. Мүчирэддин Бејләганинин әсәрләри дә, јәгин ки, һәлә өз дөврүндә һәмин кәмсавад миңәләр тәрәфнидән тәһриф едилмәјә башламыш вә сопракы јүзилликләрдә даңа бөйүк бөһрана уғрамышдыр.

Мәһәммәд-Абадинин истифадә етдиши нұсхәләrin ән гәдими вә камили, јухарыда гејд едилди кими, XVII әсра аид олдуғундан, тәбиидир ки, мәтнә беш јүз иләрәнде құлли мигдарда тәһриф вә јанлышлыглар сирајет етмишdir. Элбәттә, нашир онлары тәкбашына мәтидән көнар едә билмәзди. Лакин бунуила җанаши мәтидә бә'зән слә тәһриф вә јанлышлыглар тәсадүф олуңур ки, онлары јалныз тәртибинин дигәтсизлигинә аид етмәк олар. Мәсәлән, Мүчирэддин Бејләгани:

Һәр шаб ке сәр бечибе-тәһијор фору бәрәм
Сетре-фәләк бедәрромо әз Седре бекәрәм

— бејтилә башланан автопортрет мәзмунлу қөзәл фәлсафи гәсидәсіндә [6,139] биографик характер дашијан бир бејт вардыр. Һәмин бејт көстәрилән иәшрәдә һеч бир гејд верилмәдән ашағыдақы шәкилдә кетмишdir:

Тефлане-тәб'е мән бесефәт торкчеңреонд
Вин торфетәр ке әрмәни буд мадәрәм
Мәним тәб'имин ушаглары сифәтчә түркүзлүдүрләр
Вә бу сох ғәрибәдир, чүнки мәним анат бир ермәни иди.

Бу бејтә диггәтлә иәзәр салынарса, онда истәр грамматик, истәрсә дә бәдилилк бахымдан иккі бөйүк сәһвә ѡол верилдиини тә'јин етмәк олар. Җүмләнин гурулушуна көрә бејти иккинчи мисрасында «әрмәни» шәклини алмыш-«әрмәни» исми мәтидә «и» (яје-вәһдәт) тәләб етмир. Чүнки контекстә «мәним анат бир ермәни иди» дејил, «мәним анат ермәни иди» ујғун кәлир.

Бејтиң һәм мә'на, һәм дә бәдилилк бахымдан позулмасы исә даңа чох бағышлаңылмаз һалдыр. Мә'лумдур ки, классик Шәрг әдәбијатында «турк» мәғнүму өз етник анлајышы вә бир чох башга мә'налары илә җанаши «ағлыг», «көзәллик», «парлаглыг» символу кими дә ишләнмишdir. Буна Хагани, Низами вә б. шаирләрин әсәрләриндән истәнилән гәдәр мисал кәтирмәк олар. Мүчирэддинин өзү дә «турк» кәлмәснин «ағлыг», «көзәллик», «парлаглыг» рәмзи кими ишләтмишdir.

«әрмәни» мәғнүму исә классик әдәбијатда һеч бир вахт «гаралыг», «чиркинилик» символуна чеврилмәмиш вә «турк» сөзү илә бирликдә постик тәзад јаратмамышдыр. «Гүрк» сөзүнүн тәзады классик ше'рдә «һәбәш» олмушdur. Чүнки Хаганинин, Низаминин, Мүчирэддинин жаһадыры дөврдә һәбәшистандан кәтирилмеш гара гул вә кәниизләр Џахын вә Орта Шәргдә кениш жајымышды. «һәбәшли», «һәбәшистан» кәлмәләри классик ше'рдә «ағлыг», «көзәллик», «парлаглыг», «кунеш»,

«кундуз» вә с. мәғнүмларын синоними олар «турк» сөзүнүн мүгабилиндо «чиркинилик», «гаралыг», «гаралыг», «кечә» мәғнүмларының синоними олмушdur. Бурада Низаминин «Jeddi көзәл» поемасындакы бир бејти жада салмаг јеринә дүшәр:

Торкијәмра дәр ии һәбәш иәхәрәнд
Лачәрәм дүгбаје-хөш иәхорәнд [7,46]

Мүчирэддин Бејләганинде кәтиридијимиз бејтдә шаир белә бир фикри ифадә едир: Мәним тәб'имин ушаглары, јөни мәним тәб'имин јаратдығы ше'рләр түрк (азәрбајҹанлы) атам кими көзәл, ағузлудүрләр, бахмајараг ки, анат һәбәшли гара кәнииз олмушdur.

Мәшһүр Иран алимләриндән Бәдниүззаман Форузанфәрин «Сүхән вә сүхәнвәран» [4,721] вә Зәбиүллаһ Сәфанин «Тарихе-әдәбијат дәр Иран» әсәриндә [5,579] һәмин гәсидәнин көстәрилән бејти дөгру олараг ашағыдақы вариантда кетмишdir:

Тефлане-тәб'е мән бесефәт торкчеңреонд
Вин торфетәр ке әз һәбәши буд мадәрәм
Мәним тәб'имин ушаглары сифәтчә түркүзлүдүрләр
Вә бу сох ғәрибәдир, чүнки мәним анат һәбәшли иди.

Мәһәммәд-Абади Б. Форузанфәрин вә З. Сәфанин әсәрләриндә бејти һәр чәһәтдән дүзкүн олар варианты илә таңыш олмасына бахмајараг, иәдәнсә ону мәтиә дахил етмәмиш вә һәтта нұсхә фәрги кими белә вермәмишdir. Алым бејтиң јанлыш вариантына әсасланараг шаирин анасынын ермәни олдуғуну гејд етмишdir [6,3].

Көстәрилән иәгсанларла җанаши, етираф етмәк лазымдыр ки, Мүчирэддин Бејләгани «Диван»ынын Тәбриз чапы шаирин һәјаты, әдәби вә ичтимаи фәалијәтини дәриндән өјәнәмәк, марксизм-ленинизм методологияси әсасында тәдгиг етмәк үчүн олдугча гијмәтли вә санбаллы мә'хәздир. «Диван»ын һәмин елми-тәнгиди иәшри әсасында шаирин әсәрләринин Азәрбајҹан вә рус дилләrinә тәрчүмәси мәсәләси әдәбијат-шүнаслығымыз гарышында дуран вәзиғеләрдән биридир.

Әдәбијат

1. «Азәрбајҹан әдәбијаты тарихи», үч чилдә, I чилд, Азәрб. ССР ЕА Нәшријаты, Бакы, 1960. 2. Элијев Рустэм. Низаминин өз халгына мәнәбәти. — «Әдәбијат вә инчесәншәт» гәз., 29 мај 1981, № 22. 3. Бертельс Е. Э. Избранные труды. Низами и Фұзули. — М., Изд. вост. лит.-ры, 1962. 4. Б. Форузанфәр. Сохән вә сохәнвәран. Тегран, 1339. 5. З. Сәфа. Тарихе-әдәбијат дәр Иран. Челде-довом, чапе-севом, Тегран, 1339. 6. М. Бејләгани. Диван. Тәбриз, 1358. 7. Н. Кәнчәви. һәфт пејкор. Тегран, чапе-Вәһнide Дәсткәрди.

Низами адына Халглар Достлугу орденли
Әдәбијат Институту

Алынмышдыр
11.10.82

Ругия Ганбар кызы

О НАУЧНО-КРИТИЧЕСКОМ ИЗДАНИИ ДИВАНА МУДЖИРЕДДИНА БЕЙЛАКАНИ

Мүчирэддин Вейлакани — один из видных представителей классической азербайджанской литературы. Несмотря на то, что жизнь и творчество поэта, жившего и творившего в XII столетии являлись объектом изучения азербайджанских, русских, европейских литературоведов и востоковедов, до последнего времени голое собрание его сочинений издано не было.

Мухаммед Абади — ученый из Южного Азербайджана в 1978 г. подготовил и издал в Тебризе научно-критический текст Дивана Муджирреддина Бейлакани. Предметом настоящей статьи является исследование принципов составления этого издания. Автор высказывает критическое отношение по поводу некоторых положений, выдвинутых составителем.

Ruguya Ganbar kuyz

ABOUT THE SCIENTIFIC-CRITICAL EDITION OF THE DIVAN OF MUDJIRADDIN BEILAGANI

Mudjiraddin Bellagani is one of the prominent representatives of the Azerbaijan literature. Inspite of the fact, that the life and creation of the poet, who lived and worked in the XIIth century, the renaissance period of our culture, have always been the subject of the study of Azerbaijan, Russian and European orientalists, his complete works have not been edited until recently. The scientist from the South Azerbaijan Muhammad Abadi edited the scientific-critical text of the divan of Bellagani in 1978 in Tabriz. The principles of the compiling of this edition are the subject of this article. The author expresses some critical attitude concerning certain aspects of the compiling of the text.

АЗЭРБАЙЧАН ССР ЕЛМЛЭР АКАДЕМИЯСЫНЫН МЭРҮЗЭЛЭРИ

ДОКЛАДЫ АКАДЕМИИ НАУК АЗЕРБАЙДЖАНСКОЙ ССР

ТОМ XL ЧИЛД

№ 7

1984

УДК 07.00.06.

Б. И. ИБРАГИМОВ

АРХЕОЛОГИЯ

НОВОВЫЯВЛЕННЫЙ МАВЗОЛЕЙ XII в. В ХАРАБА-ГИЛАНЕ

(Представлено академиком АН Азербайджанской ССР З. М. Буниятовым)

Шемаха, Барда, Гянджа, Тебриз и Нахичевань — столицы самостоятельных феодальных государств, возникших на территории Азербайджана, были центрами, где зодчество достигло высокого уровня. Уже в X—XII вв. в этих центрах началось формирование самостоятельных архитектурных школ, со своими характерными чертами и специфическими особенностями. Одним из таких центров был город Нахичевань, ставший в XII в. столицей государства Азербайджанских Атабеков. Основоположником нахичеванской архитектурной школы был Аджами ибн Абу Бакр ан-Нахичевани ([2], с. 193—194), которого можно считать не только основоположником этой школы, но и зодчим, определившим пути развития архитектуры башенных мавзолеев Азербайджана.

Зодчие нахичеванской архитектурной школы были известны своими сооружениями далеко за пределами родного города. Примерами могут служить возведенные ими мавзолеи в Барде и минарет в сел. Нижняя Аза ([1], с. 288), позже разрушенный, а также сооружения Мараги ([1] с. 34).

Вершиной достижения этой школы являются мавзолей Юсуфа ибн Кусайра (13. IX—II. X 1162), мавзолей Мумины-Хатун (24. III—22. IV. 1186 г.) и комплекс культурных сооружений в Нахичевани (XII в.), разрушенный в середине XIX в. ([4], с. 35).

Нахичеванская школа славилась кирпичными сооружениями. В строительстве использовался кирпич из местной глины, принимавшей при обжиге различные оттенки (желтый, красноватый, розовый, зеленоватый). Он был квадратным, стандартных размеров — с небольшими отклонениями — 20x20x5 см.

При возведении сводов употреблялся тот же кирпич. Для отделки граней здания использовались известковые блоки, украшавшиеся замечательным геометрическим орнаментом, для этого употребляли мелкие декоративные кирпичики разных форм и размеров, поливные плитки, помещавшиеся в центре композиций.

Одним из высших творений нахичеванской архитектурной школы можно считать восьмигранный мавзолей в Хараба-Гилане (близ г. Ордубада), раскопки которого ведутся с 1980 г. Развалины его были описаны С. В. Тер-Аветисяном ([6] с. 173) и В. М. Сысоевым ([5] с. 207).

Мавзолей находится на южном пологом склоне холма, на котором располагался один из кварталов средневекового города. Раскопки показали, что он относится к центрально-купольным сооружениям башенного типа и состоит из двух частей: верхняя часть мавзолея восьмигранная и сложена из квадратных обожженных кирпичей, а нижняя склеп мавзолея, спаружки квадратная, внутри — восьмигранная в пла-

ие. Верхняя часть сохранилась только на одном участке юго-западной стены, вместе с облицовкой на высоте 0,8 м. Толщина стены — 1,5 м. плюс 0,12 м облицовки, т. е. 1,62 м. Длина граней восьмиугольника — 4,72—4,78 м. Расстояние между противоположными углами внутри 9 м.

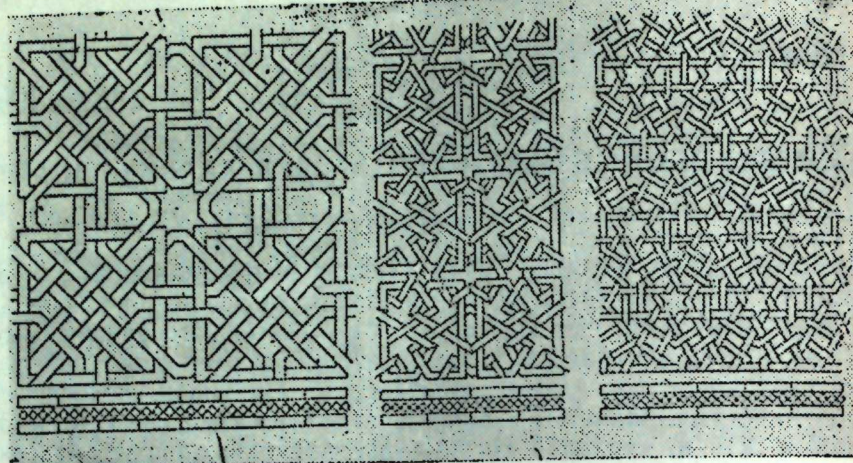


Рис. 1. Хараба-Гилан. Геометрические орнаменты мавзолея № 1. (IV квартал)

Судя по сохранившейся части облицовки и найденным вокруг блокам можно сказать, что грани мавзолея были покрыты сплошным ковром геометрических орнаментов, составленным из обожженных кирпичиков (рис. 1). Каждая грань мавзолея облицована блоками с различным орнаментом. В центре орнаментов расположены восьми-шести-четырехугольники и т. п. Можно выделить два типа композиций. В первой узоры каждого блока точно повторяются, во второй — четыре блока расположены симметрично и эти блоки дают полный рисунок лишь при рассмотрении их в совокупности. Точно также составлены орнаменты граней мавзолея Юсуфа иби Кусайра ([1], с. 232).

В результате переплетения основных фигур получается множество второстепенных как, например, звезды, ромбы, пятиугольники, трапеции и т. п. Шестнугольный орнамент мавзолеев Юсуфа иби Кусайра и Хараба-Гилана встречается также в архитектурных сооружениях Средней Азии (рис. 2), однако нахичеванские зодчие изготавливали этот орнамент в виде блоков, в то время как среднеазиатские отливались из глины или вырезались из неё.

Орнаменты сохранившейся облицовки грани мавзолея в Хараба-Гилане точно повторяют орнаменты северной грани мавзолея Юсуфа иби Кусайра ([3], с. 80), различаясь лишь по величине блоков. Блоки мавзолея в Хараба-Гилане в три раза меньше, снизу окаймлены двумя параллельными поясами кирпичей и пространство между поясами заполнено поставленными на угол мелкими квадратными кирпичиками (4, 6x4, 6x11,5 см). Переход от плоской грани к углу оформлен таким же образом, как в мавзолее Мумини-Хатун, но дополнен еще изящными полукруглыми колоннами (рис. 3). Можно предположить, что грани мавзолея завершались декорированными сталактитами-арками, аналогичными аркам Мумини-Хатун.

Входной проем мавзолея в Хараба-Гилане ориентирован на юг. По обеим сторонам входного проема находятся полукруглые колонны подобные таким же в углах граней мавзолея. По своему плану и оформле-

нию судя по сохранившейся части он аналогичен входным проемам упомянутых мавзолеев в Нахичевани (рис. 3).

Таким образом, мавзолей, открытый в Хараба-Гилане, обнаруживает

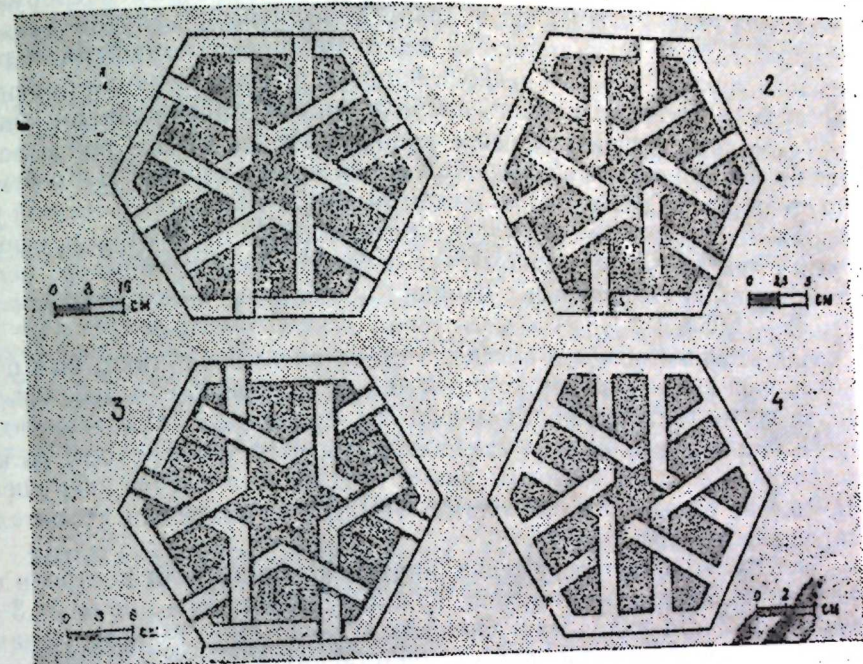


Рис. 2. 1—Нахичевань (мавзолей Юсуфа иби Кусайра, 1162); 2—Афрасиаб (шатер) 3—Хараба-Гилан (мавзолей XII в.); 4—Киргизия

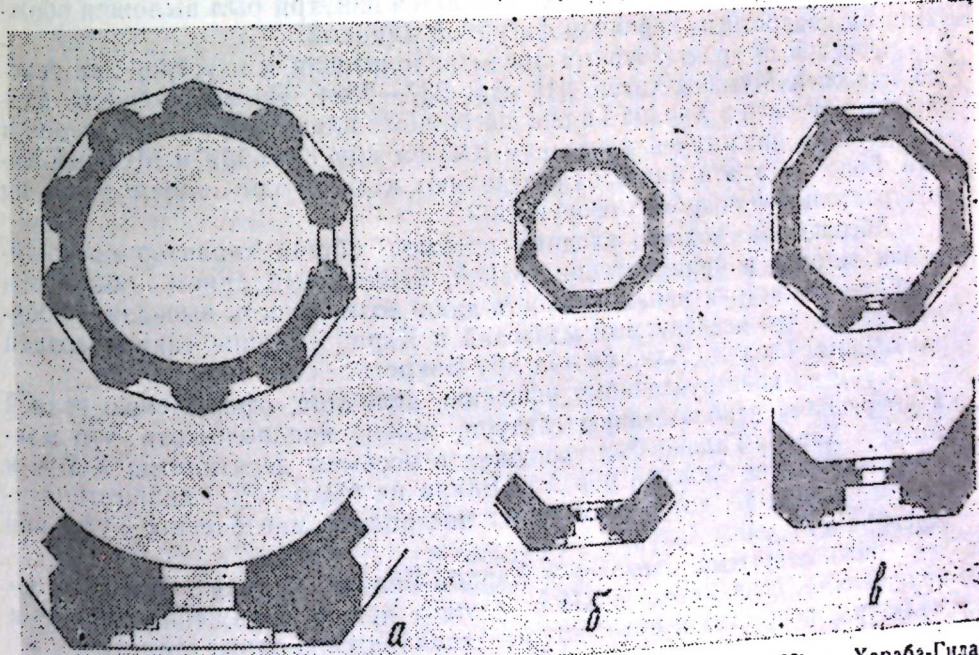


Рис. 3. а—Мумини-Хатун (1186 г.); б—Юсуф иби Кусайра (1162); в—Хараба-Гилан. (Мавзолей №1.)

черты удивительного сходства с мавзолеями Юсуфа ибн Кусайра и Мумини-Хатун. Небольшие отличия не меняют этого впечатления.

Сходство мавзолеев наблюдается и в устройстве склепов. Как отмечалось, склеп мавзолея в Хараба-Гилане надземный и сооружен из местного камня, снаружи он в плане квадратный, изнутри — восьмиугольный. Внутри восьмигранника было выстроено помещение из обожженного кирпича в форме равностороннего креста, имеющего сводчатые перекрытия, которые смыкались аркой в центре, образовывали купол.

Такое архитектурное решение использовалось также при строительстве башен юго-восточной оборонительной стены города. Надо отметить, что стены склепа возведены на скале, толщина которых с высотой уменьшается. Входной проем в склепе ориентирован на восток и оформлен стрельчатой аркой. К входному ведет узкий проход-коридор, перекрытие которого не сохранилось. Ширина прохода — 1,4 м, длина — 3 м., а высота — 1,05 м.

Над входным проемом склепа, в стене восьмигранника, был обнаружен второй входной проем, который вел во второй ярус мавзолея. Вероятно, во время реставрации, примерно в I половине XIII в. этот входной проем был заложен. Можно предположить, что реставраторы по каким-то причинам не стали возводить новый свод склепа вместо разрушенного. Помещение склепа было заполнено землей и остатками строительного материала до уровня свода.

Четырехугольное сооружение, внутри которого был построен склеп, несомненно, играло роль цоколя. Южная сторона его равна 18,3 м, северная — 17,3 м, а восточная и западная — по 17,55 м. Между стенами цоколя и склепа обнаружен ряд мусульманских погребений, не имевших никаких наземных признаков. Перед южным входным проемом мавзолея обнаружено погребение, имеющее ступенчатую надземную часть с геометрическим орнаментом и фрагментами арабских надписей.

Раскопки показали, что склеп мавзолея изнутри был выложен обожженным квадратным кирпичом фигуранной кладкой.

Описанный архитектурный прием использован и в устройстве склепа мавзолея Мумини-Хатун ([1], стр. 237—238). Из изложенного видно, что мавзолей в Хараба-Гилане по общему плану, характеру декора и его деталям аналогичен мавзолеям Юсуфа ибн Кусайра и Мумини-Хатун. Более того, эти мавзолеи составляют как бы одну линию развития в строительстве подобных сооружений.

Абсолютное сходство входных проемов, общий характер профилировки деталей и орнаментации граней, одинаковый прием облицовки блоками и конструктивная общность дают возможность высказать предположение, что исследуемый мавзолей в Хараба-Гилане также создан выдающимся зодчим Аджами ибн Абу Бакром.

Судя по конструктивному решению, величине, оформлению граней и умеренному использованию глазури, можно предположить, что мавзолей в Хараба-Гилане был сооружен в восьмом десятилетии XII в. и что в творчестве Аджами ибн Абу Бакра не было того двадцатипятилетнего перерыва, который отделяет построение мавзолеев Юсуфа ибн Кусайра и Мумини-Хатун.

Вновь открытый мавзолей в Хараба-Гилане, наряду с другими сооружениями, созданными в XII в., служит ярким выражением подъема культуры, искусства и архитектуры Азербайджана этого столетия.

1. Архитектура Азербайджана эпохи Низами. М.—Баку. «Гос. архитектизд.», 1947; 2. Буниятов З. М. Государство Атабеков Азербайджана (1136—1225). Баку Элм, 1978. 3. Мамедзаде К. И. Строительное искусство Азербайджана. Баку: Элм, 1978. 4. Саламзаде А. В., Мамедзаде К. И. Памятники на Араксе и древности Нахичеванской АССР. Баку: Элм, 1979. 5. Сысоев В. М. Нахичевань на Араксе и древности Нахичеванской АССР. Изв. Азкомстариса, 1929, вып. 4, тетр. 2. 6. Тер-Аветисян С. В. К археологическому обследованию Хараба-Гилана. Изв. КИАИ, т. VI, 1927.

Сектор археологии и этнографии
АН Азерб. ССР

Поступило 12. IV 1982

Б. И. Ибраһимов

ХАРАБА-КИЛАНДА ЈЕНИ АШКАР ЕДИЛМИШ XII ЭСР ТУРБЭСИ

Мэгальдэ орта эсрлэр шéхéри Хараба-Киланды газынты заманы ашкар едилмиш турбэиниң ојранилмэсндиң бéїс олуунур. Ашкар едилмиш турбэ көркемли мé'мар Эчэми ибн Эбубэкр тәрафиндән тикилмиш мэшнүр Мé'мүнэ хатун вә Юсиф ибн Күсейр түрбэләри илэ мугајисэ едиллir.

Мэ'лум олмушдур ки, Хараба-Киландакы турбэ XII эсрин 80-чи илләрindә тикилмишдир. Бунуна да бу турбэ илэ Юсиф ибн Күсейр вә Мé'мүнэ хатун түрбәләринин тикилмэсн арасында 25 иллик фасиләнин олмадығы сүбүт едилмишdir.

B. I. Ibragimov

THE MAUSOLEUM DATING FROM THE 12 CENTURY FOUND IN KHARABA-GILAN

By the excavations in the medieval town of Kharaba-Ollan the mausoleum dating from the 12 century, which was probably built by the famous architect Adjami ibn Abu Bakr an-Nakhichevani, was found.

Узви кимја

МУНДЭРИЧАТ	
Ријазијјат	
J. Э. Элијев, И. Ф. Элијев. Нејтрал тип гејри-хәтти диференцијал тэнниклэр үчүн сәрбәд мәсәләләринин тәгриби һәмниң һаггында	3
B. Н. Филипов. Йоломорф функцијалар фәзасында бирчиисли олмајан бурумә тэнникләри системи һаггында	8
I. Р. Садыгов. Дәшишән галынылыгы гејри-хәтти еластик материалдан назырламыш чөвик жатыг таваиларын контурунун гејри-хәтти деформасијасының иәзәрә алмагла ЕИМ-да һесаблама үсүлү һаггында	12
Механика	
M. X. Илjasов, T. A. Нәсибов, B. Р. Нуриев. Маје илә долдурулмуш гејри-хәтти еластик ортуқда үзүнүнү далгаларын յајылмасы	17
Жарымкечиричиләр физикасы	
R. Э. Элијев, И. Д. Һүсејнов, Р. М. Сәрдарлы. $TlCa_{x_1-x}InSe_2$ бәрк мәһлүллар системинде структур фаза кечиди	23
E. J. Салајев, B. K. Мәммәдов, X. D. Чәлиловә, E. I. Гурбапова, Э. Ш. Абдинов. $p = pb_{0.82}Sn_{0.18}Te$ Епитаксијал монокристаллик тәбәгәлорнидәкү үйкәшүйчиләрләр ИИТ күчлү электрик саһәсинин тә'сирин илә гыздырылмасы	28
E. K. Һүсејнов, F. Н. Газијев, A. K. Мәммәдов, E. J. Салајев, H. С. Сејидли. $C_{1-x}Hg_{1-x}$ монокристалларынын фотокечиричилүү үзүнүна магнит саһәсинин тә'сирин	32
M. J. Бәкиров, Н. А. Үхин, Э. Г. Эбијев, Ш. М. Аббасов, Г. М. Гасымов. Керманиумла силициумуң бәрк мәһлүлларынын электрофизики хассәләрине электрон шулалаймасынын тә'сирин	35
B. И. Иванов-Омски, Р. Б. Рустемов, В. А. Смирнов, Ш. У. Жулдашов. Элагәли экспониларынын истифадә өдилмәсилә $C_{3-x}Hg_{1-x}Te$ -дә фотолүминесценцијанын тәдгиги	39
Бәрк чисимин физикасы	
Ә. М. Элијев, А. П. Жернов, И. М. Пашаев. Магнезиумун микроконтакт функцијаларынын һесабламасы	42
Магнит һадисәләрі физикасы	
J. M. Сејидов, M. B. Һүсејнов, И. Г. Һүсејнов. Атом һалларынын мультиплетлијиниң иәзәрә алмагла биквадрат мубадиләли анизотроп ферромагнитин спектри	45
Астрофизика	
3. Ф. Сејидов. Фридман канинатында сәрбәст һиссәчијин һәрәкәти	51
Кристаллар кимјасы	
I. З. Эмәнов, Д. А. Иашвили, А. Н. Шиулии, Н. И. Гусева, А. А. Ахундова, М. А. Пораж-Кошиц. Ди-јод-бис-(2-аминоциридин)-синкристаллар кристаллик вә молекулјар гурулушу һаггында	55

A. A. Дашибәмирова, F. M. Мәммәдов, X. I. Садыгова, Ш. Н. Гасымов, Т. Н. Шантахински. Метилсиклохексен изомерләринин маје фазада һава оксикенинин иштиракы илә каталитик оксидләшдирилмәсі

B. С. Элијев, Э. Э. Ахундов, Р. Г. Ризаев, В. С. Начы-Гасымов, Р. М. Талышински, Н. Э. Бәширов. Изопентан-изоамилен гарышының оксидлешмә илә һидрокенсизләшдирилмәсі процесси үчүн чохмәрәләли аднабатик реакторун оптималлаштырылмасы

58

61

Јүксәк молекулјар бирләшмәләрин кимјасы

B. Э. Мәммәдов, Э. В. Рәһимов, С. А. Һүсейнов, Б. И. Лиогонки. Олигоидрохинонун гәләви мүһитдә оксидлешмәсі заманы баш берән радикал процесслор

65

Ситокенетика

F. Г. Мәчиунов, M. И. Мәммәдов. Бүгда-човдар һибриidlәринин ситокенетик тәдгиги

Паразитология

G. T. Фәрғадов. Нахчыван МССР-да илбизләр вә онларын протостропгидозуның յајылмасында ролу

74

Торпагларын мелиорасијасы

N. Р. Сүлејманов. Ағыр килли шоранларын су-физики хассәләринин җашылыштырылмаг мәгсәдилә верилән полимерин мигдарының тә'јинолуима методы һаггында

78

Мәтишүаслыг

Rugiјә Гәибәр гызы. Мүчирәддин Бејләгани «Диван»ынын елми-тәнгиди нәшри һаггында

82

Археологија

B. И. Ибраһимов. Хараба-Киланда јени ашкар өдилмиш XII әср түрбәси

87

Органическая химия

- А. А. Дашдамирова, Ф. М. Мамедов, Х. И. Садыхова, Ш. Г. Ка-
сумов, Т. Н. Шахтахтинский. Каталитическое окисление в жидкой фазе
изомеров метилциклогексена кислородом воздуха 58
- В. С. Алиев, А. А. Ахундов, Р. Г. Ризаев, В. С. Гаджи-Касумов,
М. Р. Талышинский, Н. А. Баширов. Оптимизация аднабатического сек-
ционированного реактора в процессе окислительного дегидрирования изопентан-
изоамиленовых смесей 61

Химия высокомолекулярных соединений

- Б. А. Мамедов, А. В. Рагимов, С. А. Гусейнов, Б. И. Лиогонь-
кий. Радикальные процессы, протекающие при окислении олигогидрохинона
в щелочной среде 65

- Ф. К. Межлумов, М. И. Мамедов. Цитогенетическое исследование пше-
нично-ржаных гибридов 70

Паразитология

- К. Т. Фархадов. Моллюски и их роль в распространении протостронги-
лидозов в Нахичеванской АССР 74

Мелиорация почв

- Н. Р. Сулейманов. О методе определения дозы внесения полимеров в
целях улучшения водно-физических свойств трудномелиорируемых глинистых
солончаков 78

Тектология

- Ругия Гайбар кызы. О научно-критическом издании дивана Муджи-
реддина Бейлакани 82

Археология

- Б. И. Ибрагимов. Нововыявленный мавзолей XII в. в Хараба-Гилане 87

СОДЕРЖАНИЕ

Математика

- Я. Э. Алиев, Г. Ф. Алиев. О приближенном решении краевых задач для
нелинейных дифференциальных уравнений нейтрального типа 3
- В. Н. Филиппов. О неоднородных системах уравнений свертки в прост-
ранстве голоморфных функций 8
- И. Р. Садыхов. Об одном методе расчета гибких пологих оболочек пере-
менной толщины из нелинейно-упругого материала на ЭВМ с учетом нелинейной
деформируемости контурных элементов 12

Механика

- М. Х. Ильясов, Т. А. Насибов, Б. Р. Нуриев. Распространение про-
дольных волн по нелинейно-упругой оболочке, заполненной жидкостью 17

Физика полупроводников

- Р. А. Алиев, Г. Д. Гусейнов, Р. М. Сардарлы. Структурный фазо-
вой переход в системе твердых растворов $TlCa_xIn_{(1-x)}Se_2$ 23
- Э. Ю. Салаев, В. К. Мамедов, Х. Д. Джалилова, Э. И. Курба-
нова, А. Ш. Абдинов. Разогрев носителей тока в эпитаксиальных пленках
 $Pb_{0,82}Sn_{0,18}Te$ сильным электрическим полем СВЧ 28
- Э. К. Гусейнов, Ф. Н. Казиев, А. К. Мамедов, Э. Ю. Салаев,
Г. С. Сейдли. Влияние магнитного поля на фотопроводимость монокристал-
лов $Cd_xHg_{1-x}Te$ 32

Физика полупроводников и диэлектриков

- М. Я. Бакиров, Н. А. Ухин, А. К. Абисев, Ш. М. Аббасов, Г. М. Га-
сумов. Действие электронного облучения на электрофизические свойства твер-
дых растворов германия с кремнием 35
- В. И. Иванов-Омский, Р. Б. Рустамов, В. А. Смирнов,
Ш. У. Юлдашев. Исследование фотолюминесценции в $Cd_xHg_{1-x}Te$ с
использованием связанных экзитонов 39

Физика твердого тела

- А. М. Алиев, А. П. Жернов, Х. М. Пашаев. Расчет микроконтактных
функций магния 42

Физика магнитных явлений

- Ю. М. Сейдов, М. Б. Гусейнов, Н. Г. Гусейнов. Энергетический
спектр анизотропного ферромагнетика с учетом мультиплетности атомных сос-
тояний 45

Астрофизика

- З. Ф. Сейдов. Движение свободной частицы во фридмановском мире 51

Кристаллография

- А. З. Аманов, Д. А. Иашвили, А. Н. Шнули, Н. И. Гусева,
А. А. Ахундова, М. А. Порай-Кошиц. О кристаллической и молекулярной
структуре ди-йода-бис-(2-аминопиридина)-цинка (II) 55

9. Текст статьи печатается на белой бумаге через два интервала на одной стороне листа стандартного размера, с полями с левой стороны (не более 28 строк на одной странице по 58—60 знаков в строке). В тексте нельзя делать рукописные вставки и вклейки.

Статьи, напечатанные на портативной машинке, не принимаются.

10. Текст статьи должен быть изложен кратко, тщательно отредактирован и подписан авторами в печать. В математических статьях желательно избегать доказательств теорем, лемм и т. п. При использовании в тексте сокращенных названий (кроме общепринятых) необходимо давать их расшифровку.

11. Математические и химические формулы и символы в тексте должны быть вписаны четко. Следует избегать громоздких обозначений, применяя, например, дробные показатели степени вместо радикалов, а также \exp . Записанные формулы обязательно выключаются в красную строку, номер формулы ставится у правого края страницы. Желательно нумеровать лишь те формулы, на которые имеются ссылки. Подстрочные и надстрочные индексы и степени следует отмечать карандашом, дугами сверху и снизу:

ϵ^n , r_n

Греческие буквы нужно обводить (в кружок) красным карандашом. Буквы готического шрифта и рукописные в рукоисиях не использовать, векторные величины — подчеркивать черным, буквы латинского рукописного шрифта следует отметить на полях (например, Н рукоп.).

Во избежание ошибок следует четко обозначать прописные (заглавные) и строчные буквы латинского алфавита, имеющие сходное начертание (Cc ; Kk ; Pp ; Oo ; Ss ; Uu ; Vv ; и т. д.), буквы $I(i)$ и $J(j)$ букву I и римскую единицу I , а также арабскую цифру I и римскую I' (вертикальная черта), I и штрих в индексах, I (латинское эль) и e . Прописные буквы подчеркивают карандашом двумя черточками снизу (C), а строчные — сверху (c).

Следует избегать знаков типа \sim (волна), Θ , \oplus , \otimes : \square , \exists , ϕ , \vee , \wedge

(крышки) над и под буквами, а также знаков:

\hbar , \times , \in , \int , \oint , β , ϵ

Латинские названия вписываются на машинке.

Слова «теорема», «лемма», «следствие», «определение», «замечание» и т. п. следует подчеркивать штриховой чертой, а текст утверждений типа теорем — волнистой чертой (исключая математические символы).

При выборе единиц измерения рекомендуется придерживаться международной системы единиц СИ.

12. При описании методики исследования следует ограничиваться оригинальной ее частью. При элементном анализе приводить только усредненные данные.

13. Необходимо тщательно проверить написание местных географических названий.

14. Цитированная литература проводится общим списком на отдельной странице: ссылки в тексте даются порядковым номером в круглых скобках над строкой (например, ¹). Список литературы оформляется следующим образом:

для книг: инициалы и фамилии авторов, полное название книги, место и год издания;

для журнальных статей: инициалы и фамилии авторов, название журнала, номер тома, номер выпуска, страница и год издания.

Ссылки на неопубликованные работы не допускаются.

15. Все статьи должны иметь резюме на английском языке, кроме того статьи написанные на русском и азербайджанском языках должны иметь резюме на азербайджанском и на русском соответственно.

Публикация статьи в «Докладах» не препятствует напечатанию расширенного ее варианта в другом периодическом издании.

Сдано в набор 05. 07. 84. Подписано к печати 17. 10. 84. ФГ 04787. Формат бумаги 70×100^{1/16}. Бумага типографская № 1. Гарнитура шрифта литературная. Печать высокая. Усл. печ. лист 7,8. Усл. кр.-отт. 7,8. Уч. изд. лист 6,50. Тираж 607. Заказ 1106. Цена 70 коп.

Издательство «Элм».

370143 Баку-143, проспект Нариманова, 31, Академгородок, Главное здание Типография «Красный Восток» Государственного комитета Азербайджанской ССР по делам издательств, полиграфии и книжной торговли. Баку, ул. Ази Асланова, 80.